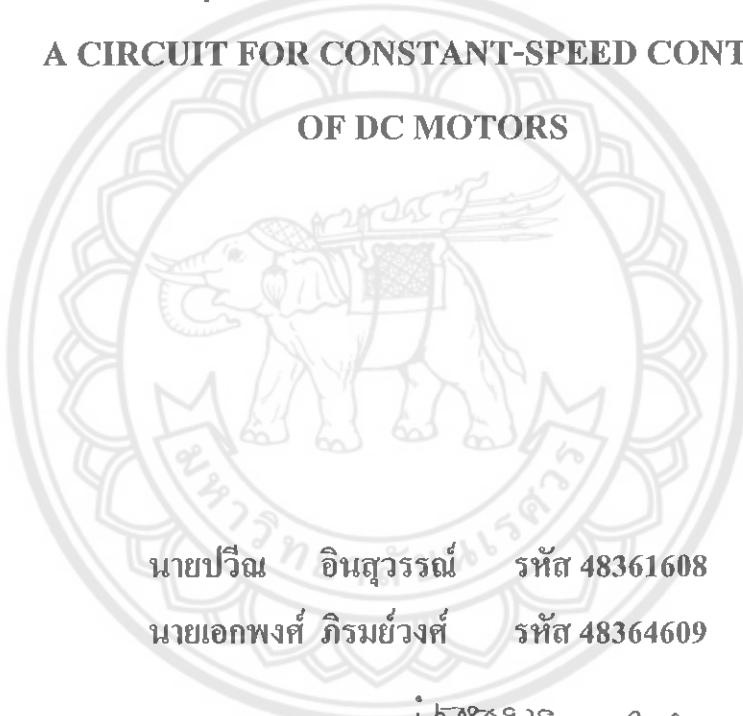


วงจรควบคุมความเร็วของมอเตอร์กระแสตรง

A CIRCUIT FOR CONSTANT-SPEED CONTROL

OF DC MOTORS



นายปีรุณ อินสุวรรณ รหัส 48361608

นายเอกพงษ์ ภิรมย์วงศ์ รหัส 48364609

๑๕๐๘๐๙๓๙ ๙.๒

ห้องสมุดคณะวิศวกรรมศาสตร์
วันที่รับ...../...../.....
เลขที่หนังสือ..... <b>05200053</b>
เลขเรียกหนังสือ.....
หน่วยงานที่ขึ้นทะเบียน

บ.ร.  
ม/4672.  
๒๖๗।

ปริญญาในพิธีนี้เป็นส่วนหนึ่งของการศึกษาหลักสูตรปริญญาวิศวกรรมศาสตรบัณฑิต

สาขาวิชาชีวกรรมไฟฟ้า ภาควิชาชีวกรรมไฟฟ้าและคอมพิวเตอร์

คณะวิศวกรรมศาสตร์ มหาวิทยาลัยแม่ฟ้า

ปีการศึกษา 2551



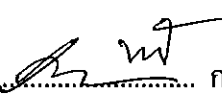
## ใบรับรองโครงการวิจัย

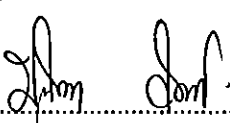
หัวข้อโครงการ วงจรควบคุมความเร็วรอบคงที่ของอัตโนมัติกระดับสูง  
ผู้เขียนโครงการ นายปีรุส อินสุวรรณ์ รหัส 48361608  
นายเอกพงศ์ ภิรมย์วงศ์ รหัส 48364609  
อาจารย์ที่ปรึกษา ดร. นิพัทธ์ จันทร์มนิธิ  
สาขาวิชา วิศวกรรมไฟฟ้า  
ภาควิชา วิศวกรรมไฟฟ้าและคอมพิวเตอร์  
ปีการศึกษา 2551

คณะวิศวกรรมศาสตร์ มหาวิทยาลัยเรศวร อนุมัติให้โครงการฉบับนี้เป็นส่วนหนึ่งของการศึกษาตามหลักสูตรวิศวกรรมศาสตรบัณฑิต สาขาวิชาวิศวกรรมไฟฟ้า

คณะกรรมการสอนโครงการวิจัย

 ประธานกรรมการ  
(ดร. นิพัทธ์ จันทร์มนิธิ)

 กรรมการ  
(ดร. สุกวรรณ พลพิทักษ์ย)

 กรรมการ  
(ดร. นุตตากา แสงเมืองเจันทร์)

หัวขอโครงงาน	วงจรความคุณความเร็วอบคงที่ของมอเตอร์กระแสตรง
ผู้เขียนโครงงาน	นายปีริล อินสุวรรณ รหัส 48361608
	นายเอกพงศ์ กิริมยวงศ์ รหัส 48364609
อาจารย์ที่ปรึกษา	ดร. นิพัทธ์ จันทร์นินทร์
สาขาวิชา	วิศวกรรมไฟฟ้า
ภาควิชา	วิศวกรรมไฟฟ้าและคอมพิวเตอร์
ปีการศึกษา	2551

---

### บทคัดย่อ

ในโรงงานอุตสาหกรรมในปัจจุบันยังมีการใช้มอเตอร์ไฟฟ้ากระแสตรงเพื่อขับการอยู่เป็นจำนวนมาก เพราะมอเตอร์กระแสตรงเป็นมอเตอร์ที่มีแรงบิดเริ่มหมุนสูงและยังสามารถปรับความเร็วรอบได้มากกว่ามอเตอร์ไฟฟ้ากระแสสลับ ในโรงงานอุตสาหกรรมอาจมีการใช้มอเตอร์กระแสตรงในการสร้างผลิตภัณฑ์ซึ่งอาจใช้ความเร็วรอบที่คงที่แต่ถ้าหากเกิดการลดลงของความเร็วรอบอาจทำให้เกิดความเสียหายแก่ผลิตภัณฑ์ได้ โครงการนี้จึงเลือกใช้ปัญญาที่เกิดขึ้นนี้ ได้ทำการสร้างวงจรเพื่อควบคุมความเร็วรอบให้คงที่ของมอเตอร์ไฟฟ้ากระแสตรง เพื่อที่จะลดปัญญาที่เกิดขึ้น โดยจำลองขนาดของมอเตอร์ให้มีขนาดเด็กเพื่อจ่ายต่อการควบคุมและใช้ความผิดของมอเตอร์ในการขับการ

<b>Project Title</b>	A Circuit for Constant-Speed Control of DC Motors	
<b>Name</b>	Mr. Phaween Insuwan	ID. 48361608
	Mr. Aekapong Phiromvong	ID. 48364609
<b>Project Advisor</b>	Mr. Niphat Jantharamin, Ph.D.	
<b>Major</b>	Electrical Engineering	
<b>Department</b>	Electrical and Computer Engineering	
<b>Academic Year</b>	2008	

---

## ABSTRACT

This thesis presents a control circuit for constant-speed drive of dc motors. Nowadays, electric DC motors are still widely used for driving loads in industries because they provide high starting torque and are more suitable for speed variation, compared with AC motors. In industries, DC motors are often required to run at constant rotational speed in manufacturing processes so that the products would not be damaged. This project is therefore aimed at developing a control circuit for constant-speed drive regarding load variations. Hereby, a small motor was chosen for testing in order to reduce the complexity of control circuitry.

## กิตติกรรมประกาศ

ผู้เขียนโครงการขอรับขอบพระคุณอาจารย์ ดร. นิพัทธ์ จันทร์มินทร์ ซึ่งเป็นอาจารย์ที่ปรึกษาโครงการ ที่ได้คอยชี้แนะแนวทางตลอดการทำโครงการ นอกเหนือไปข้อขอบคุณภาควิชา วิศวกรรมไฟฟ้าและคอมพิวเตอร์ที่ให้ความอนุเคราะห์ให้เขียนใช้อุปกรณ์และเครื่องมือวัสดุต่างๆอันประযุกษ์ต่อการดำเนินโครงการอย่างยิ่ง

นอกจากนี้คณาจารย์ทุกท่านที่ประสิทธิ์ประสาทวิชาความรู้ให้กับผู้เขียนโครงการ ทางผู้เขียนโครงการไกร่ขอขอบพระคุณมา ณ ที่นี้ด้วย

ขอขอบคุณคุณมนทนต์ พกเอน ที่ให้คำแนะนำในการทำโครงการช่วงแรก

ขอขอบคุณคุณลักษณะ ชุมวงศ์ ที่ให้คำแนะนำในการทำโครงการช่วงการออกแบบและให้แนวคิดในการออกแบบวงจร

ขอขอบคุณคุณตา ชุมวงศ์ ที่ให้คำแนะนำและให้อุปกรณ์ในการทำฐานและแท่นมอเตอร์

ขอขอบคุณอังกูร วนิชปราการ กิจ ที่ช่วยให้แนวคิด และคำปรึกษาในการออกแบบวงจรรวมทั้งคำแนะนำเกี่ยวกับวงจรที่ใช้ปฏิบัติงานจริง

สุดท้ายนี้ ขอรับขอบพระคุณบิดามารดาอย่างหาที่เปรียบไม่ได้ที่ให้ความรัก ความหวังดี กำลังใจ และคอบนับสนับสนุนในทุกๆ ด้านตลอดมา

นายปีรุณ อินสุวรรณ

นายเอกพงศ์ กิริมย์วงศ์

# สารบัญ

หน้า

บทคัดย่อภาษาไทย.....	ก
บทคัดย่อภาษาอังกฤษ.....	ข
กิตติกรรมประกาศ.....	ก
สารบัญ.....	ง
สารบัญรูป.....	น
บทที่ 1 บทนำ.....	1
1.1 ที่มาและความสำคัญของโครงการ.....	1
1.2 วัตถุประสงค์ของโครงการ.....	1
1.3 ขอบเขตของโครงการ.....	1
1.4 ขั้นตอนการดำเนินการ.....	2
1.5 ประโยชน์ที่คาดว่าจะได้รับจากโครงการ.....	2
1.6 งบประมาณ.....	2
บทที่ 2 ทฤษฎีความคุณความเร็วอบนอเตอร์ไฟฟ้ากระแสตรง.....	3
2.1 หลักการทำงานของเครื่องจักรกลไฟฟ้ากระแสตรง.....	3
2.1.1 การทำงานเป็นเครื่องกำเนิดไฟฟ้า.....	4
2.1.2 การทำงานเป็นมอเตอร์ไฟฟ้า.....	6
2.1.3 แรงบิด.....	10
2.2 สมการความเร็วอบนอเตอร์ไฟฟ้ากระแสตรง.....	11
2.3 คุณสมบัตินอเตอร์ไฟฟ้ากระแสตรง.....	12
2.3.1 คุณสมบัตินอเตอร์ไฟฟ้ากระแสตรงแบบบานาน.....	12
2.3.2 คุณสมบัตินอเตอร์ไฟฟ้ากระแสตรงแบบอนุกรม.....	15
2.3.3 คุณสมบัตินอเตอร์ไฟฟ้ากระแสตรงแบบผสม.....	17
2.3.4 การเปรียบเทียบ.n.o.t.e.r.r.h.i.c.t.a.g.....	18
2.3.5 ความสามารถในการเร่งและหน่วงความเร็วอบของ.n.o.t.e.r.r.h.i.c.t.a.g.....	19
2.4 การควบคุมความเร็วอบคงที่โดยไม่ขึ้นอยู่กับค่าโหลด.....	20

## สารบัญ (ต่อ)

หน้า

บทที่ 3 การสร้างวงจรการทำงาน.....	22
3.1 วงจรสร้างสัญญาณความคุณด้วยการน้อมดูเลตความกว้างพัลส์.....	22
3.1.1 ขั้นตอนการสร้างวงจรน้อมดูเลตความกว้างพัลส์.....	22
3.1.2 การเลือกใช้อุปกรณ์ของวงจรน้อมดูเลตความกว้างพัลส์.....	22
3.2 การสร้างวงจรป้อนกลับ.....	25
3.2.1 ขั้นตอนการสร้างวงจรวงจรป้อนกลับ.....	25
3.2.2 การเลือกใช้อุปกรณ์ของวงจรป้อนกลับ.....	25
บทที่ 4 ผลการทดลอง.....	30
4.1 ผลการทดลองการหาค่าคงที่ของมอเตอร์.....	30
4.2 ผลการทดลองของวงจรควบคุมมอเตอร์โดยไม่เข้าอยู่กับค่าโหลด.....	31
บทที่ 5 สรุปผลการทดลองและข้อเสนอแนะ.....	35
5.1 สรุปผลการทดลอง.....	35
5.2 ปัญหาและแนวทางแก้ไข.....	35
เอกสารอ้างอิง.....	37
ภาคผนวก ก รายละเอียดของไอซี TL494CN.....	38
ภาคผนวก ข รายละเอียดของมอสเฟต IRF 510N.....	44
ภาคผนวก ค รายละเอียด ไอซี LM324N.....	47
ภาคผนวก ง รายละเอียดของมอเตอร์.....	52
ภาคผนวก จ ข้อมูลจากการทดลองวัดค่าความเร็วอนเทียนกับแรงดันป้อนเข้าของมอเตอร์.....	58
ภาคผนวก ฉ ข้อมูลจากวัดค่าความเร็วอนในกราฟทดลองแบบต่างๆ.....	60
ประวัติผู้เขียนโครงการ.....	65

# สารบัญรูป

รูปที่	หน้า
2.1 ส่วนประกอบของเครื่องจักรกลไฟฟ้ากระแสตรง.....	3
2.2 การเกิดแรงดันไฟฟ้าเหนือขั้วนำ.....	4
2.3 ทิศการเคลื่อนที่ของตัวนำในสนามแม่เหล็กตามกฎมือขวา.....	6
2.4 การสร้างแรงบิดชนทำให้อาร์เมเจอร์หมุน.....	8
2.5 รูปวงจรความคุณภาพเร็วรอบของมอเตอร์กระแสตรง.....	21
3.1 รูปและขาต่างๆของ TL494CN.....	23
3.2 แผนภาพของวงจรภายใน TL494CN.....	23
3.3 แผนภาพของวงจรภายใน TL494CN.....	24
3.4 รูปและขาต่างๆของ LM324N.....	25
3.5 แผนภาพการเชื่อมต่ออุปกรณ์ในวงจรทั้งหมด.....	26
3.6 แผงวงจรค้านหน้าวงจร.....	27
3.7 แผงวงจรค้านหลังวงจร.....	28
3.8 วงจรที่ต่อกับมอเตอร์.....	28
3.9 มอเตอร์ต่อ กับ โอลด์.....	29
4.1 ค่าแรงดันเทียบกับความเร็วรอบของมอเตอร์แต่ละตัว.....	30
4.2 การเปลี่ยนแปลงความเร็วรอบของมอเตอร์ในกรณีที่ 1.....	32
4.3 การเปลี่ยนแปลงความเร็วรอบของมอเตอร์ในกรณีที่ 2.....	33
4.4 การเปลี่ยนแปลงความเร็วรอบของมอเตอร์ในกรณีที่ 3.....	33
4.5 การเปลี่ยนแปลงความเร็วรอบของมอเตอร์ในกรณีที่ 4.....	34

## บทที่ 1

### บทนำ

#### 1.1 ที่มาและความสำคัญของโครงการ

มอเตอร์นับเป็นอุปกรณ์ที่สำคัญสำหรับเครื่องจักรกลไฟฟ้าต่างๆ เนื่องจากการทำหน้าที่เป็นตัวต้านกำลัง โดยแบ่งพลังงานไฟให้เป็นพลังงานกล ซึ่งสามารถแบ่งเป็น 2 ชนิดใหญ่ ๆ คือมอเตอร์ไฟฟ้ากระแสตรงและมอเตอร์ไฟฟ้ากระแสสลับ โดยมีลักษณะการใช้งานที่ต่างกันในปัจจุบัน โรงงานอุตสาหกรรมนิยมใช้มอเตอร์กระแสสลับมากกว่าเนื่องจากมีโครงสร้างที่ไม่ซับซ้อนขนาดเล็กกว่า และต้องการการบำรุงรักษาออยกว่ามอเตอร์กระแสตรงที่พิกัดเท่ากัน

อย่างไรก็ตาม มอเตอร์กระแสตรงก็ยังมีใช้อยู่ในงานที่ต้องการแรงบิดเริ่มน้อยสูงและต้องการควบคุมความเร็วในช่วงต่างๆ เพราะว่าการควบคุมความเร็วของมอเตอร์กระแสตรงจะทำได้ยากกว่า และสามารถปรับความเร็วได้ในช่วงกว้างกว่าในกรณีของมอเตอร์กระแสสลับแต่ความเร็วของมอเตอร์จะเปลี่ยนแปลงตามค่าโหลดที่ต่ออยู่ดังนั้น โรงงานนี้จึงมุ่งเน้นการควบคุมความเร็วของมอเตอร์กระแสตรงให้มีค่าคงที่โดยไม่ขึ้นอยู่กับค่าของโหลด

#### 1.2 วัตถุประสงค์ของโครงการ

- 1) เพื่อศึกษาวิธีควบคุมความเร็วของมอเตอร์กระแสตรง
- 2) เพื่อออกแบบและสร้างวงจรควบคุมความเร็วของมอเตอร์กระแสตรง

#### 1.3 ขอบเขตของโครงการ

- 1) ศึกษาหลักการทำงานและวิธีการควบคุมความเร็วของมอเตอร์กระแสตรง
- 2) ออกแบบวงจรควบคุมความเร็วของมอเตอร์กระแสตรงโดยใช้การควบคุมแบบป้อนกลับ (Feedback control)
- 3) สร้างวงจรควบคุมความเร็วตามที่ออกแบบแล้วทำการทดสอบและสรุปผล

#### 1.4 ขั้นตอนการดำเนินงาน

รายละเอียด	ปี 2551							ปี 2552		
	ม.ย.	ก.ค.	ส.ค.	ก.ย.	ต.ค.	พ.ย.	ธ.ค.	ม.ค.	ก.พ.	มี.ค.
1. ศึกษาหลักการทำงานของนอเตอร์กระแสตรง										
2. ศึกษาวิธีการควบคุมความเร็วของนอเตอร์กระแสตรง										
3. ออกรูปแบบวงจรควบคุมความเร็วรอบ										
4. สร้างวงจรควบคุมฯ										
5. ทำการทดสอบและปรับปรุงวงจรควบคุมฯ										
6. วิเคราะห์และสรุปผลโครงการ										
7. สรุปผลการทำโครงการและจัดทำรายงาน										

#### 1.5 ประโยชน์ที่คาดว่าจะได้รับจากโครงการ

- 1) เข้าใจวิธีการควบคุมความเร็วของนอเตอร์กระแสตรงแบบต่างๆ
- 2) สามารถสร้างวงจรควบคุมความเร็วรอบคงที่ของนอเตอร์กระแสตรงได้

#### 1.6 งบประมาณ

1) ค่านอเตอร์กระแสตรง	800 บาท
2) ค่าวงจรควบคุมความเร็วของนอเตอร์	1,000 บาท
3) ค่าเอกสาร	1,500 บาท
รวมเป็นเงิน (สองพันบาทถ้วน)	<u>3,300 บาท</u>
หมายเหตุ: ถ้าแล่บุกรายการ	

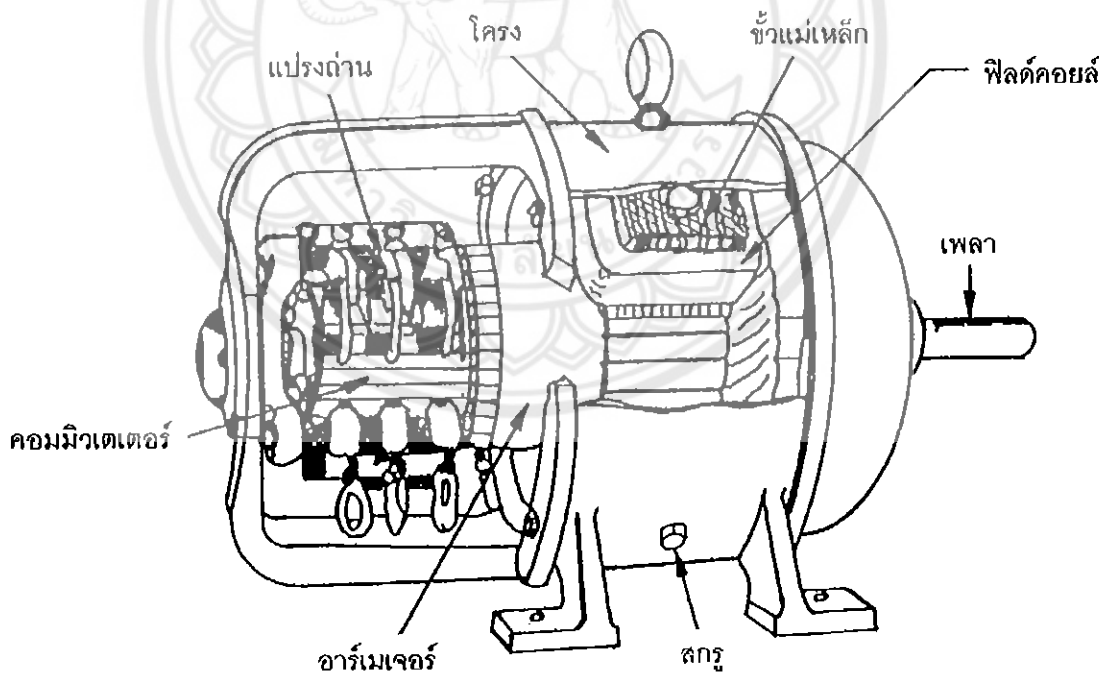
## บทที่ 2

### ทฤษฎีความคุณความเร็วของมอเตอร์กระแสตรง

ส่วนประกอบหลักของวงจรควบคุมความเร็วของมอเตอร์กระแสตรงที่ศึกษาในโครงการนี้คือเครื่องจักรกลไฟฟ้ากระแสตรง (DC machine) และวงจรควบคุมความเร็วของมอเตอร์ในบทนี้จึงได้อธิบายทฤษฎีและหลักการทำงานพื้นฐานของอุปกรณ์หลักดังกล่าว

#### 2.1 หลักการทำงานของเครื่องจักรกลไฟฟ้ากระแสตรง

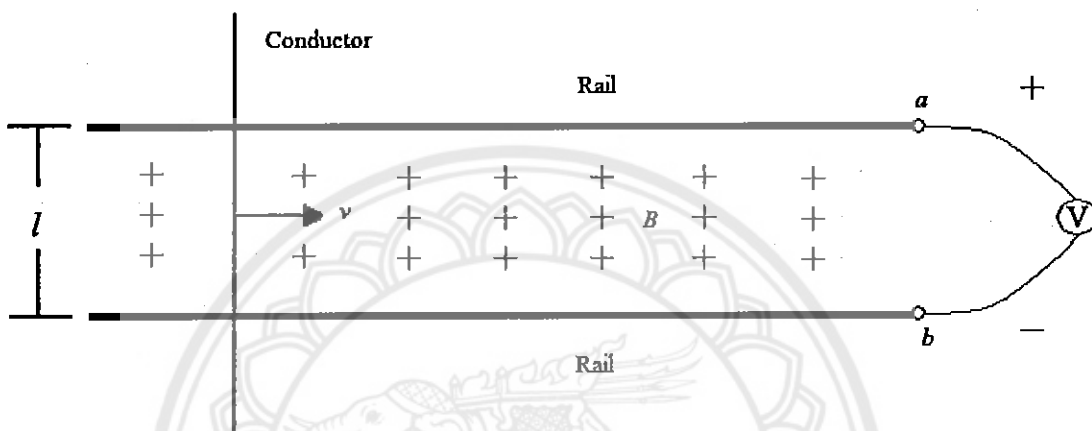
พลังงานสามารถเปลี่ยนจากรูปหนึ่งไปเป็นอีกรูปหนึ่งได้ ในเครื่องจักรกลไฟฟ้ากระแสตรง มีการแปลงรูประหว่างพลังงานไฟฟ้าและพลังงานกล โดยทั่วไปเครื่องจักรกลไฟฟ้ากระแสตรง สามารถทำงานเป็นได้ทั้งเครื่องกำเนิดไฟฟ้า (DC generator) และมอเตอร์ไฟฟ้า (DC motor) โดยที่ เครื่องกำเนิดไฟฟ้าเปลี่ยนพลังงานกลให้เป็นพลังงานไฟฟ้า และมอเตอร์ไฟฟ้าเปลี่ยนพลังงานไฟฟ้า เป็นพลังงานกล โครงสร้างของเครื่องจักรกลไฟฟ้ากระแสตรงสามารถแสดงได้ดังรูปที่ 2.1



รูปที่ 2.1 ส่วนประกอบของเครื่องจักรกลไฟฟ้ากระแสตรง [2]

### 2.1.1 การทำงานเป็นเครื่องกำเนิดไฟฟ้า (Generator action)

ขณะที่เครื่องจักรกลไฟฟ้าทำหน้าที่เป็นเครื่องกำเนิดไฟฟ้า จะสร้างแรงดันไฟฟ้าที่ด้านออก (Output) ของเครื่องขึ้น หลักการพื้นฐานในการแปลงพลังงานกลเป็นพลังงานไฟฟ้าของเครื่องกำเนิดไฟฟ้าสามารถอธิบายได้โดยพิจารณารูปที่ 2.2 ด้านของแท่งตัวนำอันหนึ่งมีความยาว  $l$  วางอยู่ในสนามแม่เหล็กที่มีความหนาแน่นสนามแม่เหล็กสม่ำเสมอ  $B$  แท่งตัวนำสามารถเคลื่อนที่และสัมผัสกับรางคู่หนานซึ่งเชื่อมต่อ กับ โวลต์มิเตอร์ เพื่อวัดแรงดันที่เกิดขึ้นระหว่างจุด  $a$  และจุด  $b$



รูปที่ 2.2 การเกิดแรงดันไฟฟ้าเหนี่ยวนำ [3]

ถ้าแท่งตัวนำเคลื่อนที่ไปทางขวาตามรูปที่ 2.2 เส้นแรงแม่เหล็กที่เกี่ยวกล้องวงจรจะมีค่าเปลี่ยนแปลง ทำให้เกิดการเหนี่ยวนำแรงดันไฟฟ้าขึ้นตามกฎของฟาราเดย์ (Faraday's law) ซึ่งจะมีให้ความว่า “แรงขับเคลื่อนทางไฟฟ้า (Electromotive force, EMF) จะถูกเหนี่ยวนำให้เกิดขึ้นในวงจรที่วางอยู่ในสนามแม่เหล็ก ถ้า (1) เส้นแรงแม่เหล็กที่เกี่ยวกล้องวงจนมีค่าเปลี่ยนแปลง หรือ (2) มีการเคลื่อนที่สัมพัทธ์ระหว่างแท่งตัวนำตัดกับเส้นแรงแม่เหล็ก” โดยการเหนี่ยวนำแรงดันไฟฟ้าตามรูปที่ 2.3 จะสอดคล้องกับกรณีที่สอง

เมื่อแท่งตัวนำเคลื่อนที่ด้วยความเร็ว  $v$  ภายใต้สนามแม่เหล็ก แรงเคลื่อนไฟฟ้าที่เกิดขึ้นในวงจรสามารถวัดได้ด้วยเครื่องวัดแรงดันไฟฟ้า (Voltmeter) และคำนวณได้จาก

$$\bar{e} = I\bar{v} \times \bar{B} \quad (2.1)$$

โดยที่

$\bar{e}$  คือเวกเตอร์ของแรงเคลื่อนไฟฟ้า มีหน่วยเป็นโวลต์ (V)

$I$  คือความขาวของแท่งตัวนำในสนามแม่เหล็ก มีหน่วยเป็นแอมป์ (A)

$\bar{v}$  คือเวกเตอร์ของความเร็วในการเคลื่อนที่ของตัวนำ มีหน่วยเป็นเมตรต่อวินาที (m/s)

$\bar{B}$  คือเวกเตอร์ความหนาแน่นของเส้นแรงแม่เหล็ก มีหน่วยเป็นเทสลา (T)

ทิศทางของแรงเคลื่อนไฟฟ้าที่ถูกเหนี่ยวนำขึ้นจะเป็นไปตามกฎมือขวา ถ้าสนามแม่เหล็กหรือการเคลื่อนที่ของแท่งนำมีการกลับทิศ จะทำให้แรงเคลื่อนไฟฟ้าย้อนกลับขึ้ว แต่หากทิศสนามแม่เหล็กและการเคลื่อนที่ของแท่งตัวนำกลับทิศ ข้อของแรงเคลื่อนไฟฟ้าจะคงเดิม

ขนาดของแรงเคลื่อนไฟฟ้าคำนวณได้จาก

$$e = I v B \sin \theta \quad (2.2)$$

โดยที่  $\theta$  คือมุมระหว่าง  $v$  และ  $B$

เราจะพบว่าขนาดของแรงเคลื่อนไฟฟ้ามีค่าสูงสุดเมื่อ  $\theta = 90^\circ$  นั่นคือทิศการเคลื่อนที่ของแท่งตัวนำตั้งฉากกับทิศของสนามแม่เหล็ก เราสามารถเขียนได้ว่า

$$e = I v B \quad (2.3)$$

จริงๆ แล้วแรงเคลื่อนไฟฟ้าที่สร้างขึ้นในเครื่องกำเนิดไฟฟ้าทุกชนิดจะเป็นไฟกระแสสลับในกรณีของเครื่องกำเนิดไฟฟ้ากระแสตรง แรงเคลื่อนไฟฟ้าดังกล่าวจะถูกแปลงเป็นไฟกระแสตรงโดยคอมมิวเตอร์ (Commutator) ซึ่งนอกจากจะทำหน้าที่เป็นสะพานไฟเชื่อมต่อระหว่างแท่งตัวนำของอาร์เมเจอร์ (Armature) กับแปรงถ่าน (Brush) ออกสู่วงจรภายในตัวเรียงกระแส (Rectifier) เพื่อแปลงแรงดันไฟกระแสสลับที่ถูกสร้างขึ้นภายในเครื่องจักรให้กลายเป็นแรงดันไฟกระแสตรงที่ขึ้นต้นของเครื่องจักร

ขนาดของแรงเคลื่อนไฟฟ้าที่สร้างขึ้นขึ้นอยู่กับจำนวนแท่งตัวนำบนอาร์เมเจอร์ จำนวนขึ้นแม่เหล็ก และลักษณะการเชื่อมต่อของแท่งตัวนำบนอาร์เมเจอร์ นั่นคือ

$$E_a = \frac{ZP}{60a} \phi n = k_g \phi n \quad (2.4)$$

$$\text{หรือ} \quad E_a = \frac{ZP}{2\pi a} \phi \omega = k_m \phi \omega \quad (2.5)$$

โดยที่  $E_a$  คือแรงเคลื่อนไฟฟ้า มีหน่วยเป็นโวลต์ (V)

$Z$  คือจำนวนแท่งตัวนำบนอาร์เมเจอร์

$P$  คือจำนวนขึ้นแม่เหล็ก

$a$  คือจำนวนเส้นทางบนบนอาร์เมเจอร์

$\phi$  คือปริมาณเส้นแรงแม่เหล็ก มีหน่วยเป็นเวย์มาสเต็ก (Wb)

$n$  คือความเร็วรอบของโรเตอร์ มีหน่วยเป็นรอบต่อนาที (rpm)

$\omega$  คือความเร็วรอบของโรเตอร์ มีหน่วยเป็นเรเดียนต่อวินาที (rad/s)

$k_g$  คือค่าคงที่ของเครื่องจักร ( $k_g = ZP / 60a$ )

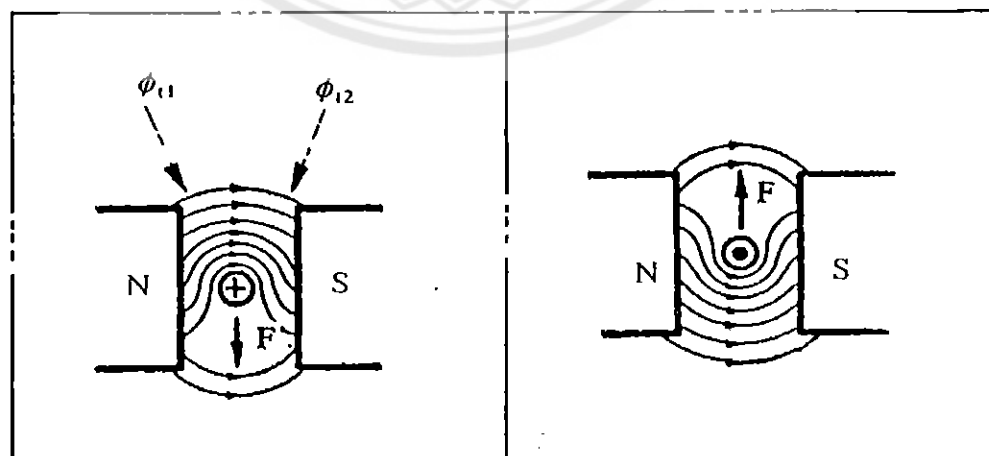
$k_m$  คือค่าคงที่ของเครื่องจักร ( $k_m = ZP / 2\pi a$ )

จะเห็นว่าเราสามารถปรับค่าแรงดันไฟฟ้าที่เครื่องกำเนิดไฟฟ้าสร้างขึ้นได้โดยควบคุมความเร็วของเครื่องต้นกำลัง (Prime mover) หรือควบคุมกระแสกระแสตู้นเพื่อเปลี่ยนค่าปริมาณแส้นแรงแม่เหล็ก

### 2.1.2 การทำงานเป็นมอเตอร์ไฟฟ้า (Motor action)

หน้าที่ของมอเตอร์ไฟฟ้าคือการสร้างแรงบิด (Torque) ซึ่งจะทำให้โรเตอร์หมุน ในการนี้ มอเตอร์จำเป็นจะต้องสร้างแรง (Force) เพื่อจะทำให้เกิดแรงบิด ซึ่งทำได้โดยวางแท่งตัวนำไว้ใน สนามแม่เหล็กแล้วปล่อยกระแสไฟให้流ผ่านแท่งตัวนำนั้น ในทางปฏิบัติจะมีแท่งตัวนำจำนวนมากอยู่ บนอาร์เมเจอร์ ดังนั้นในมอเตอร์กระแสตรง แหล่งกำเนิดไฟกระแสตรงจะจ่ายให้มอเตอร์ผ่านทาง แปรงถ่าน คอมมิวเตอร์จะเปลี่ยนทิศการไหลของกระแสในกลุ่มแท่งตัวนำที่อยู่ภายใต้ขั้วแม่เหล็ก นั้นคือกระแสในแท่งตัวนำแต่ละตัวจะไหลกลับทิศเมื่อแท่งตัวนำนั้นเคลื่อนที่ผ่านจากขั้วหนึ่งไปขั้ว อีกขั้วหนึ่ง (ขั้วที่ต่างกัน) ที่อยู่ติดกัน ผลที่เกิดขึ้นคือแท่งตัวนำทั้งหมดจะถูกแรงกระทำในทิศเดียวกัน จึงทำให้อาร์เมเจอร์หมุน

การเกิดแรงกระทำบนแท่งตัวนำที่วางอยู่ภายใต้สนามแม่เหล็กที่สม่ำเสมอสามารถอธิบาย ได้จากรูปที่ 2.3 สนามแม่เหล็กมีทิศพุ่งจากขั้วเหนือไปขั้วใต้ เมื่อมีกระแสไฟ流เข้าสู่แท่งตัวนำ (รูป ซ้าย) กระแสจะสร้างสนามแม่เหล็กรอบแท่งตัวนำโดยมีทิศตามเข็มนาฬิกา ซึ่งไปเสริมความเข้ม สนามแม่เหล็กที่อยู่เหนือแท่งตัวนำและหักล้างกับสนามแม่เหล็กที่อยู่ใต้ตัวนำ ทำให้สนามแม่เหล็กซึ่ง เดิมมีค่าสม่ำเสมอเกิดความผิดเพี้ยนไป นั่นคือความหนาแน่นของเส้นแรงแม่เหล็กด้านบนสูงกว่า ด้านล่าง ผลคือเส้นแรงแม่เหล็กด้านบนพยานบิดตัวให้กลับสู่สภาพเดิม จึงเกิดการดันแท่งตัวนำให้ เคลื่อนที่ลง เมื่อกระแสไฟ流ผ่านแท่งตัวนำในทิศพุ่งออก (รูปขวา) จะเกิดผลกระทบกับขั้วนกันที่อธิบาย



รูปที่ 2.3 ทิศการเคลื่อนที่ของตัวนำในสนามแม่เหล็กตามกฎมือขวา [2]

มาข้างต้น นั่นคือกระแสจะสร้างสนามแม่เหล็กรอบแท่งตัวนำในทิศทางเข็มนาฬิกา ซึ่งไปเสริมความเข้มสนามแม่เหล็กที่อยู่ได้แท่งตัวนำและหักล้างกับสนามแม่เหล็กที่อยู่เหนือนอกตัวนำ ทำให้ความหนาแน่นของเส้นแรงแม่เหล็กด้านล่างสูงกว่าด้านบน จึงเกิดการดันแท่งตัวนำให้เคลื่อนที่ขึ้น

แรงผลักตัวนำให้เคลื่อนที่ในสนามแม่เหล็กตามรูปที่ 2.3 จะมากหรือน้อยเพียงใดนั้นขึ้นอยู่กับความสัมพันธ์ระหว่างกระแสไฟฟ้าที่ไหลในแท่งตัวนำและความหนาแน่นของเส้นแรงแม่เหล็กในช่องว่างอากาศระหว่างข้าวเหนือกับข้าวใต้ดังนี้

$$\vec{F} = I\vec{H} \times \vec{B} \quad (2.6)$$

โดยที่

$\vec{F}$  คือเวกเตอร์ของแรงผลักแท่งตัวนำ มีหน่วยเป็นนิวตัน (N)

$I$  คือความยาวของตัวนำในสนามแม่เหล็ก มีหน่วยเป็นเมตร (m)

$\vec{I}$  คือเวกเตอร์ของกระแสไฟฟ้าในแท่งตัวนำ มีหน่วยเป็นแอมป์เร (A)

$\vec{B}$  คือเวกเตอร์ความหนาแน่นของเส้นแรงแม่เหล็ก มีหน่วยเป็นเทสลา (T)

ทิศของแรงที่กระทำบนแท่งตัวนำจะเป็นไปตามกฎมือขวา ถ้าทิศการไหลของกระแสหรือทิศของสนามแม่เหล็กมีการกลับทิศ จะทำให้แรงที่กระทำบนแท่งตัวนำมีการกลับทิศ แต่หากทิศกระแสและสนามแม่เหล็กกลับทิศ แรงที่กระทำบนแท่งตัวนำจะมีทิศคงเดิม

ขนาดของแรงจะคำนวณได้จาก

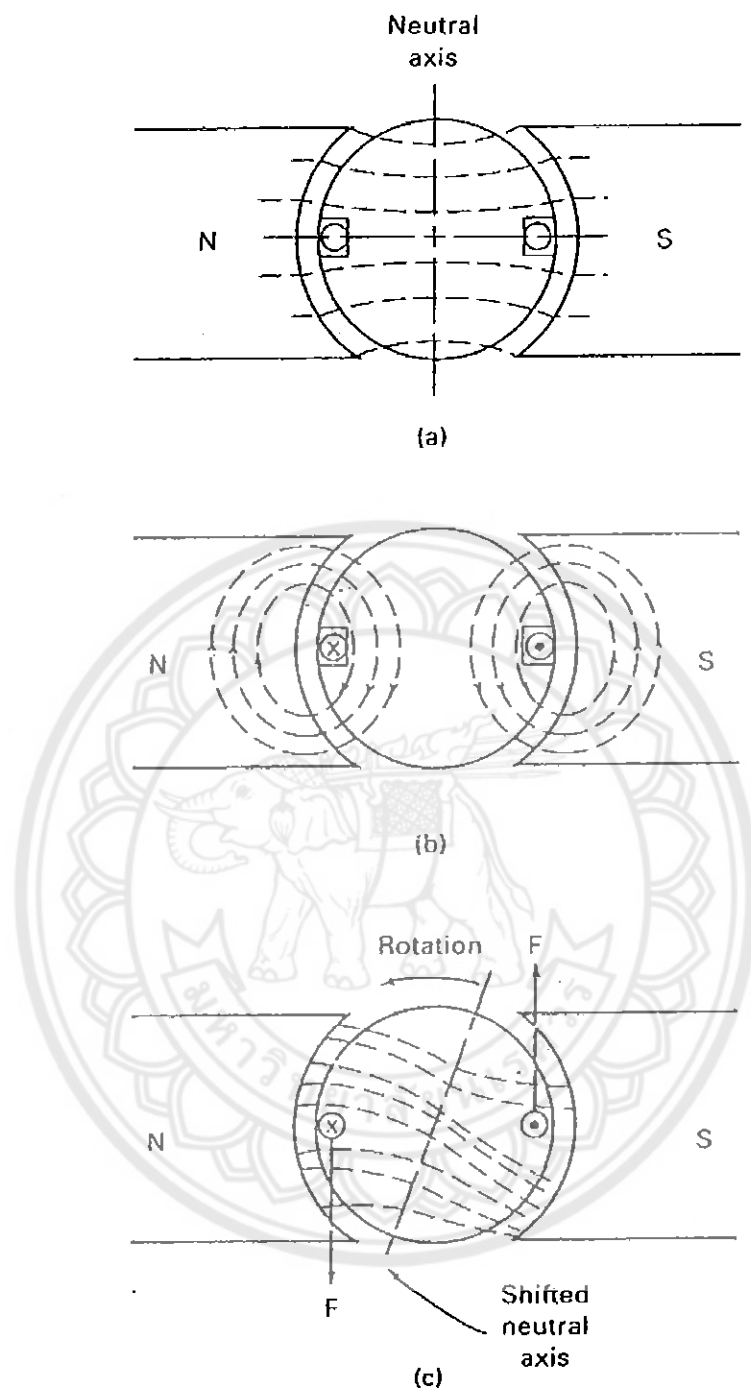
$$F = IB \sin \theta \quad (2.7)$$

โดยที่  $\theta$  คือมุมระหว่าง  $\vec{I}$  และ  $\vec{B}$

เราจะพบว่าขนาดของแรงจะมีค่าสูงสุดเมื่อ  $\theta = 90^\circ$  นั่นคือทิศการไหลของกระแสในแท่งตัวนำตั้งฉากกับทิศของสนามแม่เหล็ก เราสามารถเขียนได้ว่า

$$F = IIB \quad (2.8)$$

รูปที่ 2.4 แสดงให้เห็นถึงการสร้างแรงเพื่อทำให้เกิดการหมุนของอาร์เมเจอร์ในมอเตอร์กระแสตรง เมื่อแท่งตัวนำที่วางอยู่ภายในสนามแม่เหล็ก (รูป a) มีกระแสไฟ流ผ่าน กระแสจะสร้างสนามแม่เหล็กรอบแท่งตัวนำ (รูป b) ทำให้สนามแม่เหล็กหักล้างของมอเตอร์ผิดเพี้ยนไป (รูป c) จึงเกิดแรงกระทำบนแท่งตัวนำที่ทำให้เคลื่อนที่จากบริเวณที่เส้นแรงแม่เหล็กมีความหนาแน่นสูงไปข้างบริเวณที่มีความหนาแน่นต่ำกว่า ในที่นี่ความหนาแน่นสูงสุดเกิดขึ้นในบริเวณด้านบนของขดลวดด้านซ้าย (ที่อยู่ภายใต้ข้าวเหนือ) และด้านล่างของขดลวดด้านขวา (ที่อยู่ภายใต้ข้าวใต้) จึงเกิดแรงกระทำบนอาร์เมเจอร์ทำให้หมุนในทิศทางเข็มนาฬิกา



รูปที่ 2.4 การสร้างแรงบิดจนทำให้อาร์เมเจอร์หมุน [3]

- (a) แท่งตัวนำบนอาร์เมเจอร์ว่างอยู่ในสนามแม่เหล็กหลัก
- (b) สนามแม่เหล็กที่สร้างจากกระแสในขดลวดอาร์เมเจอร์
- (c) การเกิดแรงกระทำต่อแท่งตัวนำบนอาร์เมเจอร์

จากหลักการทำงานของมอเตอร์ แรงที่กระทำบนแท่งตัวนำบนอาร์เมเจอร์ทำให้อาร์เมเจอร์หมุน ส่งผลให้เกิดการเปลี่ยนแปลงของเส้นแรงแม่เหล็กที่เกี่ยวกับล้องแท่งตัวนำดังกล่าว เนื่องจากแท่งตัวนำเหล่านี้มีกระแสไฟ流ผ่าน จึงทำให้เกิดแรงเคลื่อนไฟฟ้าขึ้นในแท่งตัวนำ ดังนั้นจะมีแรงที่มอเตอร์

กำลังหมุนจะเกิดการทำงานเป็นเครื่องกำเนิดไฟฟ้าด้วย แต่การทำงานเป็นมอเตอร์จะมีผลมากกว่าการทำงานเป็นเครื่องกำเนิดไฟฟ้า เพราะทิศการไหลของกระแสในขดลวดอาร์เมเจอร์ถูกกำหนดโดยแหล่งกำเนิดซึ่งคงที่ แรงเคลื่อนไฟฟ้าที่เกิดขึ้นนี้จะมีทิศตรงกันข้ามกับแรงดันไฟฟ้าของแหล่งกำเนิดเพื่อจำกัดค่ากระแสอาร์เมเจอร์ให้อยู่ในระดับที่เพียงพอจะขับโลหต เนื่องจากแรงเคลื่อนไฟฟ้านี้ด้านแรงดันแหล่งกำเนิดโดยตรง ตามกฎของเลนส์ (Lenz's law) จึงเรียกว่า “แรงเคลื่อนไฟฟ้าข้อนกลับ” (Counter EMF หรือ Back EMF)

ขณะที่อาร์เมเจอร์หมุน แรงเคลื่อนไฟฟ้าข้อนกลับจะถูกสร้างขึ้นในแท่งตัวนำเดียวกันนั้น เพราะแท่งตัวนำเคลื่อนที่ตัดกับสนามแม่เหล็กในขณะที่เครื่องจักรกลทำหน้าที่เป็นมอเตอร์ ซึ่งทิศของแรงเคลื่อนไฟฟ้านี้ถูกกำหนดโดยกฎมือขวา

จากกฎของโอลิม เรากสามารถคำนวณหากระแสอาร์เมเจอร์ได้จาก

$$I_a = \frac{V_t - E_a}{R_a} \quad (2.9)$$

โดยที่

$I_a$  คือกระแสอาร์เมเจอร์ มีหน่วยเป็นแอมป์เร (A)

$V_t$  คือแรงดันไฟฟ้าที่ข้ามของเครื่องจักร มีหน่วยเป็นโวลต์ (V)

$E_a$  คือแรงเคลื่อนไฟฟ้าข้อนกลับ มีหน่วยเป็นโวลต์ (V)

$R_a$  คือค่าความต้านทานของอาร์เมเจอร์ มีหน่วยเป็นโอห์ม ( $\Omega$ )

ในมอเตอร์กระแสตรง แรงเคลื่อนไฟฟ้าข้อนกลับจำกัดกระแสอาร์เมเจอร์ให้อยู่ในระดับที่โลหตต้องการ ดังนั้นจะต้องมีค่าต่ำกว่าแรงดันของแหล่งกำเนิด ( $= V_t$ ) โดยทั่วไป แรงเคลื่อนไฟฟ้าข้อนกลับจะมีค่าอยู่ในช่วง 80% ถึง 95% ของแรงดันไฟฟ้าที่ข้าม

จากสมการ (2.9) จะพบว่าผลต่างระหว่างแรงดันที่ป้อนให้มอเตอร์กับแรงเคลื่อนไฟฟ้าข้อนกลับจะบ่งบอกถึงค่ากำลังสูญเสียในอาร์เมเจอร์ (Armature copper loss) เพราะว่า

$$V_t - E_a = I_a R_a$$

คูณทั้งสองข้างของสมการด้วย  $I_a$

$$V_t I_a - E_a I_a = I_a^2 R_a$$

$$\text{จักรูป จะได้} \quad V_a I_a - I_a^2 R_a = E_a I_a \quad (2.10)$$

จากสมการ (2.10) ผลคูณระหว่างแรงකลีอันไฟฟ้าข้อนกลับและกระแสอาร์เมจเจอร์กือกำลังไฟฟ้าที่สร้างขึ้น (Developed power,  $P_d$ ) นั้นคือ

$$P_d = E_a I_a \quad (2.11)$$

กำลังไฟฟ้าที่สร้างขึ้นนี้สามารถคำนวณจากผลต่างระหว่างกำลังไฟฟ้าที่จ่ายให้อาร์เมจเจอร์  $V_a I_a$  และกำลังสูญเสียในอาร์เมจเจอร์  $I_a^2 R_a$  ดังนั้นจึงสรุปได้ว่ามอเตอร์ที่มีแรงเคลื่อนไฟฟ้าข้อนกลับสูงเมื่อเทียบกับแรงดันไฟฟ้าที่จ่ายให้ทำงานมีประสิทธิภาพสูงกว่ามอเตอร์ที่มีแรงเคลื่อนไฟฟ้าข้อนกลับต่ำ ในทางปฏิบัติหลักการนี้นำไปสู่การออกแบบให้ความต้านทานของอาร์เมจเจอร์มีค่าต่ำเพื่อให้กำลังสูญเสียในอาร์เมจเจอร์น้อยที่สุด

### 2.1.3 แรงบิด

กำลังไฟฟ้าที่สร้างขึ้นจะต้องมีค่าเพียงพอในการขับโหนดทางกลที่เพลาของมอเตอร์นอกเหนือไปจากการอาจزنค่าความสูญเสียทางกลของตัวมอเตอร์เองซึ่งประกอบด้วย กำลังสูญเสียในแกนเหล็ก (Core losses) แรงด้านของอากาศ (Windage) ซึ่งเกิดขึ้นขณะที่มอเตอร์หมุน และแรงเสียดทาน (Friction losses) ที่เกิดขึ้นในเบริง (Bearing) ที่รองรับอาร์เมจเจอร์

จากการศึกษาถอดศาสตร์ เรายังรู้ว่าแรงบิดค่านวนได้จากผลคูณระหว่างแรงและแขนของแรง (Arm) ในกรณีของเครื่องจักรกลไฟฟ้า แขนของแรงคือความยาวของรัศมีของอาร์เมจเจอร์ (Arm) ในกรณีของเครื่องจักรกลไฟฟ้า แขนของแรงคือความยาวของรัศมีของอาร์เมจเจอร์ (Arm)

$$T = F \cdot r = l B \cdot r \quad (2.12)$$

จากสมการ (2.3) และ (2.12) เราสามารถหาความสัมพันธ์ระหว่างแรงบิดกับแรงเคลื่อนไฟฟ้าข้อนกลับได้ดังนี้

$$E_a I_a = T \omega \quad (2.13)$$

สมการ (2.13) บ่งบอกว่ากำลังไฟฟ้าที่สร้างขึ้นมีค่าเท่ากับกำลังทางกลที่เกิดขึ้น ความสัมพันธ์นี้ใช้ได้กับทั้งการทำงานเป็นเครื่องกำเนิดไฟฟ้าและการทำงานเป็นมอเตอร์ นอกจากนี้สมการนี้ยังบ่งชี้ว่าแรงคลักการแปลงพลังงานระหว่างพลังงานไฟฟ้าและพลังงานกลในเครื่องจักรกลไฟฟ้าซึ่งได้กล่าวไปแล้วในตอนต้น

จากสมการ (2.5) และ (2.13)

$$T = \frac{E_a I_a}{\omega} = \frac{ZP}{2\pi a} \phi I_a = k_m \phi I_a \quad (2.14)$$

## 2.2 สมการความเร็วของมอเตอร์กระแสตรง

จากสมการของแรงคดีอนไฟฟ้า  $E_a = (ZP / 60a)\phi n = k_g \phi n$  ในสมการที่ (2.4) และสมการ  $E_a = V - I_a R_a$  ในสมการที่ (2.9) ค่าความเร็วของ  $n$  จะหาได้จากการนำค่า  $E_a$  จากสมการที่ (2.9) นำไปในสมการที่ (2.4) จะได้ว่า  $V - I_a R_a = (ZP / 60a)\phi n$  เพราะฉะนั้นค่าความเร็วของมอเตอร์จะเท่ากับ  $n = (V - I_a R_a / \phi)(60a / ZP)V$  เมื่อกำหนดให้  $60a / ZP$  เป็นค่าคงที่ สมการความเร็วของมอเตอร์จึงเท่ากับ

$$n = K_a \frac{V_t - I_a R_a}{\phi} \quad (2.15)$$

โดยที่  $n$  คือ ความเร็วของมอเตอร์ มีหน่วยเป็นรอบต่อนาที (rpm)

$\phi$  คือ เส้นแรงแม่เหล็ก มีหน่วยเป็นเวย์มาสเตอร์ (Wb)

$K_a$  คือ ค่าคงที่ มีค่าเท่ากับ  $60a / ZP$

จากสมการข้างต้น ในการควบคุมความเร็วของมอเตอร์นั้นจะมีตัวแปรที่สามารถควบคุมความเร็วของมอเตอร์คือ

ก) การปรับความต้านทานอาร์เมจเจอร์ (Armature Resistance)

จาก

$$n = K_a \frac{V_t - I_a R_a}{\phi}$$

เมื่อกำหนดให้  $\phi$  มีค่าคงที่ การปรับค่าความต้านทานอาร์เมจเจอร์  $R_a$  จะส่งผลให้มีการเปลี่ยนแปลงของแรงดัน ซึ่งการเปลี่ยนแปลงของแรงดันจะส่งผลถึงความเร็วของมอเตอร์ กล่าวคือ เมื่อเพิ่มค่าความต้านทาน แรงดัน  $E_a$  จะมีค่าลดลง ส่งผลให้ความเร็วของมอเตอร์ลดลง

ข) การปรับกระแสสนาม (Field Current)

การปรับความเร็วของมอเตอร์โดยใช้โดยการปรับกระแสสนามหรือสนามแม่เหล็ก  $\phi$

จาก

$$n = K_a \frac{V_t - I_a R_a}{\phi}$$

ถ้าให้แรงดันไฟฟ้าที่ป้อนเข้ามอเตอร์คงที่จะเห็นว่า ความเร็วของมอเตอร์จะเปรียบผันกับเส้นแรงแม่เหล็ก ( $\phi$ ) นั่นคือ

$$n \propto \frac{1}{\phi}$$

เมื่อทำให้เส้นแรงแม่เหล็กลดลง ความเร็วของมอเตอร์จะเพิ่มขึ้น แต่ถ้าทำให้เส้นแรงแม่เหล็กเพิ่มขึ้น ความเร็วของมอเตอร์จะลดลง การปรับความเร็วของมอเตอร์ด้วยวิธีนี้เป็นวิธีที่ปรับความเร็วอย่างละเอียด สามารถปรับความเร็วได้หลากหลายด้าน ซึ่งพิกัดความเร็วปรับได้กว้าง และให้ประสิทธิภาพสูง

ภายหลังจากตัดตัวต้านทานเริ่มหมุนออกจากอาร์เมเนเจอร์เรียบร้อยแล้ว ความเร็วของอาจปรับให้สูงขึ้นได้แต่ไม่สามารถปรับให้ลดลงได้

ก) แรงดันอาร์เมเนเจอร์ (Armature Voltage)

$$\text{จาก } n = K_a \frac{V_t - I_a R_a}{\phi}$$

ถ้าให้  $R_a$  และ  $\phi$  คงที่ ความเร็วของจะแปรผันตรงกับค่าแรงดันไฟฟ้า นั่นคือ

$$n \propto V_t$$

การควบคุมความเร็วของมอเตอร์คือวิธีปรับขนาดของค่าแรงดันอาร์เมเนเจอร์นี้ขึ้นเสียก็อพลังงานส่วนหนึ่งจะสูญเสียไปเนื่องจากความต้านทานเริ่มหมุน (Starting resistance) และถ้ามีการเปลี่ยนแปลงโหลดเดือน้อยก็จะส่งผลให้ความเร็วนั้นเปลี่ยนแปลง

### 2.3 คุณสมบัติของมอเตอร์กระแสตรง

#### 2.3.1 คุณสมบัติของมอเตอร์กระแสตรงแบบบน (Shunt motor)

จากสมการ  $n = K_a (V_t - I_a R_a / \phi)$  จะเห็นได้ว่าเมื่อมอเตอร์ทำงาน ถ้าลดโหลดให้มีค่าต่ำลง  $I_a$  จะต่ำลงด้วย แต่เนื่องจาก  $\phi$  มีค่าคงที่ เมื่อ  $V_t$  คงที่ดังนั้นความเร็วของจะมีค่าเพิ่มขึ้น เล็กน้อยเท่านั้น และถ้าให้โหลดหรือกระแส  $I_a$  มีค่าลดลง ความเร็วของจะลดลงมาก นั่นคือการคุ้มค่าความเร็ว (Speed regulation) มีค่าน้อยมาก

ถ้าพิจารณาเรื่องอาร์เมเนเจอร์รีแอคชัน (Armature reaction) ถ้า  $I_a$  มีค่าน้อยๆ  $\phi$  จะมีค่าเพิ่มขึ้นเล็กน้อย และถ้า  $I_a$  มีค่านากๆ  $\phi$  จะมีค่าลดลงเล็กน้อย จากคุณสมบัติข้างต้นนี้จะเห็นว่า มอเตอร์กระแสตรงแบบบนจะเหมาะสมกับงานที่ต้องการคุ้มค่าความเร็วน้อยๆ เช่นงานค้านเกรื่องมือเครื่องขักร แต่ไม่เหมาะสมกับงานที่ต้องการแรงบิดสูงๆ

ก) สมรรถนะในการหมุนขับโหลด

ความเร็วของจะลดลงเพียงเล็กน้อยเมื่อโหลดเพิ่มขึ้น มองเหอร์จะหมุนด้วยความเร็วของต่อน้ำหนักจะคงที่ตราบเท่าที่มอเตอร์ยังคงต่ออยู่กับแรงดันของแหล่งกำเนิดที่คงที่ ดังนั้นจึงกล่าวได้ว่า มองเหอร์แบบบนเป็นมอเตอร์ที่หมุนด้วยความเร็วของคงที่ ถ้าพิจารณาให้ละเอียดจะพบว่าการเปลี่ยนแปลงของโหลดไม่มีผลต่อการเปลี่ยนแปลงของเส้นแรงแม่เหล็กในสนามแม่เหล็กของมอเตอร์ แต่ถ้าได้ทราบเท่าที่มอเตอร์ยังคงต่ออยู่กับแรงดันของแหล่งกำเนิดที่คงที่ อย่างไรก็ตามเมื่อมอเตอร์หมุนขับโหลดเพิ่มขึ้น มองเหอร์จะกินกระแส  $I_a$  สูงขึ้น ขณะที่เส้นแรงแม่เหล็ก  $\phi$  คงที่ แรงบิดของมองเหอร์จะเพิ่มขึ้น และทำให้ความเร็วของมองเหอร์ลดลงเล็กน้อย

ความเร็วของขณะขับงานเติม โหลดของมอเตอร์แบบบานานจะมีความเร็วของสูงกว่าขณะไม่มีโหลดเดือน้อย ทั้งนี้เนื่องจากขณะที่มอเตอร์หมุนขับ โหลดจะมีกระแสไฟฟ้าผ่านคลาดอาร์เมเจอร์ ทำให้เกิดอาร์เมเจอร์รีแอคชันขึ้น เส้นแรงแม่เหล็กในช่องว่างอากาศระหว่างขั้วเหนือกับขั้วใต้จะลดลงเล็กน้อยถึงแม้ว่ากระแสของคลาดสถานะแม่เหล็ก ( $I_f$ ) จะคงที่ตาม จึงทำให้ความเร็วของมอเตอร์สูงขึ้นเล็กน้อย

#### ๔) ความด้านทานเริ่มหมุน

มอเตอร์ไฟฟ้ากระแสตรงขณะเริ่มหมุนนั้นยังไม่มีแรงเคลื่อนไฟฟ้าข้อนกลับเกิดขึ้นเพื่อควบคุมค่ากระแสของมอเตอร์ให้อยู่ในพิกัดเดิม โหลดตามขนาดกำลังของมอเตอร์ที่ต้องการได้ และเนื่องจากคลาดอาร์เมเจอร์มีความต้านทานน้อยมากจึงกินกระแสของเริ่มหมุนสูงจนเกินไปจนอาจทำให้มอเตอร์เสียหายได้ ดังนั้นจึงจำเป็นต้องควบคุมกระแสของเริ่มหมุนของมอเตอร์ให้เหลือไม่เกิน 1.5 เท่าหรือ 150% ของกระแสเติม โหลดเท่านั้น โดยการต่อความด้านทานเริ่มหมุนอนุกรมกับอาร์เมเจอร์ ภายหลังจากมอเตอร์หมุนไปได้ความเร็วตามต้องการ จะมีแรงเคลื่อนไฟฟ้าข้อนกลับเกิดขึ้นและควบคุมกระแสของมอเตอร์ให้ลดลงไปตามขนาดกำลังของมอเตอร์เรียบร้อยแล้ว จึงตัดความด้านทานเริ่มหมุนออกจากวงจรอาร์เมเจอร์ทันที ไม่เช่นนั้นแล้วความด้านทานเริ่มหมุนจะร้อนทำให้ประستิทิกาพการทำงานของมอเตอร์ลดลง

#### ก) แรงบิดเริ่มหมุน

ควยเหตุที่ขึ้นคลาดสถานะแม่เหล็กของมอเตอร์แบบบานานต่อโดยตรงกับแรงดันของแหล่งกำเนิดซึ่งมีค่าคงที่ เส้นแรงแม่เหล็กในสถานะแม่เหล็กของมอเตอร์จึงคงที่ แต่จะมีคลาดลงเพียงเล็กน้อยเนื่องจากอาร์เมเจอร์รีแอคชัน อย่างไรก็ตามแรงบิดของมอเตอร์ยังคงเปรียบเทียบกับกระแสอาร์เมเจอร์

กระแสอาร์เมเจอร์ขณะเริ่มหมุนหากได้โดยตรงจากความด้านทานอนุกรม (ความด้านทานเริ่มหมุน) เท่านั้นและเส้นแรงแม่เหล็กของมอเตอร์คงที่ตลอดเวลาไม่ว่ามอเตอร์จะหมุนหรือไม่ก็ตาม ด้วยเหตุนี้แรงบิดเริ่มหมุนจึงเปรียบเทียบกับกระแสเริ่มหมุนดังสมการนี้

$$T_{st} = K\phi I_{a,st}$$

โดยที่

$T_{st}$  คือ แรงบิดเริ่มหมุน

$I_{a,st}$  คือ กระแสอาร์เมเจอร์เริ่มหมุน

ถ้ามอเตอร์ขณะเริ่มหมุนกินกระแสเท่ากับกระแสอาร์เมเจอร์เติม โหลด แรงบิดเริ่มหมุนจะมีค่าเท่ากับแรงบิดที่กินกระแสอาร์เมเจอร์เติม โหลด เช่นเดียวกัน ดังนั้นมอเตอร์ขณะเริ่มหมุนที่กิน

กระแส 200% ของกระแสเต็ม โหลดจะทำให้แรงบิดเริ่มน Hun นี้ค่าเท่ากับ 200% ของแรงบิดเต็ม โหลด ด้วยเหตุนี้เราจึงสามารถกำหนดแรงบิดเริ่มน Hun ของมอเตอร์แบบบานานได้ตามต้องการ โดยกำหนดค่า ความต้านทานเริ่มน Hun ซึ่งจะควบคุมกระแสเริ่มน Hun ของมอเตอร์ให้อยู่ในพิกัดที่ต้องการ

### ๑) วิธีควบคุมความเร็ว

มอเตอร์แบบบานานสามารถควบคุมความเร็วได้ด้วยวิธีปรับค่าเส้นแรงแม่เหล็กและปรับค่า แรงดันอากาศเมื่อครั้งนี้

#### ➢ การควบคุมความเร็วด้วยวิธีปรับค่าเส้นแรงแม่เหล็ก

การปรับค่าเส้นแรงแม่เหล็กภายในชุดควบคุมสามารถสามารถทำได้ด้วยการต่อมอเตอร์กับ แรงดันของแหล่งกำเนิดที่คงที่ แล้วปรับค่าความต้านทานของตัวต้านทานเปรค่า หรือที่เรียกว่า ก็ชื่อ หนึ่งว่า “รีโอสแตต” (Rheostat) ซึ่งต่ออยู่กับชุดควบคุมสามารถ มอเตอร์จะหมุนด้วยความเร็วของดังนี้

เมื่อให้เส้นแรงแม่เหล็กคง นอเตอร์จะหมุนด้วยความเร็วของเพิ่มขึ้น

เมื่อให้เส้นแรงแม่เหล็กเพิ่มขึ้น นอเตอร์จะหมุนด้วยความเร็วของลดลง

ซึ่งจะสามารถอธิบายเป็นสมการดังต่อไปนี้

$$\text{จาก } V_t = E_a + I_a R_a$$

เมื่อกำหนดให้  $V_t$  และ  $I_a$  ค่าคงที่ จะได้  $E_a = V_t - I_a R_a$  = ค่าคงที่

เราสามารถทำให้ความเร็วของมอเตอร์เพิ่มขึ้น โดยปรับความต้านทานของรีโอสแตต เพิ่มขึ้น กระแสเดลคูลาฟานจะคง ทำให้เส้นแรงแม่เหล็กคง แรงเดือนไฟฟ้าข้อนกลับจะคง ทำให้มอเตอร์กินกระแสอาร์เมจเจอร์เพิ่มขึ้น ส่งผลให้แรงบิดของมอเตอร์เพิ่มขึ้น และความเร็วของจะ เพิ่มขึ้นด้วย โดยอัตโนมัติ สรุปคือความเร็วของมอเตอร์จะเพิ่มขึ้นมากน้อยเพียงใดนั้นขึ้นอยู่กับ การทำให้จำนวนเส้นแรงแม่เหล็กคงเท่าใด

เมื่อต้องการให้ความเร็วของมอเตอร์มีค่าคง เราจะทำการปรับลดค่าความต้านทาน ของรีโอสแตตให้ต่ำลงเหลือศูนย์ จึงเหลือเฉพาะชุดควบคุมความต้านทานของชุดควบคุมขนาดเพียงอย่างเดียวเส้นแรงแม่เหล็กจะเพิ่มขึ้น ทำให้แรงเดือนไฟฟ้าข้อนกลับมีค่าเพิ่มขึ้น ขณะเดียวกันมอเตอร์จะ กินกระแสอาร์เมจเจอร์ลดลง แรงบิดของมอเตอร์จะคง ทำให้ความเร็วของมอเตอร์ลดลงโดย อัตโนมัติ

เมื่อให้ขานมอเตอร์ที่เท่ากันถ้าให้หมุนขับงานด้วยความเร็วของที่ต่างกันมอเตอร์จะให้ แรงบิดหมุนขับงานต่างกันด้วยคือมอเตอร์ที่หมุนขับงานด้วยความเร็วของที่สูงกว่าจะให้แรงบิดหมุน ขับต่ำกว่าและมอเตอร์ที่หมุนขับงานด้วยความเร็วของที่ต่ำกว่า จะให้แรงบิดหมุนขับสูงกว่า

การปรับความเร็วของมอเตอร์แบบบานานด้วยวิธีปรับค่าเส้นแรงแม่เหล็กในสนามแม่เหล็กนี้ยังคงให้สมรรถนะในการขับโหลดเหมือนเดิมอัตราความแตกต่างกันระหว่างความเร็วของมอเตอร์จะหมุนด้วยความเร็วของมอเตอร์จะเปลี่ยนแปลงไปไม่เกินพิกัดประมาณ 15-20%

#### ➢ การควบคุมความเร็วของมอเตอร์ด้วยวิธีการปรับค่าแรงดันอาร์เมจอร์

ความเร็วของมอเตอร์จะเปลี่ยนแปลงตามค่าแรงดันอาร์เมจอร์ซึ่งขึ้นอยู่กับค่าความต้านทานของรีโซสเตตที่ต่ออยู่กับอาร์เมจอร์ ส่วนของคลาดสนามต่อขนาดกันแหล่งกำเนิดซึ่งมีค่าแรงดันคงที่ เส้นแรงแม่เหล็กจะมีค่าคงที่ และมอเตอร์จะกินกระแสอาร์เมจอร์คงที่ ขณะให้หมุนขับโหลดคงที่ ความเร็วของมอเตอร์จะปรับตัวลงกับแรงดันอาร์เมจอร์ นั่นคือเมื่อปรับเพิ่มค่าความต้านทานของรีโซสเตต แรงดันอาร์เมจอร์จะลดลง ทำให้ความเร็วของมอเตอร์ลดลง

การควบคุมความเร็วของมอเตอร์ด้วยวิธีนี้มีข้อเสียคือ พลังงานไฟฟ้าส่วนใหญ่จะสูญเสียไปในความต้านทานเริ่มหมุน ยิ่งกว่านั้นการเปลี่ยนแปลงของโหลดเพียงเล็กน้อยจะทำให้แรงดันอาร์เมจอร์เปลี่ยนแปลงไปด้วยตามค่าความต้านทานของรีโซสเตต การควบคุมความเร็วโดยวิธีนี้ไม่เหมาะสมกับงานที่ต้องการปรับความเร็วอย่างละเอียด

#### ๑) การเปรียบเทียบวิธีการควบคุมความเร็ว

การควบคุมความเร็วของมอเตอร์ด้วยวิธีปรับค่าเส้นแรงแม่เหล็กเป็นการปรับความเร็วของมอเตอร์อย่างละเอียด และสามารถปรับความเร็วได้หลากหลาย จึงทำให้ปรับช่วงพิกัดความเร็วได้กว้างและให้ประสิทธิภาพสูง ภายหลังจากตัดความต้านทานเริ่มหมุนออกจากวงจรอาร์เมจอร์เรียบร้อยแล้ว ความเร็วของมอเตอร์จะปรับให้สูงขึ้นได้แต่ไม่สามารถปรับให้ต่ำลงได้

การควบคุมความเร็วด้วยวิธีการปรับค่าแรงดันอาร์เมจอร์ เป็นวิธีปรับค่าความเร็วอย่างหยาบ ประสิทธิภาพการทำงานของมอเตอร์ลดลงเนื่องจากมีพลังงานไฟฟ้าส่วนหนึ่งสูญหายไปในความต้านทานเริ่มหมุนที่ต่ออยู่กับคลาดอาร์เมจอร์ และเราสามารถควบคุมให้ความเร็วลดลงได้เท่านั้น

#### 2.3.2 คุณสมบัติของมอเตอร์กระแสตรงแบบอนุกรม (Series Motor)

มอเตอร์กระแสตรงแบบอนุกรมจะต่างกับมอเตอร์กระแสตรงที่  $\phi$  จะไม่คงที่ แต่จะมีค่าเพิ่มและลดตาม  $I_a$  เนื่องจากว่า  $\phi \propto I_a$  และ  $\tau_a \propto \phi I_a$  ดังนั้น  $\tau_a \propto I_a^2$  แต่ถ้า  $I_a$  มีค่ามากจนทำให้ทุกๆ ส่วนของแกนเหล็กอิ่มตัว แม้จะเพิ่มกระแสให้มากกว่านี้ก็ตาม  $\phi$  จะมีค่าเกือบคงที่ นั่นคือหลังจากที่แกนเหล็กเริ่นอิ่มตัวจะได้สมการแรงบิดดังนี้  $\tau_a \propto I_a$  เพราะฉะนั้นถ้า  $I_a$  มี

การเปลี่ยนแปลงในช่วงกว้างແລ້ວ ในช่านที่  $I_a$  มีค่าນ้อยๆ จะได้  $\tau_a \propto I_a^2$  ในขณะที่ในช่านที่  $I_a$  มีค่ามากๆ จะได้  $\tau_a \propto I_a$

โดยทั่วไปเมื่อเตอร์กระแสตรงแบบอนุกรมจะใช้กระแส 1.3 ถึง 1.7 เท่าของกระแสพิกัดในการขับเคลื่อนให้หมุน ดังนั้นแรงบิดที่ใช้ในการขับเคลื่อนของเตอร์ให้หมุนจะมีค่ามากกว่าแรงบิดที่กระแสพิกัดมาก ถ้ายิ่งทำให้กระแสขับเคลื่อนมีค่ามากแรงบิดขับเคลื่อนจะยิ่งมีค่ามากขึ้นเช่นกัน แต่สำหรับกรณีของเตอร์กระแสตรงแบบขนาน เนื่องจากแรงบิด  $\tau_a \propto I_a$  ถ้าให้กระแสขับเคลื่อนเท่ากับ 1.5 เท่าจะได้แรงบิดขับเคลื่อนเพียง 1.5 เท่าของแรงบิดพิกัดเท่านั้น แต่ถ้าเป็นกรณีของเตอร์กระแสตรงแบบอนุกรมจะได้แรงบิดขับเคลื่อนมากกว่า 1.5 เท่า ดังนั้นถ้าใช้กระแสขับเคลื่อนในอัตราส่วนที่เท่าๆ กันของเตอร์กระแสตรงแบบอนุกรมจะให้แรงบิดขับเคลื่อนมากกว่า

สำหรับการคุณค่าความเร็วจะเห็นว่าเมื่อกระแสมีค่าเปลี่ยนไปเล็กน้อยของเตอร์แบบอนุกรมจะให้ความเร็วของที่เปลี่ยนไปมาก แม้ว่า  $V$  จะมีค่าคงที่ตาม เพราะเมื่อกระแสไฟฟ้า  $I_a$  เปลี่ยนไป  $\phi$  จะเปลี่ยนแปลงตาม  $I_a$

$$\text{จากสมการ} \quad n \propto \frac{V_t - I_a(R_s + R_a)}{\phi}$$

โดยที่  $R_s$  คือค่าความต้านทานของขดลวดสนาม จะเห็นว่าเมื่อ  $I_a$  เพิ่มขึ้นไม่เพียงแต่จำนวนเศษจะมีค่าลดลงแต่ในขณะเดียวกันจำนวนส่วนจะมีค่าเพิ่มขึ้นด้วย ดังนั้นของเตอร์กระแสตรงแบบขนานจึงจัดอยู่ในประเภทความเร็วคงที่ แต่เมื่อเตอร์กระแสตรงแบบอนุกรมจัดอยู่ในประเภทที่สามารถเปลี่ยนค่าความเร็วของได้

### ก) สมรรถนะในการขับไฟฟ้า

อาร์เมเจอร์ต่ออนุกรณ์กับขดลวดสนามแม่เหล็กและต่ออนุกรณ์กับแรงดันของแหล่งกำเนิด เมื่อไฟฟ้าเปลี่ยนแปลงกระแสอาร์เมเจอร์และเดินแรงแม่เหล็กในสนามแม่เหล็กจะเปลี่ยนแปลงไป ทำให้ความเร็วของของมอเตอร์เปลี่ยนแปลงไปในที่สุด ดังนั้นจึงกล่าวได้ว่าความเร็วของของมอเตอร์อนุกรณ์จะเปลี่ยนไปตามการเปลี่ยนแปลงของไฟฟ้า ตัวเชิงเหตุนี้จึงเรียกมอเตอร์อนุกรณ์ว่า เครื่องจักรกลความเร็วปรับค่าได้ (Variable Speed Machine) และพบว่าการเปลี่ยนแปลงของไฟฟ้า เพียงเล็กน้อยจะมีผลทำให้ความเร็วของของมอเตอร์เปลี่ยนแปลงไปได้อย่างมาก นั่นคือ

เมื่อทำให้ไฟฟ้าเพิ่มขึ้นจะทำให้ความเร็วของของมอเตอร์ลดลง

เมื่อทำให้ไฟฟ้าลดลงจะทำให้ความเร็วของของมอเตอร์เพิ่มขึ้น

ของมอเตอร์อนุกรณ์ที่หมุนขับงานก็คือแรงดันของแหล่งกำเนิดคงที่ ขณะที่ไฟฟ้าไฟฟ้ากระแสอาร์เมเจอร์รวมทั้งแรงบิดของมอเตอร์จะเพิ่มขึ้น ขณะเดียวกันแรงคลื่นไฟฟ้าข้อนกลับจะลดลง ซึ่งอาจกล่าวได้ว่าเส้นแรงแม่เหล็กเพิ่มขึ้นตามการเพิ่มขึ้นกระแสอาร์เมเจอร์ แรงคลื่นไฟฟ้าข้อนกลับ

จะลดลงทำให้ความเร็วของคลอง โดยจะลดลงในอัตราส่วนที่มากกว่าการเพิ่มขึ้นของเส้นแรงแม่เหล็กในสนามแม่เหล็ก

ด้วยเหตุที่เส้นแรงแม่เปรผันตรงกับกระแสอาร์เมเจอร์ ถ้าเพิ่มโหลดจนทำให้กระแสอาร์เมเจอร์เพิ่มขึ้นเป็น 2 เท่าแล้ว เส้นแรงแม่เหล็กจะเพิ่มขึ้น 2 เท่า ความเร็วของคลองมากกว่า 2 เท่า ของความเร็วเดิม ในทางตรงกันข้ามถ้าลดกระแสอาร์เมเจอร์ลงให้เหลือเพียงครึ่งหนึ่ง เส้นแรงแม่เหล็กจะลดลงเหลือเพียงครึ่งหนึ่ง และความเร็วของจะเพิ่มขึ้นมากกว่าเดิม 2 เท่า

ความเร็วของขณะหมุนตัวเปล่า (ไรโอลด์) ของมอเตอร์อนุกรมจะมีพิกัดไม่แน่นอน เนื่องจากแรงบิดในขณะนี้มีค่าน้อยมาก ความเร็วของจึงสูงมากจนกระทั่งมอเตอร์ให้ก้าวเนิดแรงเกลื่อนไฟฟ้าขึ้นกลับไปเล็กๆ คงแรงดันของแหล่งกำเนิด ขณะนี้มอเตอร์กินกระแสอาร์เมเจอร์น้อยมาก เส้นแรงแม่เหล็กในสนามแม่เหล็กมีค่าน้อยมาก ทำให้มอเตอร์หมุนด้วยความเร็วของสูงมาก สูงจนสามารถทำให้เกิดแรงเหวี่ยงมากพอที่จะเหวี่ยงให้หัวนำอาร์เมเจอร์หลุดออกจากกร่อง (Slot) ของแกนอาร์เมเจอร์ซึ่งจะทำให้มอเตอร์เสียหาย ด้วยเหตุนี้ในการขับหมุนโหลดของมอเตอร์อนุกรมจึงห้ามหมุนขับด้วยระบบสายพานอย่างเด็ดขาด โดยจะให้ต่อตรงกับโหลดที่ต้องการหมุนขับเท่านั้น

#### ข) ความต้านทานเริ่มหมุน

มอเตอร์ขณะเริ่มหมุนจะไม่มีแรงเกลื่อนไฟฟ้าขึ้นกลับเกิดขึ้นบนตัวนำอาร์เมเจอร์ ดังนี้ จึงต้องมีการควบคุมกระแสขณะเริ่มหมุนให้อยู่ในพิกัดที่ต้องการด้วยการต่อ กับความต้านทานเริ่มหมุนหรือต่อ กับกล่องควบคุมซึ่งประกอบด้วยรีเลย์โหลดเกินและรีเลย์โหลดขาด (Overload and underload relays) รีเลย์โหลดเกินเป็นอุปกรณ์ตัดวงจรของมอเตอร์ออกจากระบบเมื่อมอเตอร์กินกระแสมากเกินไป ในขณะที่รีเลย์โหลดขาดเป็นอุปกรณ์ตัดวงจรของมอเตอร์ออกจากระบบเมื่อโหลดที่หมุนขับคลองจะกระทั่งทำให้มอเตอร์หมุนด้วยความเร็วของที่สูงเกินไป

#### ก) แรงบิดเริ่มหมุน

เมื่อกระแสสัมภาระของมอเตอร์ไม่คงที่จะไม่เปลี่ยนแปลงไปตามกระแสอาร์เมเจอร์ไปตามกระแสอาร์เมเจอร์ซึ่งเปลี่ยนแปลงไปตามโหลดจนกระทั่งวงจรแม่เหล็กถึงจุดอิ่มตัวแรงบิดเริ่มหมุนของมอเตอร์อนุกรมจะแปรผันโดยตรงกับกระแสอาร์เมเจอร์ยกกำลังสอง ( $T_s \propto I_s^2$ ) ด้วยเหตุนี้ แรงบิดเริ่มหมุนของมอเตอร์อนุกรมจะเพิ่มขึ้นทันทีทันใดตามการเพิ่มขึ้นของกระแสอย่างรวดเร็ว

### 2.3.3 คุณสมบัติของมอเตอร์กระแสตรงแบบผสม (Compound Motor)

มอเตอร์กระแสตรงแบบผสมคือมอเตอร์กระแสตรงซึ่งอาศัยการทำงานร่วมกันของขดลวดแบบอนุกรมซึ่งให้แรงบิดขณะเริ่มเดินเครื่องสูงและขดลวดแบบขนานซึ่งจะให้ความเร็วของเกือบคงที่ในอัตราส่วนที่เหมาะสม มอเตอร์กระแสตรงแบบผสมจะให้กระแสจำานวนมากให้ผ่านขดลวด

แบบอนุกรมในช่วงเริ่มเดินเครื่องจึงให้คุณสมบัติของมอเตอร์กระแสตรงในช่วงนี้ กล่าวคือให้แรงบิดขณะเริ่มเดินเครื่องสูงกว่าความอ遒อาร์กระแสตรงแบบขนานในปริมาณของกระแสเริ่มเดินเดี๋วกัน หลังจากนั้นเมื่อความเร็วอบสูงขึ้นเรื่อยๆ กระแส  $I_a$  ซึ่งให้ผลผ่านขดลวดแบบอนุกรมจะน้อยลง ทำให้บทบาทของขดลวดแบบอนุกรมน้อยลง ในช่วงการทำงานนี้มอเตอร์แบบผสมจะแสดงคุณสมบัติที่ใกล้เคียงกับมอเตอร์กระแสตรงแบบขนาน กล่าวคือให้ความเร็วอบเกือบคงที่ ไม่ต่อร์แบบผสมหมายที่จะนำไปปั๊บเคลื่อนไฟด์ในลักษณะเช่นลิฟต์

ในอุตสาหกรรมเกี่ยวกับการผลิตบางชนิดซึ่งต้องการความเร็วอบคงที่ตลอดไม่ว่าโหลดจะเปลี่ยนแปลง อ่าย่างไรก็ตามแม้จะเลือกใช้มอเตอร์กระแสตรงแบบขนาน ก็ไม่สามารถตอบสนองความต้องการนี้ได้ ทั้งนี้ เพราะจากคุณสมบัติทางด้านความเร็วอบของมอเตอร์กระแสตรงแบบขนานนี้จะเห็นว่าเมื่อโหลดมีค่าเปลี่ยนแปลง ไปอัตราการเปลี่ยนแปลงของจำนวนเศษและส่วนในสมการความเร็วอบจะมีค่าไม่เท่ากัน ปัญหานี้แก้ไขได้ด้วยการใช้มอเตอร์กระแสตรงแบบดิฟเฟอเรนเชียลคอมปาวด์ (Differential compound) และในช่วงการเปลี่ยนแปลงของโหลดจากสภาพไว้โหลดคงที่ โหลดเดิมที่นั้นจะให้อัตราการเปลี่ยนแปลงของจำนวนเศษและจำนวนส่วนในสมการความเร็วอบเท่ากัน ดังนั้นการคุณค่าความเร็วของมอเตอร์ชนิดนี้จะมีค่าประมาณศูนย์ (หมายความว่าความเร็วอบจะไว้โหลดกับความเร็วอบขณะโหลดเดิมที่มีค่าใกล้เคียงมาก)

แต่เนื่องจากมอเตอร์กระแสตรงแบบดิฟเฟอเรนเชียลคอมปาวด์มีข้อเสียอย่างมากตรงที่แรงบิดขณะเริ่มเดินเครื่องมีค่าต่ำและในช่วงเริ่มเดินมอเตอร์อาจหมุนกลับทิศได้ เพราะขดลวดแบบอนุกรมและขดลวดแบบขนานต่ออยู่ในลักษณะที่ให้แรงเคลื่อนแม่เหล็ก (Magnetomotive Force) หักล้างกัน ในช่วงเริ่มเดินเครื่องขดลวดแบบอนุกรมจะมีแรงเคลื่อนแม่เหล็กสูงกว่าปกติจนอาจมีค่ามากกว่าแรงเคลื่อนแม่เหล็กของขดลวดแบบขนานได้ ในปัจจุบันจึงไม่นิยมใช้มอเตอร์ชนิดนี้ ในการที่ต้องการใช้มอเตอร์ซึ่งให้ความเร็วอบที่คงที่ระหว่างที่ไม่ได้รับโหลดทางกล ที่สิ่งที่ได้รับโหลดทางกลเดิมที่

#### 2.3.4 การเปรียบเทียบของมอเตอร์กระแสตรงแบบขนานและอนุกรม

##### ก) คุณลักษณะของมอเตอร์แบบขนาน

➤ ไม่ต้องเดินเครื่องให้มีความเร็วคงที่อย่างพอดีเพียงในการใช้งาน

➤ แรงบิดเริ่มหมุนของมอเตอร์แบบขนานมีค่าไม่สูงเหมือนมอเตอร์แบบอนุกรมเมื่อเปรียบเทียบในกรณีที่ต้องกินกระแสไฟที่เท่าๆ กัน

##### ข) การนำมอเตอร์แบบขนานไปใช้งาน

➤ ใช้กับงานที่ต้องการให้มีความเร็วคงที่ (โดยประมาณ) จากช่วงที่ไม่ได้รับโหลดทางกล ที่สิ่งที่ได้รับโหลดทางกลเดิมที่

➤ เมื่อต้องการนำไฟปุ่มนหนึ่งขับให้ลดต่างๆ กัน โดยให้ลดแต่ละชนิดต้องการความเร็วคงที่ที่ค่าหนึ่ง เช่นนำไฟไปใช้กับงานเครื่องกลึงซึ่งต้องการใช้ความเร็วในการกลึงและตัดโลหะแต่ละชนิดด้วยความเร็วคงที่ที่แตกต่างกันจนกว่าจะสำเร็จเป็นงานๆ ไป ในกรณีเช่นนี้มอเตอร์กระแสตรงแบบบานานะเหมาะสม เพราะสามารถทำการควบคุมความเร็วที่ค่าต่างๆ ที่มอเตอร์ได้อย่างเหมาะสมกับลักษณะของงานแต่ละอย่าง รวมทั้งยังทำให้ง่ายและประหยัดในการขับมอเตอร์ด้วย

#### ก) คุณลักษณะของมอเตอร์แบบอนุกรม

##### ➤ แรงบิดเริ่มหมุนมาก

➤ เมื่อต้องขับให้ลดมาก ๆ จะมีความเร็วต่ำ แต่ในสภาวะไร้โหลดจะมีความเร็วสูงมากจนอาจทำให้มอเตอร์เสียหาย

#### ง) การนำมอเตอร์แบบอนุกรมไปใช้งาน

##### ➤ ใช้แรงบิดสูง ๆ เช่น การขับรถร่วง เป็นต้น

➤ สามารถนำไปต่อโดยตรงกับโหลดต่าง ๆ ได้ เช่น พัดลม โดยความเร็วจะเพิ่มขึ้นตามค่าแรงบิด

➤ ในกรณีที่โหลดไม่ต้องการความเร็วคงที่ การที่มอเตอร์ได้รับโหลดมากขึ้น (ซึ่งเป็นตัวทำให้ความเร็วลดลง) กลับกลายเป็นข้อดีของมอเตอร์อนุกรม เพราะมอเตอร์แบบอนุกรมจะไม่กินไฟเพิ่มขึ้นมาก ทั้งที่แรงบิดนั้นต้องใช้มาก เช่นถ้าต้องการให้แรงบิดเพิ่มขึ้นเป็น 2 เท่า ปรากฏว่ากระแสไฟฟ้าที่มอเตอร์ต้องการเพิ่มขึ้นนั้นเป็นแค่เพียง 40 ถึง 50% เท่านั้น ( $I_a \propto \sqrt{T}$ )

➤ มอเตอร์แบบอนุกรมนี้ไม่ควรนำไปใช้กับงานที่อาจเกิดค่าโหลดน้อยๆ ขึ้นมา เช่นนำไปใช้กับปั๊มน้ำศูนย์กลาง (Centrifugal pump) หรือขับให้ล้อหมุนเป็นตัวถูก

### 2.3.5 ความสามารถในการเร่งหรือหน่วงความเร็วรอบ

เมื่อพิจารณาความสัมพันธ์ระหว่างแรงบิดที่โหลดต้องการ หรือที่เรียกว่า “โหลดแรงบิด” (Torque load) กับแรงบิดที่มอเตอร์จ่ายให้กับโหลด หรือ “แรงบิดมอเตอร์” (Motor torque) เพื่อให้เข้าใจได้ง่าย จึงขอยกตัวอย่างมอเตอร์กระแสตรงแบบบานานะในการอธิบายการหมุนของมอเตอร์ในขณะที่มีโหลดทางกลนั้นจะเท่ากับการใส่แรงเบรกรotate ทำต่อแกนของอาร์มเมนเซอร์ เมื่อโหลดแรงบิดสูงขึ้นจะส่งผลให้แรงเบรกที่กระทำต่อแกนอาร์มเมนเซอร์มีค่ามากขึ้น นั่นคือขณะที่มอเตอร์กำลังหมุนภายในได้โหลดค่าหนึ่งด้วยสถิติภูมิที่ด้านหลังให้โหลดแรงบิดมีค่าสูงขึ้นหรือแรงเบรกที่กระทำมีค่ามากขึ้นจะทำให้เกิดความหน่วงขึ้น ความเร็วรอบจะมีค่าลดลง สำหรับกรณีของมอเตอร์แบบบานานะราบใดที่แรงดันระหว่างขั้วมีค่าคงที่อาจถือได้ว่า  $\phi$  มีค่าไม่เปลี่ยนแปลง ดังนั้นถ้าความเร็วรอบน้อยลงแรงเกลื่อนไฟฟ้าข้อนกลับ ( $E_a$ ) จะมีค่าต่ำลง แต่เนื่องจาก  $I_a = (V_t - E_b) / R_a$  และ  $T = K\phi I_a$

แรงบิดมอเตอร์จะมีค่าเพิ่มขึ้น ดังนั้นความเร็วของจลดลงเรื่อยๆจนกระทั้งทำให้แรงบิดมอเตอร์เท่ากับโหลดแรงบิดพอดี จากนั้นมอเตอร์จะเริ่มหมุนด้วยความเร็วของคงที่และทำงานที่จุดนี้ต่อไป

ในทางตรงกันข้าม ถ้าโหลดแรงบิดมีค่าน้อยกว่าแรงบิดมอเตอร์ แรงที่หมุนแกนอาร์เมเนเจอร์จะมากกว่าแรงเบรกทำให้เกิดความเร่งขึ้นและความเร็วของเพิ่มขึ้นเมื่อความเร็วของเพิ่มขึ้น แรงเกลื่อนไฟฟ้าข้อนกลับจะมีค่ามากขึ้นกระแตอาร์เมเนเจอร์จะน้อยลง แรงบิดมอเตอร์จะลดลง ความเร่งจะน้อยลงจนเป็นสูญญ์เมื่อแรงบิดจากมอเตอร์มีค่าเท่ากับโหลดแรงบิดพอดี จากนั้นมอเตอร์จะเริ่มหมุนด้วยความเร็วของคงที่และทำงานที่จุดนี้ต่อไป ใน การเริ่มเดินมอเตอร์จากสภาพที่หยุดนิ่ง จนกระทั้งหมุนนั้นแรงเกลื่อนไฟฟ้าข้อนกลับจะค่อยๆ เพิ่มขึ้นจากศูนย์ ในช่วงแรกสุดนั้นเนื่องจากมีกระแสสูงมาก แรงบิดจากมอเตอร์จะมีค่าสูงกว่าโหลดแรงบิดมาก จึงทำให้เกิดความเร่งสูงมาก ความเร็วของสูงขึ้นเรื่อยๆจนกระทั้งโหลดแรงบิดเท่ากับมอเตอร์แรงบิดและความเร็วของคงที่ โหลดแรงบิดจะเปลี่ยนแปลงตามความเร็วของหรือมีค่าคงที่เมื่อความเร็วของเปลี่ยนไปหรือไม่นั้น ข้อมูลนี้กับคุณสมบัติของโหลด เช่น พัดลมยังหมุนที่ความเร็วของสูงขึ้นแรงบิดที่โหลดต้องการจะยังมีค่ามากขึ้น ในขณะที่เครื่องกลึงไม่ว่าความเร็วของจะเปลี่ยนไปอย่างไรก็ตาม โหลดจะต้องการแรงบิดเกือบคงที่ตลอดเวลา

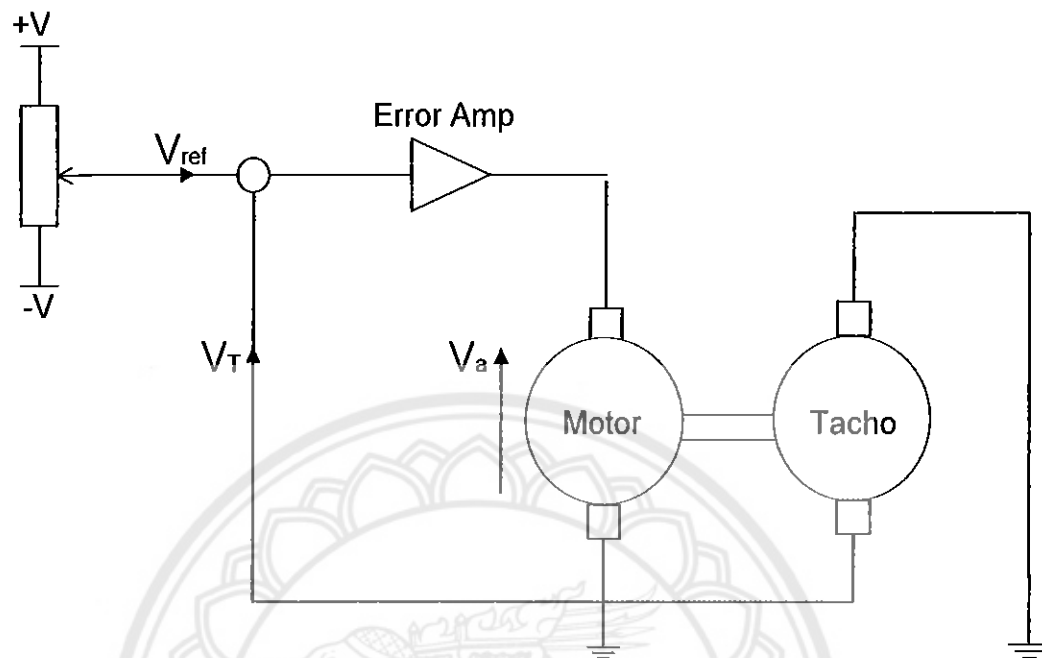
จากทฤษฎี หลักการ และคุณสมบัติของมอเตอร์กระแสตรงที่กล่าวมาแล้วข้างต้นจะเห็นได้ว่าการควบคุมความเร็วของของมอเตอร์กระแสตรงโดยวิธีการควบคุมแรงดันเป็นวิธีที่ง่ายต่อการควบคุมดังนี้ โครงงานนี้จึงเลือกวิธีการควบคุมความเร็วของของมอเตอร์กระแสตรงจากการควบคุมแรงดัน

#### 2.4 การควบคุมความเร็วของคงที่ (Constant-speed control)

รูปที่ 2.5 แสดงแผนภาพวงจรควบคุมความเร็วของของมอเตอร์กระแสตรง เมื่อป้อนแรงดัน  $V_{ref}$  ให้กับวงจรจะที่ยังไม่ได้ต่อ โหลดจะส่งผลให้มอเตอร์หมุนด้วยความเร็วของคงที่ต้องการ มาตรวัดความเร็ว (Tachometer) จะทำหน้าที่วัดความเร็วของของมอเตอร์ที่หมุนแล้วจะเปลี่ยนความเร็วของเป็นแรงดันไฟฟ้า ( $V_T$ ) ซึ่งจะถูกนำไปเปรียบเทียบกับ  $V_{ref}$  แล้วค่าความผิดพลาดที่เกิดขึ้นจะผ่านวงจรขยายความผิดพลาด (Error amplifier) ค่าที่ได้เป็นแรงดันที่ถูกส่งไปขับมอเตอร์

เมื่อต่อโหลดจะทำให้โหลดแรงบิดสูงกว่าแรงบิดมอเตอร์ ความเร็วของของมอเตอร์จึงลดลงจากค่าที่เกิดขึ้นขณะที่ไม่ได้ต่อ โหลดจะส่งผลให้มอเตอร์หมุนด้วยความเร็วของคงที่ต้องการ มาตรวัดความเร็ว (Tachometer) จะทำหน้าที่วัดความเร็วของของมอเตอร์ที่หมุนแล้วจะเปลี่ยนความเร็วของเป็นแรงดันไฟฟ้า ( $V_T$ ) ซึ่งจะถูกนำไปเปรียบเทียบกับ  $V_{ref}$  จะได้ค่าความผิดพลาดสูงขึ้น ส่งผลให้แรงดันที่ไปขับมอเตอร์มีค่าสูงขึ้น เพื่อเร่งความเร็วของของมอเตอร์ให้สูงขึ้นนั่นเอง เมื่อมอเตอร์หมุนเร็วขึ้น ค่า  $V_T$  ที่ได้จากมาตรวัดความเร็วจะเพิ่มขึ้นส่งผลให้ค่าความผิดพลาดลดลง ความเร็วของของมอเตอร์จึง

เพื่อนำค่าอัตราที่ลดลง จนกระทั่งค่าแรงบิดมอเตอร์มีค่าเท่ากับโหลดแรงบิด มอเตอร์จึงขับโหลด ด้วยความเร็วคงที่ ซึ่งถือว่ามอเตอร์ทำงานในสถานะอยู่ตัวอิกรถ



รูปที่ 2.5 รูปวงจรควบคุมความเร็วของมอเตอร์กระแสตรง

เมื่อลดโหลดจะทำให้โหลดแรงบิดน้อยกว่าแรงบิดมอเตอร์ ส่งผลให้เกิดการเร่ง มอเตอร์จึงหมุนเร็วขึ้นเกินค่าที่ต้องการ มาตรวัดความเร็วของจะส่งค่าแรงดัน  $V_T$  ไปเปรียบเทียบกับ  $V_{ref}$  จะได้ค่าความผิดพลาดเป็นค่าลบ ส่งผลให้แรงดันที่ไปขับมอเตอร์มีค่าน้อยลง เพื่อชดเชยความเร็วของมอเตอร์ให้ต่ำลงนั่นเอง เมื่อมอเตอร์หมุนช้าลง ความแตกต่างระหว่างค่า  $V_T$  ที่ได้จากการวัดความเร็วกับ  $V_{ref}$  จะลดลง จนกระทั่งค่าแรงบิดมอเตอร์มีค่าเท่ากับโหลดแรงบิด มอเตอร์จึงขับโหลด ด้วยความเร็วคงที่ ซึ่งถือว่ามอเตอร์ทำงานในสถานะอยู่ตัวอิกรถ

## บทที่ 3

### การสร้างวงจรการทำงาน

จากการศึกษาของและวิธีการควบคุมในบทที่ 2 ผู้จัดทำโครงการได้เลือกใช้วงจรควบคุมความเร็วรอบของมอเตอร์ที่ใช้การมอคุเลตความกว้างพัลส์ (Pulse Width Modulation, PWM) ร่วมกับวงจรป้อนกลับ ดังนี้ในบทนี้จะได้อธิบายกระบวนการสร้างวงจรทั้งสองขั้นตอนดังแสดงในหัวข้อต่อไป

#### 3.1 วงจรสร้างสัญญาณควบคุมด้วยการมอคุเลตความกว้างพัลส์

ในโครงการนี้วงจรควบคุมที่ทำงานด้วยการมอคุเลตความกว้างพัลส์จะใช้เพื่อควบคุมแรงดันไฟฟ้าที่ป้อนให้กับมอเตอร์เพื่อใช้ขับโคลคที่ความเร็วรอบที่ต้องการ

##### 3.1.1 ขั้นตอนการสร้างวงจร

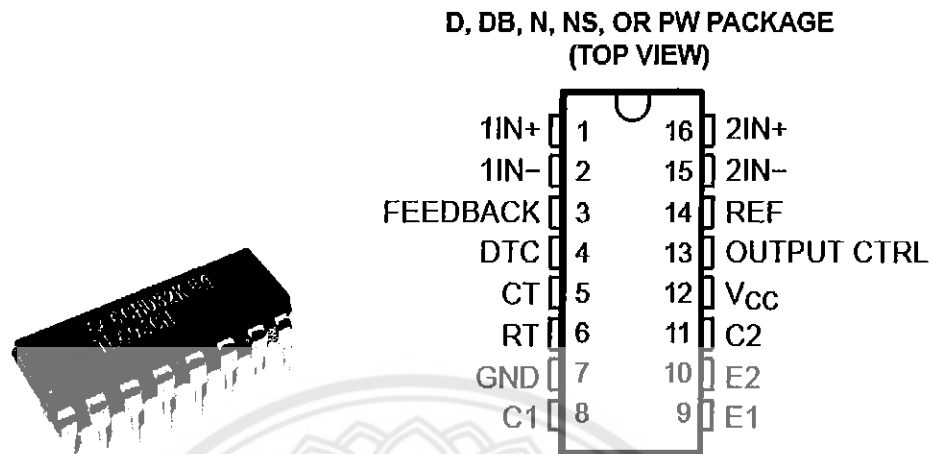
- ออกแบบวงจรสร้างสัญญาณควบคุมด้วยการมอคุเลตความกว้างพัลส์ โดยการศึกษาจากแหล่งข้อมูลต่างๆ และจัดซื้ออุปกรณ์
- ต่อวงจรตามแบบที่ได้ทำการศึกษาและออกแบบมา โดยการต่อวงจรเข้ากันแผ่นโปรโตบอร์ด (Protoboard)
- ใช้ออสซิลโลสโคป (Oscilloscope) วัดค่าสัญญาณควบคุมสวิตช์ และใช้มัลติมิเตอร์ (Multimeter) วัดค่าแรงดันด้านออก
- ศึกษาที่นักวิเคราะห์ควบคุมการทำงานของมอเตอร์
- ศึกษาและสร้างวงจรขั้นตอนสเฟต โดยใช้ไอซีหมายเลข TL494CN
- ต่อวงจรควบคุมการทำงานของมอเตอร์บนโปรโตบอร์ด และทดลองการทำงาน
- ทดสอบการทำงานของวงจร โดยวัดค่าแรงดันด้านออก และสังเกตว่ามีสัญญาณที่ได้จากใช้ออสซิลโลสโคป

##### 3.1.2 การเลือกใช้อุปกรณ์สำหรับสร้างวงจร

- วงจรสร้างสัญญาณควบคุมด้วยการมอคุเลตความกว้างพัลส์

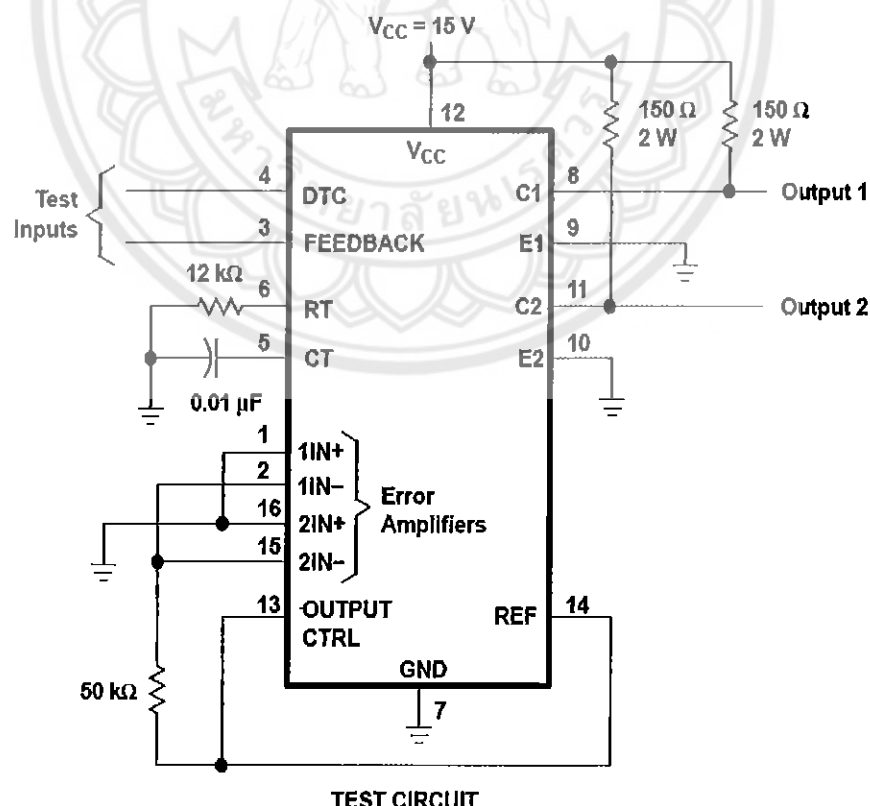
ในโครงการนี้ใช้ไอซีสำหรับรูปหมายเลข TL494CN (รูปที่ 3.1) ซึ่งใช้งานง่าย และสร้างความถี่สูงรวมทั้งรักษาระดับแรงดันคงที่ ภายในวงจรของไอซี TL494CN จะป้องกันไม่ให้เกิด

ສັງເກດພັບສູ່ທີ່ອອນມາຈາກແຕ່ລະວົງຈຽດຕ້ານອອກແລະສາມາດເລືອກຮູບປະແບນພລັພິ້ນຂອງສັງເກດທີ່  
ອອນມາຈາກຫາ 8 ແລະ 11



ຮູບທີ່ 3.1 ຮູບປະແບນພລັພິ້ນຂອງໄອຈີ່ TL494CN

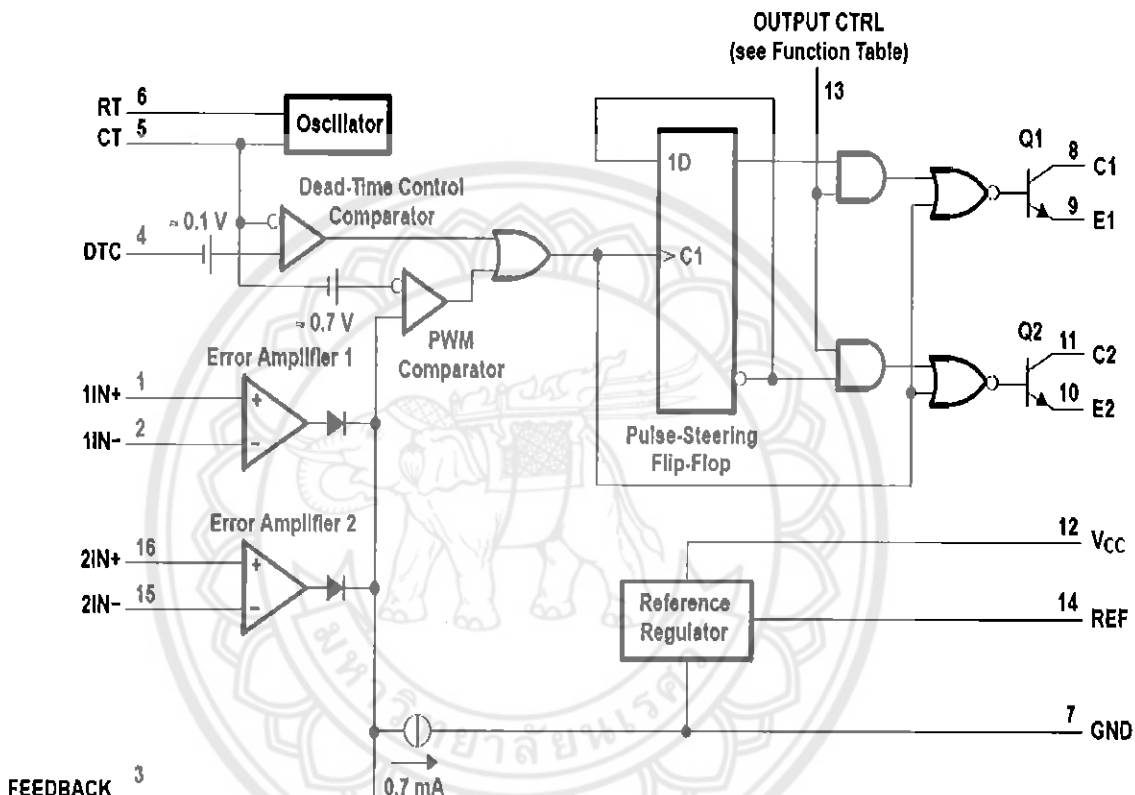
### PARAMETER MEASUREMENT INFORMATION



ຮູບທີ່ 3.2 ແຜນກາພຂອງຈຽດຕ້ານໃນ TL494CN

หลักการทำงานของ TL494CN แสดงได้ดังรูปที่ 3.2 โดยจะรับแรงดันด้านเข้าทางขาที่ 12 และรับค่าแรงดันอ้างอิงทางขาที่ 14 และมีการต่อสายดินออกทางขาที่ 7 ภายในไอซีจะมีวงจรการอุดเล็ตความกว้างพัลส์เพื่อรับสัญญาณต่าง ๆ มาประมวลผลแล้วสร้างเป็นสัญญาณพัลส์ก่อนที่จะส่งสัญญาณออกทางขาที่ 8 และ 11 เพื่อใช้ในการควบคุมมอเตอร์ รายละเอียดของ TL494CN สามารถอ่านเพิ่มได้จากภาคผนวก ก

#### FUNCTIONAL BLOCK DIAGRAM



รูปที่ 3.3 แผนภาพของวงจรภายใน TL494CN

จากรูปที่ 3.3 เป็นแผนภาพการทำงานของวงจรภายในไอซี TL494CN ซึ่งเมื่อรับสัญญาณป้อนกลับเข้ามาที่ขา 3 และรับสัญญาณจากตัวเก็บประจุไทน์นิ่ง (Timing capacitor) ซึ่งเป็นส่วนประกอบของออสซิลเลเตอร์เข้ามาที่ขา 5 เพื่อนำสัญญาณทั้งสองที่ได้รับไปเปรียบเทียบกันด้วยตัวเปรียบเทียบพีดับเบิลยูคอมปาร์เตอร์ (PWM comparator) จากนั้นส่งสัญญาณที่ได้ผ่านตัวออเกต (OR gate) ซึ่งจะใช้เป็นสัญญาณนาฬิกาเพื่อส่งผ่านไปยังตัวดีฟลิปฟลอลป์ (D Flip-Flop) ที่มีสัญญาณด้านขาเข้า 1 สัญญาณแต่จะมีสัญญาณด้านขาออก 2 สัญญาณแล้วของตัวดีฟลิปฟลอลป์จะทำงานสัมพันธ์กับสัญญาณนาฬิกาที่ป้อนเข้ามา หากไม่มีสัญญาณนาฬิกาที่ป้อนเข้ามาทริกจะไม่มีการเปลี่ยนแปลงใดๆ ทางสัญญาณด้านออก สัญญาณที่ได้จะส่งผ่านตัวแอนเกต (AND gate) และนอเกต (NOR gate) ไปยังสัญญาณด้านออก 2 ชุดคือขาที่ 8 กับ 9 และขาที่ 10 กับ 11 ซึ่งสัญญาณที่ออกจากขาที่ 8 และ 10 จะผ่านไปยังขาเกต (Gate) ของมอเตอร์ซึ่งทำหน้าที่เป็นสวิตช์ ในโครงงานนี้ได้เลือกใช้มอเตอร์

หมายเลข IRE510 ซึ่งทนกระแสได้มากและมีความเร็วสวิตชิ่ง (Switching speed) สูงในการปิดเปิดเพื่อส่งสัญญาณออกจากขาเดรน (Drain) ซึ่งใช้ขั้บມอเตอร์ต่อไป ราบรื่นอิedyดของนอสเฟตหมายเลข IRE510 สามารถดูได้จากภาคผนวก ๖

มร.

๕๔๖๙

๒๕๙

### 3.2 วงจรป้อนกลับ

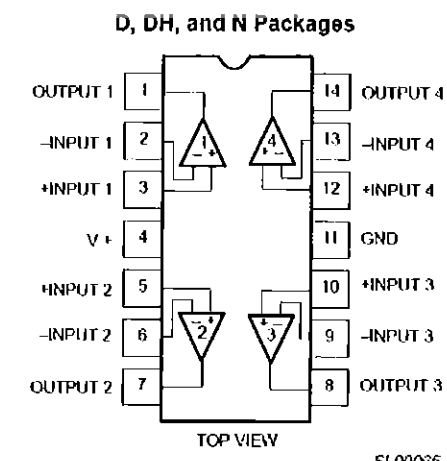
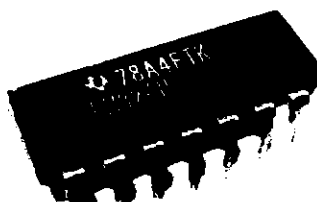
วงจรป้อนกลับจะรับสัญญาณจากมาตรฐานตัวความเร็วแล้วแปลงเป็นสัญญาณควบคุมเพื่อปรับความเร็วรอบของมอเตอร์ (ทั้งขณะไร้โหลดและมีโหลด) ให้กับหมานามุนด้วยความเร็วคงที่

#### 3.2.1 ขั้นตอนการสร้างวงจรป้อนกลับ

- ออกแบบวงจรป้อนกลับ โดยการศึกษาจากแหล่งข้อมูลต่าง ๆ และจัดซื้ออุปกรณ์
- ต่อวงจรตามแบบที่ได้ทำการศึกษาและออกแบบมาโดยการต่อวงจรเข้ากันแผ่นโลหะ
- นำวงจรที่ได้ต่อเข้ากับมอเตอร์และวงจรสร้างสัญญาณควบคุมด้วยการอุดต่อความถี่กว้างพัลส์
- ทดสอบการทำงานของวงจรโดยวัดแรงดันด้านออกจากการเก็ทโภ米เตอร์

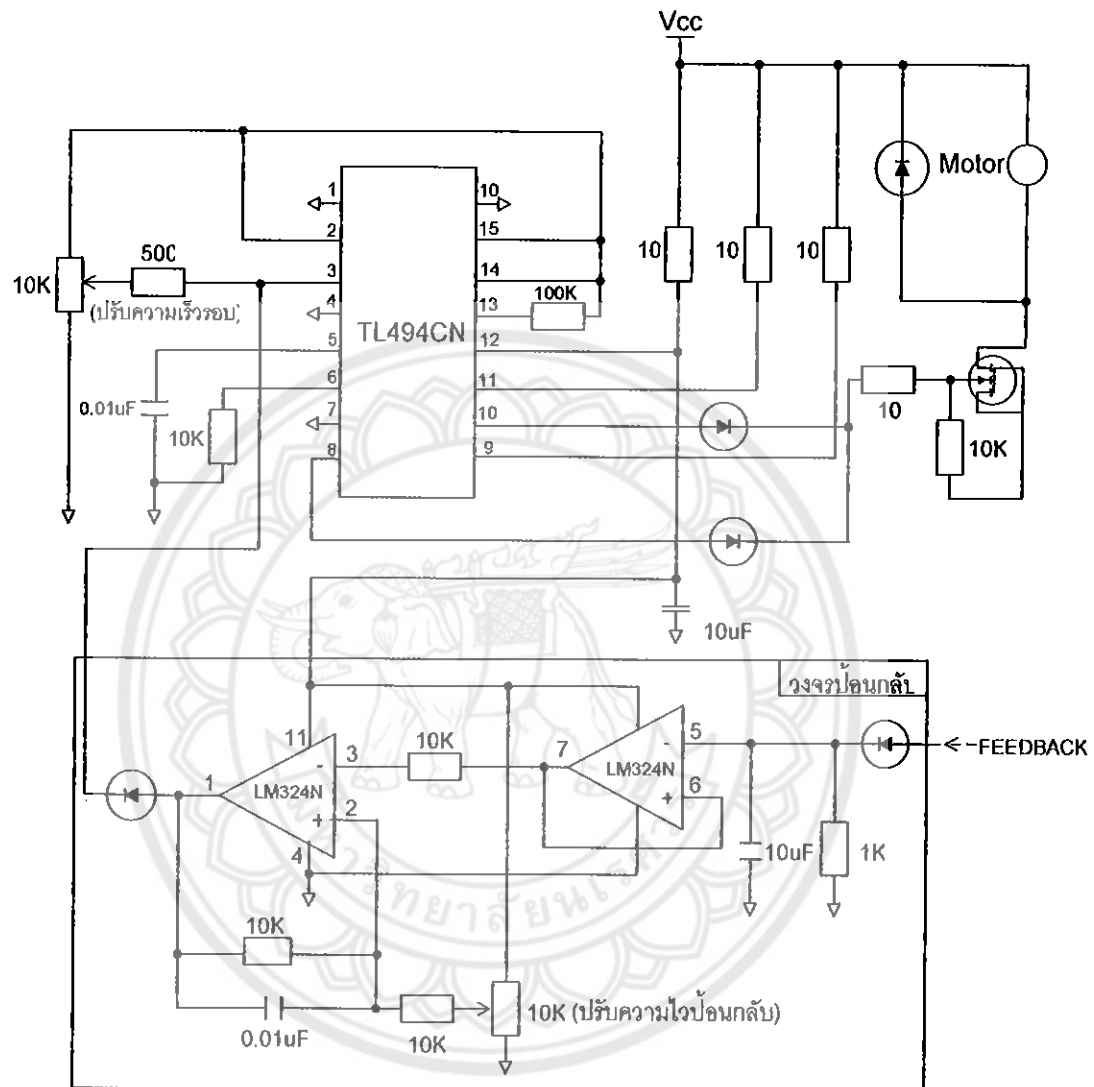
#### 3.2.2 การเลือกใช้อุปกรณ์ของวงจรป้อนกลับ

การสร้างวงจรป้อนกลับมีกระบวนการเช่นเดียวกับกรณีสร้างวงจรสร้างสัญญาณควบคุมซึ่งอธิบายไว้แล้วในหัวข้อที่ 3.1.1 และ 3.1.2 ดังนั้นในที่นี้จึงเลือกใช้ตัวเก็บประจุแบบเดียวกันและค่าเท่ากันกับกรณีของวงจรสร้างสัญญาณแรงดันควบคุมแต่ในวงจรป้อนกลับจะใช้ออปเอนปีโนไซด์หมายเลข LM324N ซึ่งใช้งานได้ง่าย โดยสามารถทำงานได้ทันทีหลังจากเราป้อนไฟบวกกับกราวน์ (Ground) รูปและข่าต่าง ๆ ของไอซี LM324N แสดงดังในรูปที่ 3.4



รูปที่ 3.4 รูปและข่าต่างๆของ LM324N

แผนภาพการเชื่อมต่อวงจรป้อนกลับ วงจรสร้างสัญญาณควบคุมด้วยการมอเตอร์ความกว้างพัลส์ และสวิตช์ รวมทั้งมอเตอร์ในโครงการนี้แสดงดังรูปที่ 3.5

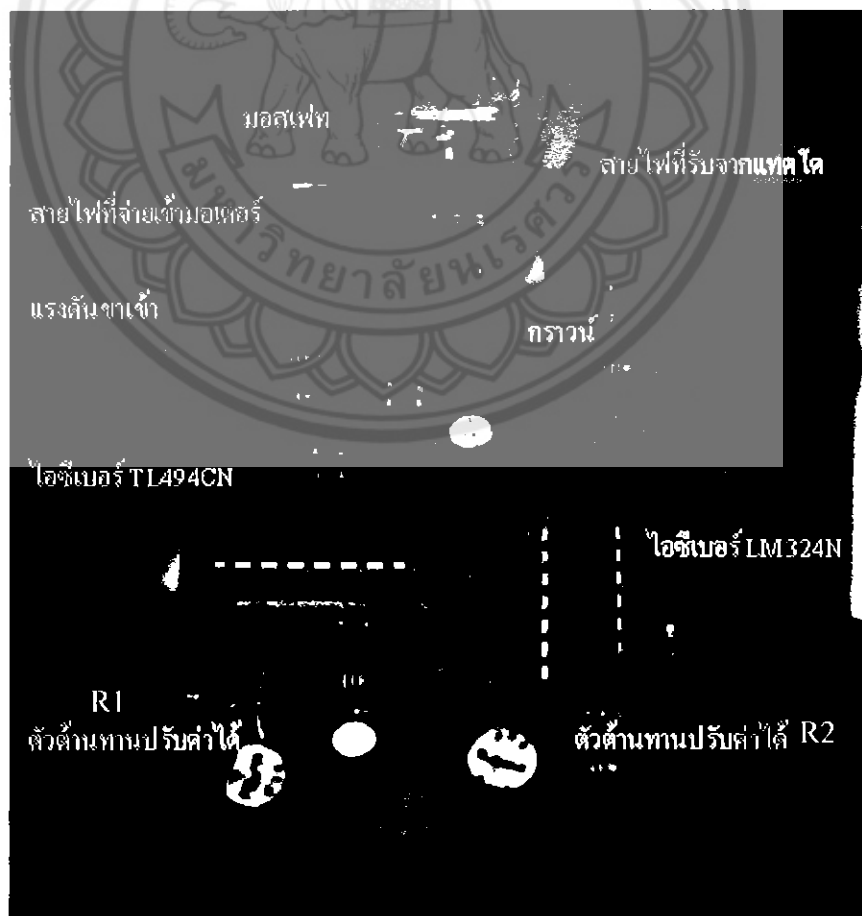


รูปที่ 3.5 แผนภาพการเชื่อมต่ออุปกรณ์ในวงจรทั้งหมด

จากแผนรูปที่ 3.5 เมื่อมีสัญญาณแรงดันที่รับมาจากตัวมาตรวัดความเร็วจะมาเข้าวงจรบีฟเฟอร์ (Buffer) ซึ่งวงจรบีฟเฟอร์นี้จะทำหน้าที่ป้องกันวงจรสองวงจร มีความต่างกันเรื่องกระแสและแรงดันที่ต้องการป้อนให้ทางสัญญาณด้านขาของอีกวงจรเพื่อให้เกิดการเปลี่ยนแปลงของแรงดันหรือกระแสทางด้านสัญญาณด้านออกของวงจรอีกภาคหนึ่ง แต่ถ้าวงจรทางด้านรับนั้นมีอินพิเดนซ์ด้านขาเข้า (Input impedance) ต่ำคือเส้นมีค่าความต้านทานในทางสัญญาณด้านขาเข้าต่ำ เมื่อป้อน

สัญญาณที่มีกระแสและแรงดันน้อยๆเข้าไปวงจรที่มีอินพิเดนซ์ต่ำกว่าสัญญาณอาจจะถูกลดทอนหายไปในทางภาคสัญญาณด้านขาเข้าได้ ดังนั้นแนวคิดและทฤษฎีในการออกแบบวงจรนี้จะต้องมีวงจรบัฟเฟอร์เพื่อทำหน้าที่ปรับความต่างของอินพิเดนซ์ของด้านเข้าและด้านออกของวงจรส่วนย่อขเพื่อให้เกิดการถ่ายข้อมูลของสัญญาณน้อยที่สุด ชิ้นวงจรบัฟเฟอร์นี้จะมีอัตราขยายเป็นหนึ่งก่อตัวคือแรงดันที่เข้ามาหนึ่นจะไม่มีการเปลี่ยนแปลงแรงดันขาเข้าจะเท่ากับแรงดันด้านออก เมื่อแรงดันนี้ได้ผ่านวงจรบัฟเฟอร์ออกมายังขา 7 แล้วจะผ่านเข้าไปในวงจรเปรียบเทียบแรงดัน เพื่อเปรียบเทียบแรงดันที่มาจากการอปเปอปีชา 7 กับแรงดันที่ได้ตั้งเอาไว้ตอนแรก ซึ่งแรงดันที่ปรับนั้นจะขึ้นอยู่กับความต้านทานปรับค่าได้ ซึ่งเมื่อปรับความต้านทานไว้ที่ค่าสูงสุดแรงดันตกคร่อมความต้านทานจะมากขึ้นทำให้เกิดการเปรียบเทียบแรงดันที่รับมาจากขา 7 ของอปเปอปีและแรงดันที่ตกคร่อมตัวต้านทานจะมีค่าเรื้อน้อยทำให้วงจรเปรียบเทียบมีอัตราขยายที่น้อย ในทางตรงกันข้ามเมื่อปรับค่าความต้านทานไว้ที่ค่าน้อยสุด แรงดันตกคร่อมความต้านทานก็จะมีน้อยเมื่อวงจรรับแรงดันจากอปเปอปีขาที่ 7 จากรางดันบัฟเฟอร์ก็จะทำให้เกิดการเปรียบเทียบแรงดันที่มีค่าความแตกต่างมากทำให้เกิดการขยายที่มีอัตราสูง เมื่อเปรียบเทียบแรงดันแล้วก็จะถูกส่งออกไปยังขาที่ 3 ของไอซี TL494CN

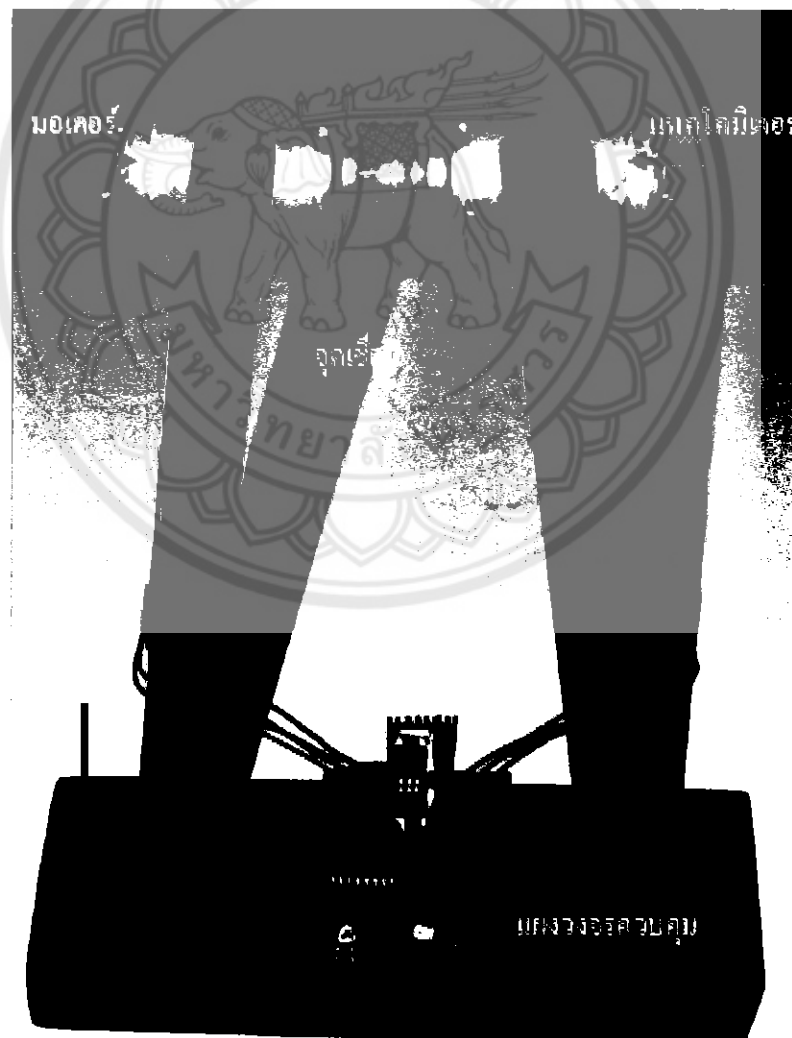
แผนวงจรและชิ้นงานที่สร้างขึ้นในโครงงานนี้แสดงในรูปที่ 3.6 ถึง 3.9



รูปที่ 3.6 แผนวงจรด้านหน้าของวงจร



รูปที่ 3.7 แมงวงจรด้านหลังของวงจร



รูปที่ 3.8 วงจรควบคุมที่ต่อกับมอเตอร์



รูปที่ 3.9 นอเตอร์ต่อ กับ โหลด

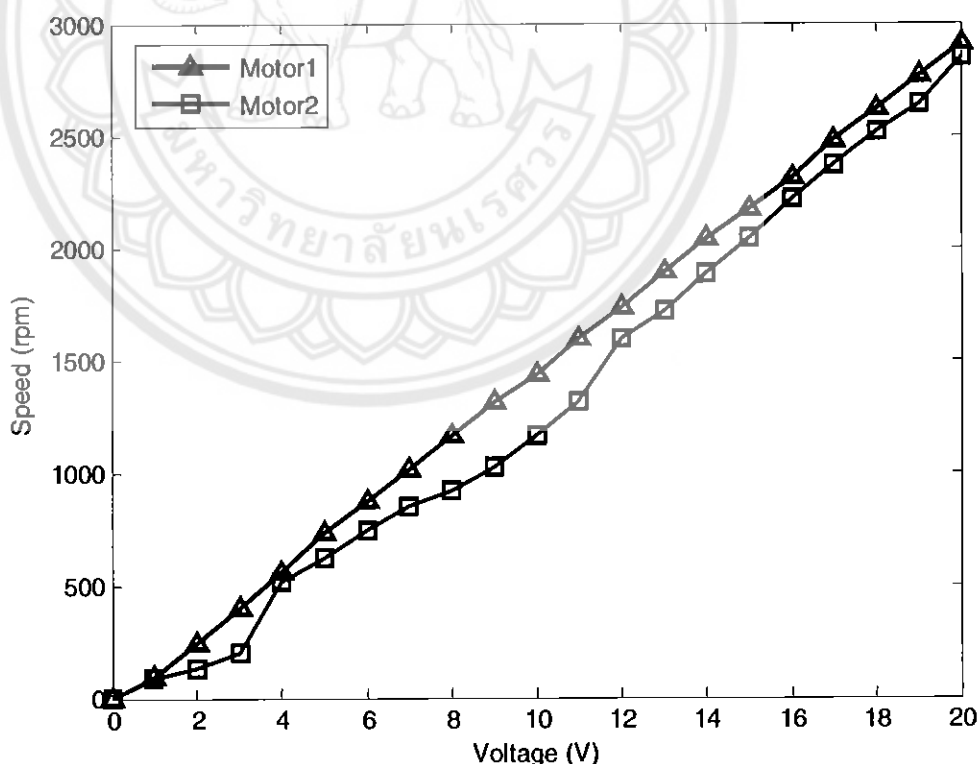
## บทที่ 4

### ผลการทดลอง

#### 4.1 ผลการทดลองเพื่อหาค่าคงที่ของมอเตอร์

เครื่องจักรกระแสตรงที่ผู้จัดทำโครงงานเลือกมาใช้นั้นประกอบด้วยแม่เหล็กถาวร (Permanent magnet) เพื่อสร้างสนามแม่เหล็กคงที่ ทำให้ลดความบุ่งยากในการควบคุม ในโครงงานจะใช้เครื่องจักรทดสอบตัวที่มีมาจากสายการผลิตเดิมกันและมีพิกัดเท่ากัน โดยจะกำหนดให้ตัวหนึ่งจะทำงานที่เป็นมอเตอร์เพื่อการทดสอบ ส่วนอีกด้วยจะทำงานที่เป็นเครื่องกำเนิดไฟฟ้าเพื่อใช้งานเป็นมาตรวัดความเร็ว โดยเพลาของเครื่องจักรกลทั้งสองตัวจะเชื่อมต่อกัน (Direct coupling)

การทดลองในขั้นแรกเริ่มจากการทดสอบเพื่อหาค่าคงที่ของมอเตอร์ในขณะที่หมุนอิสระ ปราศจากโหลดทั้งสองตัวเพื่อตรวจสอบว่ามอเตอร์ตัวใดเหมาะสมที่จะทำงานที่เป็นมาตรวัดความเร็ว โดยการวัดค่าแรงดันเทียบกับความเร็วของมอเตอร์แต่ละตัวแสดงในรูปที่ 4.1



รูปที่ 4.1 ค่าแรงดันเทียบกับความเร็วของมอเตอร์ของมอเตอร์แต่ละตัว

จากรูปที่ 4.1 จะเห็นว่าถึงแม้จะเป็นมอเตอร์ชนิดเดียวกันแต่กราฟที่แสดงออกมานั้นก็ทำให้เห็นถึงความแตกต่างของมอเตอร์ทั้งสองตัวนี้ ดังนั้นสมการความสัมพันธ์ระหว่างความเร็วรอบและแรงดันย้อนมีความแตกต่างกันด้วย

ถ้ากำหนดให้  $n$  คือ ความเร็วรอบ (rpm) และ  $V_i$  คือแรงดันที่ขับของมอเตอร์ (V)

สำหรับมอเตอร์ตัวที่หนึ่ง สมการความสัมพันธ์ระหว่างความเร็วรอบกับแรงดันที่ขับ คือ

$$n = 150 \cdot V_i - 26 \quad (4.1)$$

สำหรับมอเตอร์ตัวที่สอง สมการความสัมพันธ์ระหว่างความเร็วรอบกับแรงดันที่ขับ คือ

$$n = 150 \cdot V_i - 150 \quad (4.2)$$

จากสมการข้างต้นมอเตอร์ตัวที่หนึ่งจึงมีความหมายสมที่จะทำหน้าที่เป็นมาตรฐานที่ใช้เพื่อตรวจสอบว่าจากกราฟแสดงให้เห็นถึงความเป็นเส้นตรงซึ่งหมายความว่าทำหน้าที่เป็นมาตรฐานที่ใช้เพื่อตรวจสอบว่าจากกราฟแสดงให้เป็นแรงดัน

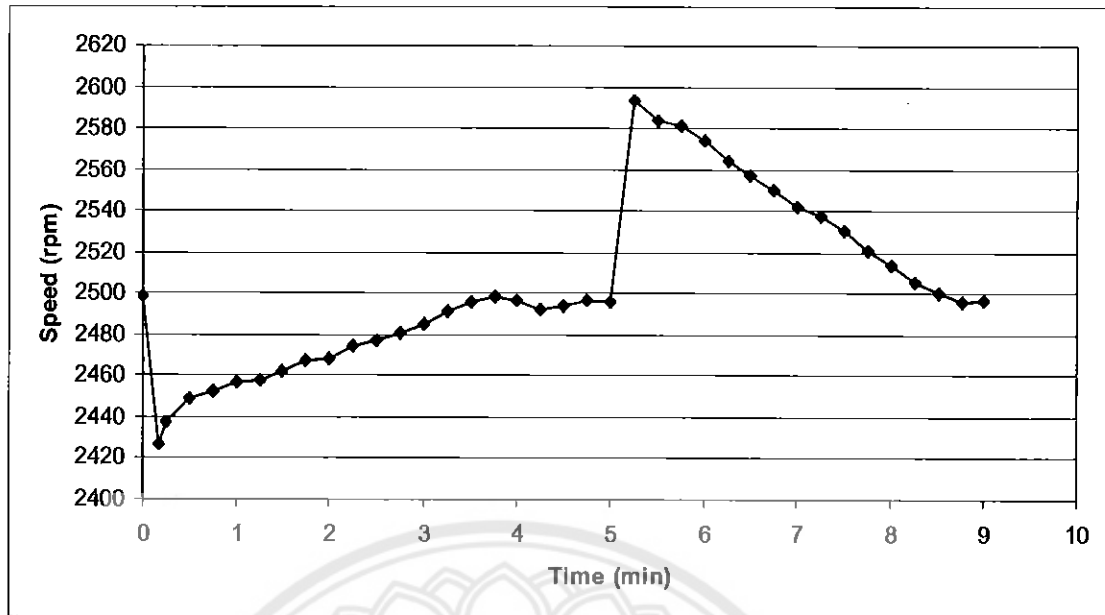
การทดลองในขั้นต่อไปเป็นการทดสอบวงจรที่ได้กล่าวมาจากบทที่ 3

## 4.2 ผลการทดลองของวงจรควบคุมมอเตอร์โดยไม่มีข้อจำกัดโหลด

ในการทดลองในหัวข้อที่ 4.2 จะแบ่งการทดลองออกเป็น 3 การทดลองซึ่งทุกกรณีนั้นใช้โหลดขนาด 125 กรัม และรับแรงดันจากแหล่งกำเนิดกระแสตรง 20 V เท่ากันทั้งหมด

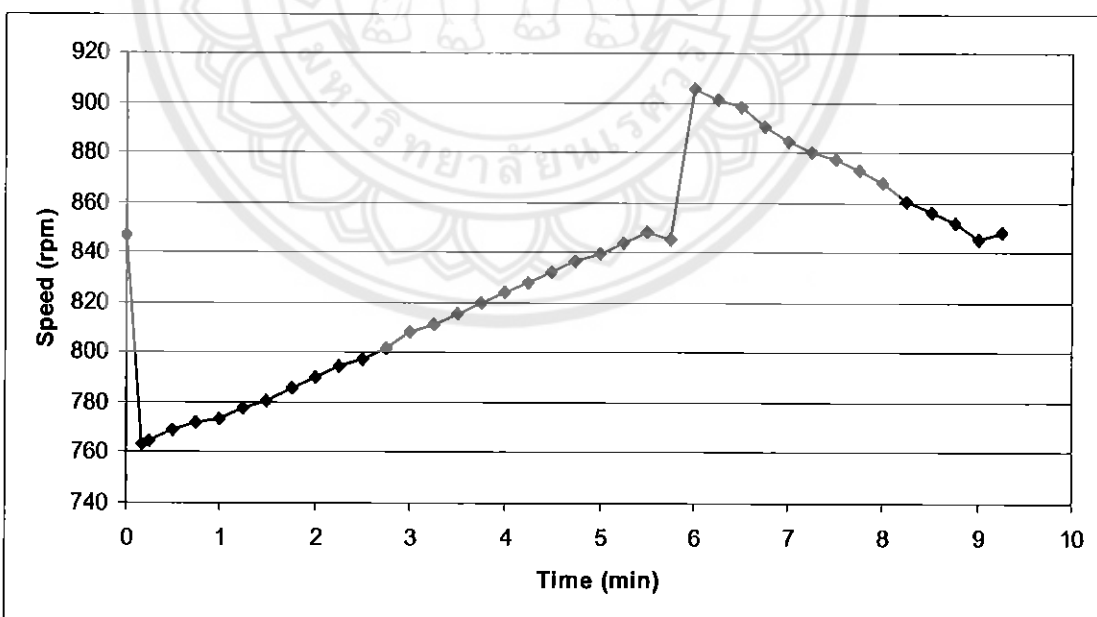
กำหนดให้ค่า  $R_1$  คือค่าความต้านทานปรับค่าได้จากวงจร TL494CN และค่า  $R_2$  คือค่าความต้านทานปรับค่าได้จากวงจร LM324N

การทดลองที่ 1 เริ่มจากการปรับ  $R_1$  โดยปรับไว้ค่าสูงสุดและ  $R_2$  ไว้ที่ค่าต่ำสุดแล้วจึงนำแรงดันไฟฟ้ากระแสตรง 20 V เข้าไปในวงจรและวัดความเร็วรอบด้านนอกที่ขับของมาตรฐานที่ใช้ดังแสดงดังกราฟในรูปที่ 4.2 เมื่อก่อนใส่โหลดความเร็วรอบวัดจากมาตรฐานที่ความเร็วคือ 2498.5 rpm หลังจากนั้นใส่โหลดขนาด 125 กรัม จึงทำให้ค่าความเร็วรอบซึ่งวัดจากมาตรฐานลดลงไปอยู่ที่ 2426.5 rpm หลังจากนั้นทุกๆ 0.25 นาที จะทำการวัดค่าความเร็วรอบซึ่งพบว่าความเร็วรอบของมาตรฐานนั้นเพิ่มขึ้นทุกๆ 0.25 นาที หลังจากนั้นประมาณ 3.50 นาที มอเตอร์เริ่มหมุนด้วยความเร็วรอบคงที่และเท่ากับความเร็วรอบขณะใส่โหลด หลังจากนั้นจึงทำการปลดโหลดออกจากทำให้ความเร็วรอบที่วัดจากมาตรฐานลดลงเพิ่มสูงจนถึงค่า 2638 rpm ซึ่งสูงกว่าความเร็วรอบขณะใส่โหลดหลังจากนั้นทุกๆ 0.25 นาที จะพบว่ามอเตอร์เริ่มหมุนด้วยความเร็วรอบที่ลดลงและคงที่เท่ากับความเร็วเริ่มแรกก่อนใส่โหลดคือ 2498.5 rpm ซึ่งให้เวลาในการที่ทำงานทั้งหมดเป็นเวลา 08.75 นาที ผลการทดลองแสดงดังกราฟในรูปที่ 4.2



รูปที่ 4.2 การเปลี่ยนแปลงความเร็วของมอเตอร์ในการทดลองที่ 1

การทดลองที่ 2 เริ่มจากการปรับค่า R1 โดยปรับไว้ค่าต่ำสุดและปรับค่า R2 ไว้ที่ค่าสูงสุด แล้วจ่ายแรงดันกระแสตรงขนาด 20 V ต่อโหลดขนาด 125 กรัม และวัดความเร็วได้ผลการทดลองแสดงดังกราฟในรูปที่ 4.3

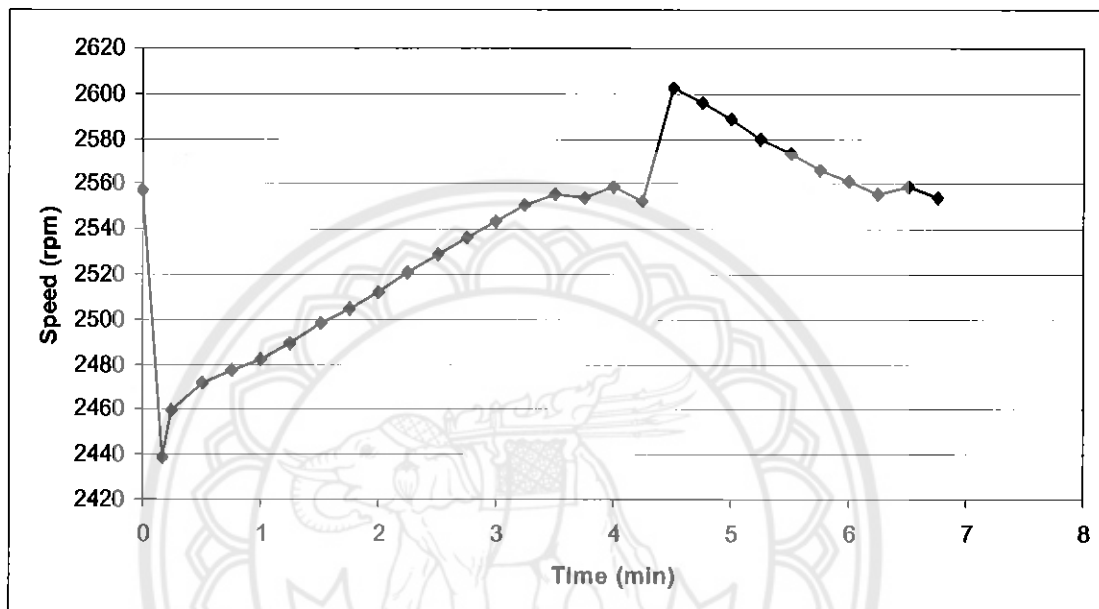


รูปที่ 4.3 การเปลี่ยนแปลงความเร็วของมอเตอร์ในการทดลองที่ 2

จากราฟในรูปที่ 4.3 ขณะไม่มีโหลด แรงดันที่วัดได้จากข้อมูลอ้างอิงมอเตอร์มีค่า 8.46 V และความเร็วรอบของมอเตอร์มีค่า 847 rpm หลังจากใส่โหลดขนาด 125 กรัม ทำให้ความเร็วลดลงเหลือ 763 rpm หลังจากนั้น 5.75 นาทีมอเตอร์จึงเริ่มหมุนด้วยความเร็วรอบเท่าความเร็วก่อนใส่โหลด

คือ 847 rpm หลังจากนั้นปลดโหลดออกทำให้ความเร็วของมอเตอร์เพิ่มขึ้นเป็น 905.5 rpm หลังจากนั้น 3.25 นาที มอเตอร์จึงเริ่มหมุนด้วยความเร็วเท่ากับความเร็วเริ่มแรกก่อนใส่โหลดซึ่งมีค่าความเร็วเท่ากับ 847 rpm ใช้เวลาในการทำงานทั้งหมด 8.60 นาที

การทดลองที่ 3 เริ่มจากการปรับค่า R1 และ R2 ไว้ที่ค่าสูงสุดแล้วจ่ายแรงดันกระแสตรงขนาด 20 V เข้าไปสู่วงจรและใช้บานด์โหลด 125 กรัม ผลการทดลองแสดงดังกราฟในรูปที่ 4.4

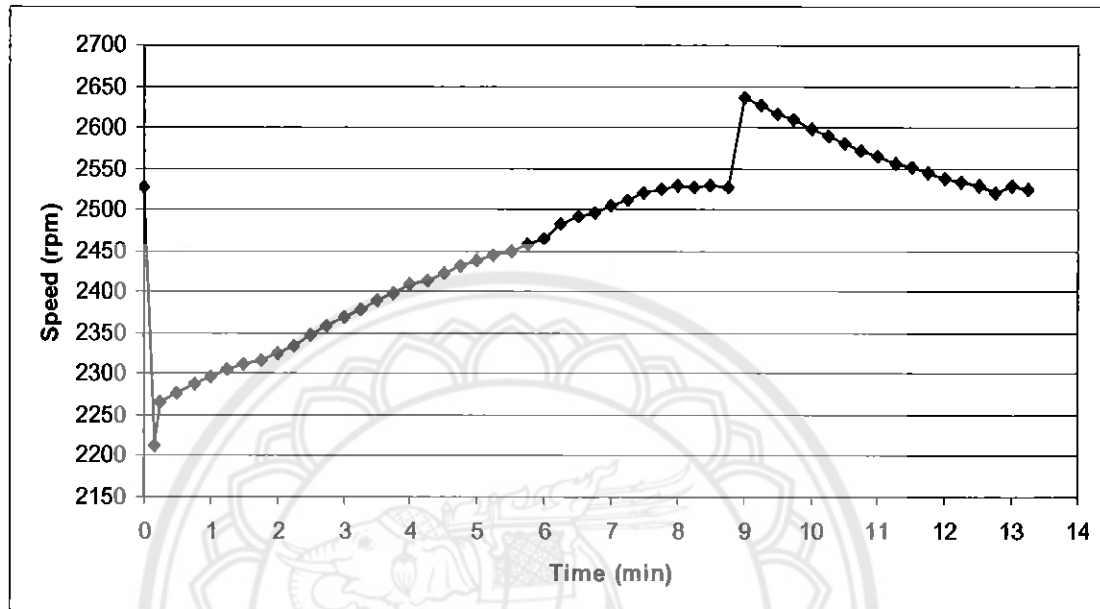


รูปที่ 4.4 การเปลี่ยนแปลงความเร็วของมอเตอร์ในการทดลองที่ 3

จากราฟในรูปที่ 4.4 เมื่อจ่ายแรงดันกระแสตรงขนาด 20 V เข้าไปในวงจร วัดค่าแรงดันขาเข้าของมอเตอร์ได้ 20.26 V วัดความเร็วรอบได้ 2557 rpm หลังจากนั้นใส่โหลดขนาด 125 กรัม พบร่วมกับความเร็วรอบต่ำลงเหลือ 2438.5 rpm หลังจากนั้นวัดค่าความเร็วรอบทุกๆ 0.25 นาที พบร่วมกับความเร็วรอบเพิ่มขึ้นอย่างต่อเนื่องจนมีค่าคงที่ที่ความเร็วรอบ 2557 rpm โดยใช้เวลา 3.50 นาที หลังจากนั้นทำการปลดโหลดออกทำให้ความเร็วรอบเพิ่มขึ้นเป็น 2602 rpm หลังจากนั้นทำการวัดความเร็วรอบทุกๆ 0.25 นาที พบร่วมกับความเร็วรอบลดลงอย่างต่อเนื่องจนมีค่าคงที่เท่ากับความเร็วรอบขณะไม่มีโหลดซึ่งมีค่าเท่ากับ 2557 rpm โดยใช้เวลาทำงานทั้งหมด 5.50 นาที

จากการทดลองทั้ง 3 กรณีพบว่าการปรับความต้านทานของ R1 และ R2 ให้มีค่าสูงสุดทำให้การปรับความเร็วรอบใช้เวลาที่น้อยที่สุด ทั้งนี้เพื่อการปรับค่าตัวต้านทานปรับค่าได้ของทั้งสองวงจรมีผลต่อการเพิ่มและลดแรงดันแรงดันไฟฟ้าของวงจร ซึ่งส่งผลถึงความเร็วรอบของมอเตอร์ด้วยตั้งนั้น การปรับตัวต้านทานปรับค่าได้ทั้งสองค่าจึงเป็นวิธีที่ดีที่สุดในการทำงานแบบป้อนกลับเพื่อใช้เวลาในการทำงานที่น้อยกว่ากรณีที่ 1 และ 2

การทดลองที่ 4 เป็นการทดลองเพื่อทดสอบว่าถ้ามีการเพิ่มโหลด วงจรควบคุมจะสามารถรักษาความเร็วของคงที่ได้ตามหลักการที่กล่าวไว้ในบทที่ 2 หรือไม่ โดยทำการเพิ่มโหลดให้มีขนาด 250 กรัม และป้อนแรงดัน 20 V และวัดความเร็วของได้ 2527 rpm โดยปรับ R1 และ R2 ไว้ที่ค่าสูงสุดจะได้กราฟดังแสดงต่อไปนี้



รูปที่ 4.5 การเปลี่ยนแปลงความเร็วของมอเตอร์ในการทดลองที่ 4

จากราฟในรูปที่ 4.5 จะพบว่าวงจรควบคุมมอเตอร์สามารถทำงานได้แม้จะมีขนาดโหลดที่มากขึ้นกว่าโหลดเดิมและให้ผลออกมาระหว่างน้ำหนักตัวกับการทดลองทั้ง 3 กรณี แต่ที่แตกต่างกันคือระยะเวลาที่วงจรควบคุมใช้เพื่อรักษาความเร็วของคงที่นั้นคือ การทดลองที่ 4 นี้ได้ทำการเพิ่มน้ำหนักของโหลดเป็น 2 เท่าของการทดลองในกรณีที่ 1 ถึง 3 ทำให้ใช้เวลาในการป้อนกลับของสัญญาณนิ่งมากขึ้น แต่อย่างไรก็ตามการทำงานของมอเตอร์ชนิดนี้สามารถขับโหลดได้ไม่เกิน 1 กิโลกรัม นิ่งนานนั้นมอเตอร์อาจเสียหายได้ การบันทึกผลการทดลองทั้ง 4 กรณีแสดงในภาคผนวก ๙

## บทที่ 5

### สรุปผลการทดลองและข้อเสนอแนะ

ในบทนี้จะเป็นการสรุปผลที่ได้จากการทดลองในโครงการ พร้อมเสนอแนะแนวทางในการนำโครงการนี้ไปพัฒนาให้มีประสิทธิภาพมากยิ่งขึ้นต่อไป

#### 5.1 สรุปผลการทดลอง

วงจรควบคุมที่สร้างขึ้นในโครงการนี้สามารถรักษาความเร็วรอบของมอเตอร์ให้คงที่ตามวัตถุประสงค์ที่ตั้งไว้ จากผลการทดลองในบทที่ 4 จะพบว่าวงจรป้อนกลับสามารถทำงานได้ตามหลักการที่ได้อธิบายไว้ในหัวข้อที่ 2.4 การทำงานของวงจรป้อนกลับนั้นสามารถทำงานให้เห็นผลของการเปลี่ยนแปลงได้โดยการปรับค่าตัวด้านท่านปรับค่าได้ ในการปรับค่าตัวด้านท่านปรับค่าได้ในแต่ละค่านั้นย่อมส่งผลต่อวงจรป้อนกลับที่มีลักษณะแตกต่างกันไปซึ่งแสดงไว้ในบทที่ 4 ซึ่งการปรับค่าตัวด้านท่านปรับค่าได้โดยการปรับค่าให้มากที่สุดนั้นจะส่งผลในการตอบสนองที่ไวกว่าการปรับในกรณีต่างๆ แต่ถึงอย่างไรก็ตาม ผลในการตอบสนองนั้นก็มีข้อจำกัดอยู่คือผลการตอบสนองที่ได้นั้นจะส่งผลไวหรือช้านั้นมาของโหลดที่ใช้ก็เป็นตัวแปรสำคัญที่จะกำหนดเวลาในการที่จะทำให้มอเตอร์หมุนด้วยความเร็วรอบที่คงที่ด้วย ซึ่งถ้าใช้โหลดที่มีขนาดเล็กผลการตอบสนองในวงจรป้อนกลับก็จะส่งผลให้เร็วและเห็นการเปลี่ยนแปลงของแรงดันที่ไวกว่าแต่ถ้าใช้โหลดที่มีขนาดมากความไวในการตอบสนองของวงจรป้อนกลับก็ช้าตามขนาดของโหลด อย่างไรก็ตามถ้าใช้โหลดที่มีขนาดมากเกิน กว่าพิกัดของมอเตอร์ก็จะทำให้มอเตอร์เกิดความเสียหายได้ ซึ่งมอเตอร์ที่ใช้ในการทดลองนี้เป็นมอเตอร์กระแสตรงขนาดพิกัดแรงดัน 24 V กระแส 1.5 A ซึ่งสามารถดูรายละเอียดของมอเตอร์อย่างละเอียดได้ที่ภาคผนวก ง

#### 5.2 ปัญหาและแนวทางแก้ไข

ก) การสั่นและการแกว่งของโหลดขณะมอเตอร์ทำงาน จากการสั่นของโหลดนั้นย่อมส่งผลต่อการตอบสนองของวงจรป้อนกลับกล่าวคือในการสั่นของโหลดนั้นจะส่งผลถึงความผิดที่ของมอเตอร์ขณะหมุนจึงทำให้ผลการตอบสนองมีค่าไม่สม่ำเสมอการแก้ไขควรใช้สายพานที่ใช้คล้องมอเตอร์เพื่อเพิ่มความผิดให้มีขนาดที่สั้นลงเพื่อลดการแกว่งของมอเตอร์และลดขนาดของโหลดให้มีขนาดที่เล็กลงแต่น้ำหนักที่ใช้ควรminน้ำหนักเท่าเดิม

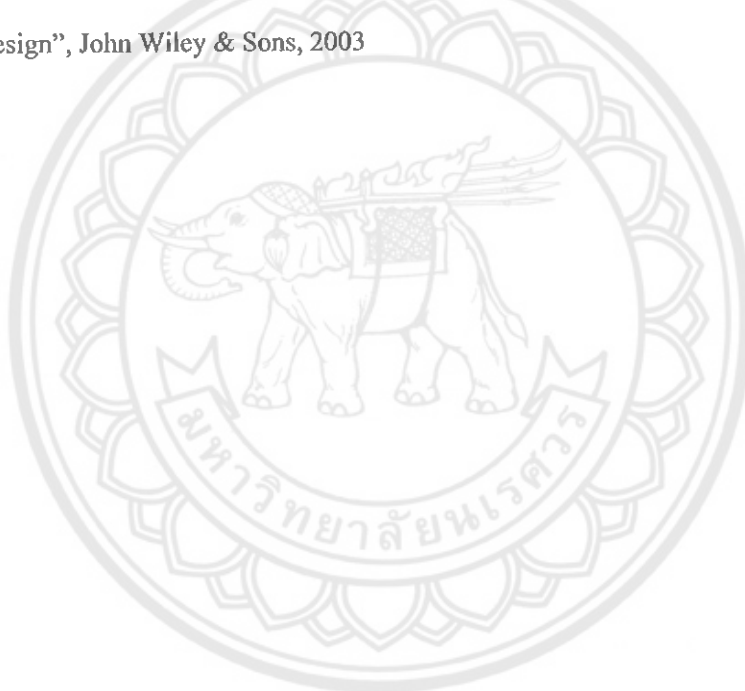
ข) การหมุนที่อิสระของมอเตอร์กับขนาดความเร็วตรงที่จุดเรื่อนต่อในกรณีที่ขับโหลดนานๆ ทำให้ค่าความเร็วรอบที่ได้นั้นมีขนาดลดลงและไม่สามารถทำให้ความเร็วรอบมีค่าเท่ากัน

ความเร็วของที่ต้องการได้ การแก้ไขควรทำการเชื่อมจุดต่อระหว่างมอเตอร์กับมาตรฐานตรวจสอบความเร็วให้มีความนิ่งและแข็งแรง แต่การเชื่อมต้องทำให้แกนเพลาของมอเตอร์และมาตรฐานตรวจสอบความเร็วนี้ ตรงกัน เพราะถ้าการเชื่อมจุดต่อระหว่างมอเตอร์กับมาตรฐานตรวจสอบความเร็วไม่ตรงกันแล้วจะทำให้การหมุนของมอเตอร์และมาตรฐานตรวจสอบความเร็วต่างกัน เชื่อมเกิดความผิด ซึ่งจะส่งผลถึงค่าความเร็วของด้วย



## เอกสารอ้างอิง

- [1] ใชยชัย หินเกิด “เครื่องจักรกลไฟฟ้า 1”, บริษัทประชาชน, กรุงเทพฯ, 2537
- [2] ดร.วิริยะ พิเชฐฐ์จำเริญ “เครื่องกลไฟฟ้า 1”, บริษัทเอ็น-เอชการพิมพ์, กรุงเทพฯ, 2535
- [3] P. F. Ryff “Electric Machinery”, Prentice Hall International, Inc., 1994
- [4] ดร.ปัญญา ขอดโยวาท “เครื่องกลไฟฟ้ากระแสตรง 1”, ศูนย์ตีอสเตวนกรุงเทพ, กรุงเทพฯ, 2546
- [5] ผศ.ศุภชัย สรินทร์วงศ์ “เครื่องกลไฟฟ้า 1 ตอน 2 ”, บริษัทประชาชน, กรุงเทพฯ, 2538
- [6] N. Mohan, T. M. Undeland and W. P. Robbins “Power Electronics: converters, applications, and design”, John Wiley & Sons, 2003



ภาคผนวก ก

รายละเอียดของไอซี TL494CN

มหาวิทยาลัยนเรศวร



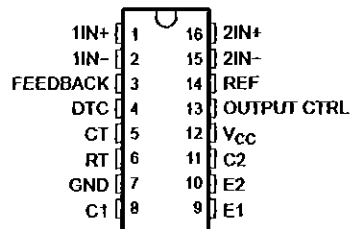
**TL494**  
**PULSE-WIDTH-MODULATION CONTROL CIRCUITS**

SLVS074E - JANUARY 1983 - REVISED FEBRUARY 2005

**FEATURES**

- Complete PWM Power-Control Circuitry
- Uncommitted Outputs for 200-mA Sink or Source Current
- Output Control Selects Single-Ended or Push-Pull Operation
- Internal Circuitry Prohibits Double Pulse at Either Output
- Variable Dead Time Provides Control Over Total Range
- Internal Regulator Provides a Stable 5-V Reference Supply With 5% Tolerance
- Circuit Architecture Allows Easy Synchronization

D, DB, N, NS, OR PW PACKAGE  
(TOP VIEW)



**DESCRIPTION**

The TL494 incorporates all the functions required in the construction of a pulse-width-modulation (PWM) control circuit on a single chip. Designed primarily for power-supply control, this device offers the flexibility to tailor the power-supply control circuitry to a specific application.

The TL494 contains two error amplifiers, an on-chip adjustable oscillator, a dead-time control (DTC) comparator, a pulse-steering control flip-flop, a 5-V, 5%-precision regulator, and output-control circuits.

The error amplifiers exhibit a common-mode voltage range from -0.3 V to  $V_{CC} - 2$  V. The dead-time control comparator has a fixed offset that provides approximately 5% dead time. The on-chip oscillator can be bypassed by terminating RT to the reference output and providing a sawtooth input to CT, or it can drive the common circuits in synchronous multiple-rail power supplies.

The uncommitted output transistors provide either common-emitter or emitter-follower output capability. The TL494 provides for push-pull or single-ended output operation, which can be selected through the output-control function. The architecture of this device prohibits the possibility of either output being pulsed twice during push-pull operation.

The TL494C is characterized for operation from 0°C to 70°C. The TL494I is characterized for operation from -40°C to 85°C.

**AVAILABLE OPTIONS**

$T_A$	PACKAGED DEVICES <sup>(1)</sup>				
	SMALL OUTLINE (D)	PLASTIC DIP (N)	SMALL OUTLINE (NS)	SHRINK SMALL OUTLINE (DB)	THIN SHRINK SMALL OUTLINE (PW)
0°C to 70°C	TL494CD	TL494CN	TL494CNS	TL494CDB	TL494CPW
-40°C to 85°C	TL494ID	TL494IN	—	—	—

(1) The D, DB, NS, and PW packages are available tape and reeled. Add the suffix R to device type (e.g., TL494CDR).



Please be aware that an important notice concerning availability, standard warranty, and use in critical applications of Texas Instruments semiconductor products and disclaimers thereto appears at the end of this data sheet.

PRODUCTION DATA information is current as of publication date.  
Products conform to specifications per the terms of the Texas Instruments standard warranty. Production processing does not necessarily include testing of all parameters.

Copyright © 1983–2005, Texas Instruments Incorporated

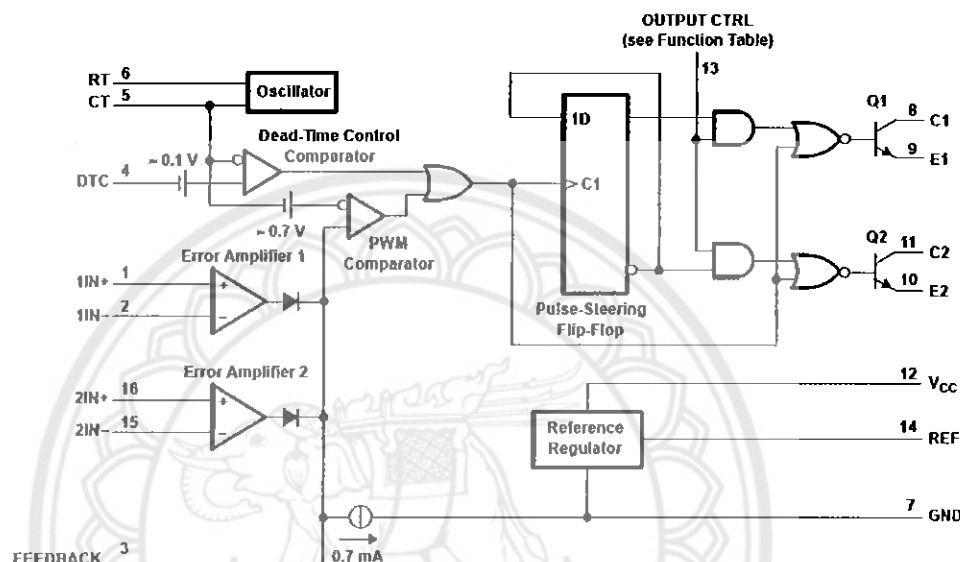
**TL494**  
**PULSE-WIDTH-MODULATION CONTROL CIRCUITS**  
 SLV5074E—JANUARY 1983—REVISED FEBRUARY 2005

 **TEXAS  
INSTRUMENTS**  
[www.ti.com](http://www.ti.com)

FUNCTION TABLE

INPUT TO OUTPUT CTRL.	OUTPUT FUNCTION
$V_I = GND$	Single-ended or parallel output
$V_I = V_{ref}$	Normal push-pull operation

FUNCTIONAL BLOCK DIAGRAM




**TL494**  
**PULSE-WIDTH-MODULATION CONTROL CIRCUITS**  
 SLVS074E—JANUARY 1983—REVISED FEBRUARY 2005
**Absolute Maximum Ratings<sup>(1)</sup>**

over operating free-air temperature range (unless otherwise noted)

		MIN	MAX	UNIT
$V_{cc}$	Supply voltage <sup>(2)</sup>		41	V
$V_i$	Amplifier input voltage		$V_{cc} + 0.3$	V
$V_o$	Collector output voltage		41	V
$I_o$	Collector output current		250	mA
$\theta_{JA}$	Package thermal impedance <sup>(3)(4)</sup>	D package	73	°C/W
		DB package	82	
		N package	67	
		NS package	64	
		PW package	108	
Lead temperature 1.6 mm (1/16 inch) from case for 10 seconds			260	°C
$T_{stg}$	Storage temperature range	-65	150	°C

- (1) Stresses beyond those listed under "absolute maximum ratings" may cause permanent damage to the device. These are stress ratings only, and functional operation of the device at these or any other conditions beyond those indicated under "recommended operating conditions" is not implied. Exposure to absolute-maximum-rated conditions for extended periods may affect device reliability.
- (2) All voltages are with respect to the network ground terminal.
- (3) Maximum power dissipation is a function of  $T_j$ (max),  $\theta_{JA}$ , and  $T_A$ . The maximum allowable power dissipation at any allowable ambient temperature is  $P_D = (T_j(max) - T_A)\theta_{JA}$ . Operating at the absolute maximum  $T_j$  of 150°C can affect reliability.
- (4) The package thermal impedance is calculated in accordance with JESD 51-7.

**Recommended Operating Conditions**

		MIN	MAX	UNIT
$V_{cc}$	Supply voltage	7	40	V
$V_i$	Amplifier input voltage	-0.3	$V_{cc} - 2$	V
$V_o$	Collector output voltage		40	V
Collector output current (each transistor)			200	mA
Current into feedback terminal			0.3	mA
$f_{osc}$	Oscillator frequency	1	300	kHz
$C_T$	Timing capacitor	0.47	10000	nF
$R_T$	Timing resistor	1.8	500	kΩ
$T_A$	Operating free-air temperature	TL494C TL494I	0 -40	70 85 °C

**TL494**  
**PULSE-WIDTH-MODULATION CONTROL CIRCUITS**

SLVS074E-JANUARY 1983-REVISED FEBRUARY 2005

**Electrical Characteristics**over recommended operating free-air temperature range,  $V_{CC} = 15 \text{ V}$ ,  $f = 10 \text{ kHz}$  (unless otherwise noted)**Reference Section**

PARAMETER	TEST CONDITIONS <sup>(1)</sup>	TL494C, TL494I			UNIT
		MIN	TYP <sup>(2)</sup>	MAX	
Output voltage (REF)	$I_0 = 1 \text{ mA}$	4.75	5	5.25	V
Input regulation	$V_{CC} = 7 \text{ V}$ to $40 \text{ V}$		2	25	mV
Output regulation	$I_0 = 1 \text{ mA}$ to $10 \text{ mA}$		1	15	mV
Output voltage change with temperature	$\Delta T_A = \text{MIN to MAX}$		2	10	mV/V
Short-circuit output current <sup>(3)</sup>	REF = 0 V		25		mA

(1) For conditions shown as MIN or MAX, use the appropriate value specified under recommended operating conditions.

(2) All typical values, except for parameter changes with temperature, are at  $T_A = 25^\circ\text{C}$ .

(3) Duration of short circuit should not exceed one second.

**Oscillator Section** $C_T = 0.01 \mu\text{F}$ ,  $R_T = 12 \text{ k}\Omega$  (see Figure 1)

PARAMETER	TEST CONDITIONS <sup>(1)</sup>	TL494C, TL494I			UNIT
		MIN	TYP <sup>(2)</sup>	MAX	
Frequency			10		kHz
Standard deviation of frequency <sup>(3)</sup>	All values of $V_{CC}$ , $C_T$ , $R_T$ , and $T_A$ constant		100		Hz/kHz
Frequency change with voltage	$V_{CC} = 7 \text{ V}$ to $40 \text{ V}$ , $T_A = 25^\circ\text{C}$		1		Hz/kHz
Frequency change with temperature <sup>(4)</sup>	$\Delta T_A = \text{MIN to MAX}$		10		Hz/kHz

(1) For conditions shown as MIN or MAX, use the appropriate value specified under recommended operating conditions.

(2) All typical values, except for parameter changes with temperature, are at  $T_A = 25^\circ\text{C}$ .

(3) Standard deviation is a measure of the statistical distribution about the mean as derived from the formula:

$$\sigma = \sqrt{\frac{\sum_{n=1}^N (x_n - \bar{x})^2}{N - 1}}$$

(4) Temperature coefficient of timing capacitor and timing resistor are not taken into account.

**Error-Amplifier Section**

See Figure 2

PARAMETER	TEST CONDITIONS	TL494C, TL494I			UNIT
		MIN	TYP <sup>(2)</sup>	MAX	
Input offset voltage	$V_O (\text{FEEDBACK}) = 2.5 \text{ V}$		2	10	mV
Input offset current	$V_O (\text{FEEDBACK}) = 2.5 \text{ V}$		25	250	nA
Input bias current	$V_O (\text{FEEDBACK}) = 2.5 \text{ V}$		0.2	1	µA
Common-mode input voltage range	$V_{CC} = 7 \text{ V}$ to $40 \text{ V}$		$-0.3 \text{ to } V_{CC} - 2$		V
Open-loop voltage amplification	$\Delta V_O = 3 \text{ V}$ , $V_O = 0.5 \text{ V}$ to $3.5 \text{ V}$ , $R_L = 2 \text{ k}\Omega$	70	95		dB
Unity-gain bandwidth	$V_O = 0.5 \text{ V}$ to $3.5 \text{ V}$ , $R_L = 2 \text{ k}\Omega$		800		kHz
Common-mode rejection ratio	$\Delta V_O = 40 \text{ V}$ , $T_A = 25^\circ\text{C}$		65	80	dB
Output sink current (FEEDBACK)	$V_{IO} = -15 \text{ mV}$ to $-5 \text{ V}$ , $V (\text{FEEDBACK}) = 0.7 \text{ V}$	0.3	0.7		mA
Output source current (FEEDBACK)	$V_{IO} = 15 \text{ mV}$ to $5 \text{ V}$ , $V (\text{FEEDBACK}) = 3.5 \text{ V}$	-2			mA

(1) All typical values, except for parameter changes with temperature, are at  $T_A = 25^\circ\text{C}$ .



TL494  
PULSE-WIDTH-MODULATION CONTROL CIRCUITS  
SLVS074E—JANUARY 1983—REVISED FEBRUARY 2005

### Electrical Characteristics

over recommended operating free-air temperature range,  $V_{CC} = 15 \text{ V}$ ,  $f = 10 \text{ kHz}$  (unless otherwise noted)

#### Output Section

PARAMETER		TEST CONDITIONS	MIN	TYP <sup>(1)</sup>	MAX	UNIT
Collector off-state current		$V_{CE} = 40 \text{ V}$ , $V_{CC} = 40 \text{ V}$		2	100	$\mu\text{A}$
Emitter off-state current		$V_{CC} = V_C = 40 \text{ V}$ , $V_E = 0$		-100		$\mu\text{A}$
Collector-emitter saturation voltage	Common emitter	$V_E = 0$ , $I_C = 200 \text{ mA}$		1.1	1.3	$\text{V}$
	Emitter follower	$V_{OC1 \text{ or } C2} = 15 \text{ V}$ , $I_E = -200 \text{ mA}$		1.5	2.5	
Output control input current		$V_I = V_{ref}$			3.5	$\text{mA}$

(1) All typical values, except for temperature coefficient, are at  $T_A = 25^\circ\text{C}$ .

#### Dead-Time Control Section

See Figure 1

PARAMETER		TEST CONDITIONS	MIN	TYP <sup>(1)</sup>	MAX	UNIT
Input bias current (DEAD-TIME CTRL)		$V_I = 0$ to $5.25 \text{ V}$		-2	-10	$\mu\text{A}$
Maximum duty cycle, each output		$V_I$ (DEAD-TIME CTRL) = 0, $C_T = 0.01 \mu\text{F}$ , $R_T = 12 \text{ k}\Omega$		45		%
Input threshold voltage (DEAD-TIME CTRL)		Zero duty cycle		3	3.3	$\text{V}$
		Maximum duty cycle		0		

(1) All typical values, except for temperature coefficient, are at  $T_A = 25^\circ\text{C}$ .

#### PWM Comparator Section

See Figure 1

PARAMETER		TEST CONDITIONS	MIN	TYP <sup>(1)</sup>	MAX	UNIT
Input threshold voltage (FEEDBACK)		Zero duty cycle		4	4.5	$\text{V}$
Input sink current (FEEDBACK)		$V$ (FEEDBACK) = 0.7 $\text{V}$	0.3	0.7		$\text{mA}$

(1) All typical values, except for temperature coefficient, are at  $T_A = 25^\circ\text{C}$ .

#### Total Device

PARAMETER		TEST CONDITIONS	MIN	TYP <sup>(1)</sup>	MAX	UNIT
Standby supply current	$R_T = V_{ref}$ , All other inputs and outputs open	$V_{CC} = 15 \text{ V}$		6	10	$\text{mA}$
Average supply current		$V_{CC} = 40 \text{ V}$		9	15	

(1) All typical values, except for temperature coefficient, are at  $T_A = 25^\circ\text{C}$ .

#### Switching Characteristics

$T_A = 25^\circ\text{C}$

PARAMETER		TEST CONDITIONS	MIN	TYP <sup>(1)</sup>	MAX	UNIT
Rise time		Common-emitter configuration, See Figure 3		100	200	$\text{ns}$
Fall time				25	100	$\text{ns}$
Rise time		Emitter-follower configuration, See Figure 4		100	200	$\text{ns}$
Fall time				40	100	$\text{ns}$

(1) All typical values, except for temperature coefficient, are at  $T_A = 25^\circ\text{C}$ .

ภาคผนวก ข

รายละเอียดของมอสเฟต IRF510N





IRF510

Data Sheet

November 1999

File Number 1573.4

### 5.6A, 100V, 0.54Ω, N-Channel Power MOSFET

This N-Channel enhancement mode silicon gate power field effect transistor is an advanced power MOSFET designed, tested, and guaranteed to withstand a specified level of energy in the breakdown avalanche mode of operation. All of these power MOSFETs are designed for applications such as switching regulators, switching convertors, motor drivers, relay drivers, and drivers for high power bipolar switching transistors requiring high speed and low gate drive power. These types can be operated directly from integrated circuits.

Formerly developmental type TA17441.

#### Ordering Information

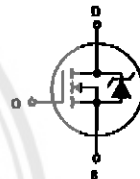
PART NUMBER	PACKAGE	BRAND
IRF510	TO-220AB	IRF510

NOTE: When ordering, include the entire part number.

#### Features

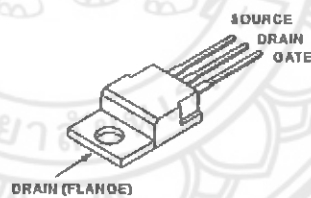
- 5.6A, 100V
- $r_{DS(ON)} = 0.54\Omega$
- Single Pulse Avalanche Energy Rated
- SOA is Power Dissipation Limited
- Nanosecond Switching Speeds
- Linear Transfer Characteristics
- High Input Impedance
- Related Literature
  - TB334 "Guidelines for Soldering Surface Mount Components to PC Boards"

#### Symbol



#### Packaging

JEDEC TO-220AB



**IRF510****Absolute Maximum Ratings**  $T_C = 25^\circ\text{C}$ , Unless Otherwise Specified

		IRF510	UNITS
Drain to Source Voltage (Note 1)	$V_{DS}$	100	V
Drain to Gate Voltage ( $R_{GS} = 20\text{k}\Omega$ ) (Note 1)	$V_{DGR}$	100	V
Continuous Drain Current	$I_D$	5.6	A
$T_C = 100^\circ\text{C}$	$I_D$	4	A
Pulsed Drain Current (Note 3)	$I_{DM}$	20	A
Gate to Source Voltage	$V_{GS}$	$\pm 20$	V
Maximum Power Dissipation	$P_D$	43	W
Linear Derating Factor		0.29	$\text{W}^\circ\text{C}$
Single Pulse Avalanche Energy Rating (Note 4)	$E_{AS}$	10	mJ
Operating and Storage Temperature Range	$T_J, T_{STG}$	-55 to 175	$^\circ\text{C}$
Maximum Temperature for Soldering			
Leads at 0.063in (1.6mm) from Case for 10s.	$T_L$	300	$^\circ\text{C}$
Package Body for 10s, See Techbrief 334	$T_{Pkg}$	260	$^\circ\text{C}$

**CAUTION:** Stresses above those listed in "Absolute Maximum Ratings" may cause permanent damage to the device. This is a stress only rating and operation of the device at these or any other conditions above those indicated in the operational sections of this specification is not implied.

**NOTE:**

1.  $T_J = 25^\circ\text{C}$  to  $150^\circ\text{C}$ .

**Electrical Specifications**  $T_C = 25^\circ\text{C}$ , Unless Otherwise Specified

PARAMETER	SYMBOL	TEST CONDITIONS	MIN	TYP	MAX	UNITS
Drain to Source Breakdown Voltage	$BV_{DSS}$	$V_{GS} = 0\text{V}, I_D = 250\mu\text{A}$ , (Figure 10)	100	-	-	V
Gate to Threshold Voltage	$V_{GS(\text{TH})}$	$V_{GS} = V_{DS}, I_D = 250\mu\text{A}$	2.0	-	4.0	V
Zero-Gate Voltage Drain Current	$I_{DSS}$	$V_{DS} = 95\text{V}, V_{GS} = 0\text{V}$ $V_{DS} = 0.8 \times \text{Rated } BV_{DSS}, V_{GS} = 0\text{V}, T_J = 150^\circ\text{C}$	-	-	25	$\mu\text{A}$
On-State Drain Current (Note 2)	$I_{D(\text{ON})}$	$V_{DS} > I_{D(\text{ON})} \times r_{DS(\text{ON})\text{MAX}}, V_{GS} = 10\text{V}$ (Figure 7)	5.6	-	-	A
Gate to Source Leakage Current	$I_{GSS}$	$V_{GS} = \pm 20\text{V}$	-	-	$\pm 100$	nA
Drain to Source On Resistance (Note 2)	$r_{DS(\text{ON})}$	$V_{GS} = 10\text{V}, I_D = 3.4\text{A}$ (Figures 8, 9)	-	0.4	0.54	$\Omega$
Forward Transconductance (Note 2)	$g_m$	$V_{GS} = 50\text{V}, I_D = 3.4\text{A}$ (Figure 12)	1.3	2.0	-	S
Turn-On Delay Time	$t_{d(\text{ON})}$	$I_D = 5.6\text{A}, R_{GS} = 24\Omega, V_{DD} = 50\text{V}, R_L = 0\Omega,$ $V_{DD} = 50\text{V}, V_{GS} = 10\text{V}$	-	8	12	ns
Rise Time	$t_r$	MOSFET switching times are essentially independent of operating temperature	-	25	63	ns
Turn-Off Delay Time	$t_{d(\text{OFF})}$		-	15	7	ns
Fall Time	$t_f$		-	12	50	ns
Total Gate Charge (Gate to Source + Gate to Drain)	$Q_{G(\text{TOT})}$	$V_{GS} = 10\text{V}, I_D = 5.6\text{A}, V_{DS} = 0.8 \times \text{Rated } BV_{DSS},$ $I_{G(\text{REF})} = 1.5\text{mA}$ (Figure 14)	-	5.0	30	nC
Gate to Source Charge	$Q_{GS}$	Gate charge is essentially independent of operating temperature	-	2.0	-	nC
Gate to Drain "Miller" Charge	$Q_{GD}$		-	3.0	-	nC
Input Capacitance	$C_{iss}$	$V_{GS} = 0\text{V}, V_{DS} = 25\text{V}, f = 1.0\text{MHz}$ (Figure 11)	-	135	-	pF
Output Capacitance	$C_{oss}$		-	80	-	pF
Reverse-Transfer Capacitance	$C_{rss}$		-	20	-	pF
Internal Drain Inductance	$L_D$	Measured From the Contact Screw On Tab To Center of Die	-	3.5	-	nH
		Measured From the Drain Lead, 8mm (0.25in) From Package to Center of Die	-	4.5	-	nH
Internal Source Inductance	$L_S$	Measured From The Source Lead, 8mm, (0.25in) From Header to Source Bonding Pad	-	7.5	-	nH
Junction to Case	$R_{JC}$		-	-	3.5	$^\circ\text{C}/\text{W}$
Junction to Ambient	$R_{JA}$	Free air operation	-	-	80	$^\circ\text{C}/\text{W}$

ภาคผนวก ก

รายละเอียดของไอซี LM324N

มหาวิทยาลัยนเรศวร

Philips Semiconductors

Product data

**Low power quad op amps****LM124/224/324/324A/  
SA534/LM2902****DESCRIPTION**

The LM124/SAS34/LM2902 series consists of four independent, high-gain, internally frequency-compensated operational amplifiers designed specifically to operate from a single power supply over a wide range of voltages.

**UNIQUE FEATURES**

In the linear mode, the input common-mode voltage range includes ground and the output voltage can also swing to ground, even though operated from only a single power supply voltage.

The unity gain crossover frequency and the input bias current are temperature-compensated.

**FEATURES**

- Internally frequency-compensated for unity gain
- Large DC voltage gain: 100 dB
- Wide bandwidth (unity gain): 1 MHz (temperature-compensated)
- Wide power supply range Single supply: 3 V<sub>DC</sub> to 30 V<sub>DC</sub> or dual supplies:  $\pm 1.5$  V<sub>DC</sub> to  $\pm 15$  V<sub>DC</sub>
- Very low supply current drain: essentially independent of supply voltage (1 mW/op amp at  $\pm 5$  V<sub>DC</sub>)
- Low input biasing current: 45 nA<sub>dc</sub> (temperature-compensated)
- Low input offset voltage: 2 mV<sub>DC</sub> and offset current: 5 nA<sub>dc</sub>
- Differential input voltage range equal to the power supply voltage
- Large output voltage: 0 V<sub>DC</sub> to V<sub>CC</sub>–1.5 V<sub>DC</sub> swing

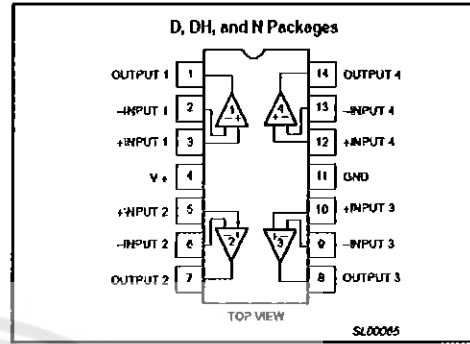
**PIN CONFIGURATION**

Figure 1. Pin configuration.

**ORDERING INFORMATION**

DESCRIPTION	TEMPERATURE RANGE	ORDER CODE	DWG #
14-Pin Plastic Dual In-Line Package (DIP)	-55 °C to +125 °C	LM124N	SOT27-1
14-Pin Plastic Small Outline (SO) Package	-25 °C to +85 °C	LM224D	SOT108-1
14-Pin Plastic Dual In-Line Package (DIP)	-25 °C to +85 °C	LM224N	SOT27-1
14-Pin Plastic Small Outline (SO) Package	0 °C to +70 °C	LM324AD	SOT108-1
14-Pin Plastic Dual In-Line Package (DIP)	0 °C to +70 °C	LM324AN	SOT27-1
14-Pin Plastic Small Outline (SO) Package	0 °C to +70 °C	LM324D	SOT108-1
14-Pin Plastic Thin Shrink Small Outline Package (TSSOP)	0 °C to +70 °C	LM324DH	SOT402-1
14-Pin Plastic Dual In-Line Package (DIP)	0 °C to +70 °C	LM324N	SOT27-1
14-Pin Plastic Small Outline (SO) Package	-40 °C to +85 °C	SA534D	SOT108-1
14-Pin Plastic Dual In-Line Package (DIP)	-40 °C to +85 °C	SA534N	SOT27-1
14-Pin Plastic Small Outline (SO) Package	-40 °C to +125 °C	LM2902D	SOT108-1
14-Pin Plastic Thin Shrink Small Outline Package (TSSOP)	-40 °C to +125 °C	LM2902DH	SOT402-1
14-Pin Plastic Dual In-Line Package (DIP)	-40 °C to +125 °C	LM2902N	SOT27-1

## Low power quad op amps

LM124/224/324/324A/  
SA534/LM2902

## DC ELECTRICAL CHARACTERISTICS

 $V_{CC} = 5 \text{ V}$ ;  $T_{amb} = 25^\circ\text{C}$ , unless otherwise specified.

SYMBOL	PARAMETER	TEST CONDITIONS	LM124/LM224			LM324/SA534/LM2902			UNIT
			Min	Typ	Max	Min	Typ	Max	
$V_{OS}$	Offset voltage <sup>1</sup>	$R_S = 0 \Omega$	-	$\pm 2$	$\pm 5$	-	$\pm 2$	$\pm 7$	mV
		$R_S = 0 \Omega$ , over temp.	-	-	$\pm 7$	-	-	$\pm 9$	
$\Delta V_{OS}/\Delta T$	Temperature drift	$R_S = 0 \Omega$ , over temp.	-	7	-	-	7	-	$\mu\text{V}/^\circ\text{C}$
		$I_{IN}(+) \text{ or } I_{IN}(-)$	-	45	150	-	45	250	
$I_{BIAS}$	Input current <sup>2</sup>	$I_{IN}(+) \text{ or } I_{IN}(-)$ , over temp.	-	40	300	-	40	500	nA
		$I_{IN}(+) - I_{IN}(-)$	-	50	-	-	50	-	
$I_{OS}$	Offset current	$I_{IN}(+) - I_{IN}(-)$ , over temp.	-	$\pm 3$	$\pm 30$	-	$\pm 5$	$\pm 50$	pA/ $^\circ\text{C}$
		$I_{IN}(+) - I_{IN}(-)$ , over temp.	-	-	$\pm 100$	-	-	$\pm 150$	
$\Delta I_{OS}/\Delta T$	Temperature drift	Over temp.	-	10	-	-	10	-	$\mu\text{A}/^\circ\text{C}$
		$V_{CC} \leq 30 \text{ V}$	0	-	$V_{CC}-1.5$	0	-	$V_{CC}-1.5$	
$V_{CM}$	Common-mode voltage range <sup>3</sup>	$V_{CC} \leq 30 \text{ V}$ , over temp.	0	-	$V_{CC}-2$	0	-	$V_{CC}-2$	V
		$V_{CC} \leq 30 \text{ V}$	-	-	-	-	-	-	
CMRR	Common-mode rejection ratio	$V_{CC} = 30 \text{ V}$	70	85	-	65	70	-	dB
$V_{OUT}$	Output voltage swing	$R_L = 2 \text{ k}\Omega$ , $V_{CC} = 30 \text{ V}$ , over temp.	26	-	-	26	-	-	V
$V_{OH}$	Output voltage high	$R_L \leq 10 \text{ k}\Omega$ , $V_{CC} = 30 \text{ V}$ , over temp.	27	28	-	27	28	-	V
$V_{OL}$	Output voltage low	$R_L \leq 10 \text{ k}\Omega$ , over temp.	-	5	20	-	5	20	mV
$I_{CC}$	Supply current	$R_L = \infty$ , $V_{CC} = 30 \text{ V}$ , over temp.	-	1.5	3	-	1.5	3	mA
		$R_L = \infty$ , over temp.	-	0.7	1.2	-	0.7	1.2	
$A_{VOL}$	Large-signal voltage gain	$V_{CC} = 15 \text{ V}$ (for large $V_O$ swing); $R_L \geq 2 \text{ k}\Omega$	50	100	-	25	100	-	V/mV
		$V_{CC} = 15 \text{ V}$ (for large $V_O$ swing); $R_L \geq 2 \text{ k}\Omega$ , over temp.	25	-	-	15	-	-	
	Amplifier-to-amplifier coupling <sup>5</sup>	$f = 1 \text{ kHz}$ to $20 \text{ kHz}$ , input referred	-	-120	-	-	-120	-	dB
PSRR	Power supply rejection ratio	$R_S \leq 0 \Omega$	65	100	-	65	100	-	dB
$I_{OUT}$	Output current source	$V_{IN^+} = +1 \text{ V}$ , $V_{IN^-} = 0 \text{ V}$ , $V_{CC} = 15 \text{ V}$	20	40	-	20	40	-	mA
		$V_{IN^+} = +1 \text{ V}$ , $V_{IN^-} = 0 \text{ V}$ , $V_{CC} = 15 \text{ V}$ , over temp.	10	20	-	10	20	-	
$I_{OUT}$	Output current sink	$V_{IN^-} = +1 \text{ V}$ , $V_{IN^+} = 0 \text{ V}$ , $V_{CC} = 15 \text{ V}$	10	20	-	10	20	-	$\mu\text{A}$
		$V_{IN^-} = +1 \text{ V}$ , $V_{IN^+} = 0 \text{ V}$ , $V_{CC} = 15 \text{ V}$ , over temp.	5	8	-	5	8	-	
		$V_{IN^-} = +1 \text{ V}$ , $V_{IN^+} = 0 \text{ V}$ , $V_O = 200 \text{ mV}$	12	50	-	12	50	-	
$I_{SC}$	Short-circuit current <sup>4</sup>	-	10	40	60	10	40	60	mA
GBW	Unity gain bandwidth	-	-	-	1	-	-	1	MHz
SR	Slew rate	-	-	-	0.3	-	-	0.3	V/ $\mu\text{s}$
$V_{NOISE}$	Input noise voltage	$f = 1 \text{ kHz}$	-	-	40	-	-	40	nV/ $\sqrt{\text{Hz}}$
$V_{DIFF}$	Differential input voltage <sup>3</sup>	-	-	-	$V_{CC}$	-	-	$V_{CC}$	V

## Low power quad op amps

LM124/224/324/324A/  
SA534/LM2902

## DC ELECTRICAL CHARACTERISTICS (Continued)

 $V_{CC} = 5 \text{ V}$ ,  $T_{amb} = 25^\circ\text{C}$  unless otherwise specified.

SYMBOL	PARAMETER	TEST CONDITIONS	LM324A			UNIT
			Min	Typ	Max	
$V_{OS}$	Offset voltage <sup>1</sup>	$R_S = 0 \Omega$		$\pm 2$	$\pm 3$	mV
		$R_S = 0 \Omega$ , over temp.			$\pm 5$	
$\Delta V_{OS}/\Delta T$	Temperature drift	$R_S = 0 \Omega$ , over temp.		7	30	$\mu\text{V}/^\circ\text{C}$
		$I_{IN}(+) \text{ or } I_{IN}(-)$		45	100	
$I_{BIAS}$	Input current <sup>2</sup>	$I_{IN}(+) \text{ or } I_{IN}(-)$ , over temp.		40	200	nA
		Over temp.		50		
$\Delta I_{BIAS}/\Delta T$	Temperature drift	$I_{IN}(+) - I_{IN}(-)$		$\pm 5$	$\pm 30$	$\mu\text{A}/^\circ\text{C}$
		$I_{IN}(+) - I_{IN}(-)$ , over temp.			$\pm 75$	
$I_{OS}$	Offset current	Over temp.		10	300	$\mu\text{A}/^\circ\text{C}$
		$V_{CC} \leq 30 \text{ V}$	0		$V_{CC}-1.5$	
$V_{CM}$	Common-mode voltage range <sup>3</sup>	$V_{CC} \leq 30 \text{ V}$ , over temp.	0		$V_{CC}-2$	V
		$V_{CC} = 30 \text{ V}$	65	85		
$CMRR$	Common-mode rejection ratio	$V_{CC} = 30 \text{ V}$				dB
		$R_L = 2 \text{ k}\Omega$ , $V_{CC} = 30 \text{ V}$ , over temp.	26			
$V_{OUT}$	Output voltage swing	$R_L \leq 10 \text{ k}\Omega$ , $V_{CC} = 30 \text{ V}$ , over temp.	27	28		V
		$R_L \leq 10 \text{ k}\Omega$ , $V_{CC} = 30 \text{ V}$ , over temp.				
$V_{OL}$	Output voltage low	$R_L \leq 10 \text{ k}\Omega$ , over temp.		5	20	mV
		$R_L = \infty$ , $V_{CC} = 30 \text{ V}$ , over temp.		1.5	3	
$I_{OC}$	Supply current	$R_L = \infty$ , over temp.		0.7	1.2	mA
		$V_{CC} = 15 \text{ V}$ (for large $V_O$ swing), $R_L \geq 2 \text{ k}\Omega$	25	100		
$A_{VOI}$	Large-signal voltage gain	$V_{CC} = 15 \text{ V}$ (for large $V_O$ swing), $R_L \geq 2 \text{ k}\Omega$ , over temp.	15			V/mV
		$f = 1 \text{ kHz}$ to $20 \text{ kHz}$ , input referred		-120		
$PSRR$	Power supply rejection ratio	$R_S \leq 0 \Omega$	65	100		dB
		$V_{IN^+} = +1 \text{ V}$ , $V_{IN^-} = 0 \text{ V}$ , $V_{CC} = 15 \text{ V}$	20	40		
$I_{OUT}$	Output current source	$V_{IN^+} = +1 \text{ V}$ , $V_{IN^-} = 0 \text{ V}$ , $V_{CC} = 15 \text{ V}$ , over temp.	10	20		mA
		$V_{IN^+} = +1 \text{ V}$ , $V_{IN^-} = 0 \text{ V}$ , $V_{CC} = 15 \text{ V}$ , over temp.	5	8		
$I_{OUT}$	Output current sink	$V_{IN^+} = +1 \text{ V}$ , $V_{IN^-} = 0 \text{ V}$ , $V_{CC} = 15 \text{ V}$ , over temp.	12	50		$\mu\text{A}$
		$V_{IN^+} = +1 \text{ V}$ , $V_{IN^-} = 0 \text{ V}$ , $V_O = 200 \text{ mV}$	10	40	60	
$I_{SC}$	Short-circuit current <sup>4</sup>					mA
$V_{DIFF}$	Differential input voltage <sup>3</sup>					$V_{CC}$
$GBW$	Unity gain bandwidth				1	MHz
$SR$	Slew rate				0.3	V/μs
$V_{NOISE}$	Input noise voltage	$f = 1 \text{ kHz}$			40	nV/Hz

## NOTES:

- $V_O \approx 1.4 \text{ V}_{DC}$ ,  $R_S = 0 \Omega$  with  $V_{CC}$  from 5 V to 30 V and over full input common-mode range ( $0 \text{ V}_{DC} \leq V_O \leq V_{CC} - 1.5 \text{ V}$ ).
- The direction of the input current is out of the IC due to the PNP input stage. This current is essentially constant, independent of the state of the output so no loading change exists on the input lines.
- The input common-mode voltage or either input signal voltage should not be allowed to go negative by more than 0.3 V. The upper end of the common-mode voltage range is  $V_{CC} - 1.5$ , but either or both inputs can go to  $+32 \text{ V}$  without damage.
- Short-circuits from the output to  $V_{CC}$  can cause excessive heating and eventual destruction. The maximum output current is approximately 40 mA independent of the magnitude of  $V_{CC}$ . At values of supply voltage in excess of  $+15 \text{ V}_{DC}$ , continuous short-circuits can exceed the power dissipation ratings and cause eventual destruction. Destructive dissipation can result from simultaneous shorts on all amplifiers.
- Due to proximity of external components, insure that coupling is not originating via stray capacitance between these external parts. This typically can be detected as this type of coupling increases at higher frequencies.

## Low power quad op amps

LM124/224/324/324A/  
SA534/LM2902

## EQUIVALENT CIRCUIT

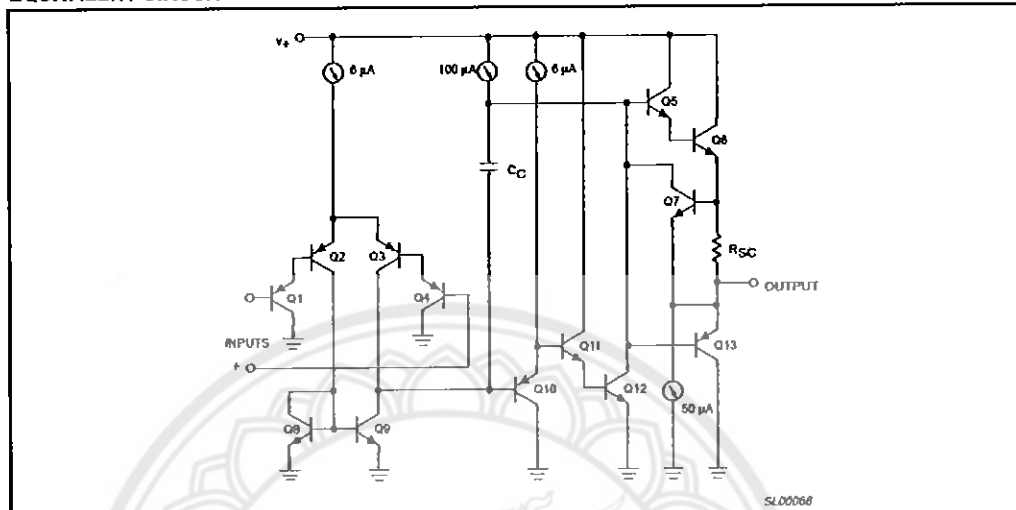


Figure 2. Equivalent circuit.



## **24 Volt Motors**

Year		1985/86	1987	1988	1989-92	1994	1995-97	1998	1999
Manufacturer		Plymouth	Canon	TRW/Globe	HP/Buhler	HP/Buhler	HP/Mabuchi	HP/Mabuchi	HP/Mabuchi
Type		Rubber	DC/PM	DC/PM	DC/PM	DC/PM	DC/PM	DC/PM	DC/PM
Model Number		Band	Brush	Brush	Brush	Brush	Brush	Brush	Brush
#33		CN22	403A6	3140-0812/	1645-60170/	C2162-60006/	RS-555SB	RS-385SH	
Rating	[volts]		24	24	19.1	19.1	19.0	15.0	24.0
Test	[volts]		24	24	19.1	19.1	24.0	24.0	24.0
Stall Current	[amps]			1.5	1.26	2.0	2.5	1.6	2.52
Stall Torque	[N-cm]		0.28	5.65	4.86	18.4	28.7	9.4	4.75
Stall Torque	[in-oz]		0.40	8.00	6.88	26.1	40.6	13.3	6.7
No Load Speed	[rpm]		3,000	2,750	4,550	1,950	4,550	3,540	11,000
No Load Speed	[rad/sec]		314	288	476	204	476	371	1,152
Max. Power	[Watts]		0.22	4.07	5.79	9.4	34.2	8.72	13.7
Max. Power	[milli-hp]		0.29	5.46	7.76	12.6	45.8	11.7	18.2
Duration	[sec]		15.0	30.0	30.0	30.0	30.0	30.0	30.0
Energy	[Joules]	20.0	3.3	122	173	282	1,026	262	411
Weight	[grams]	0.5	47.2	240	172	417	224	220	70
Weight	[oz]	0.018	1.7	8.5	6.0	14.72	7.9	7.76	2.47
Power/Weight	[Watts/kg]		4.66	17.0	33.7	22.5	153	39.6	195.7
Energy/Weight	[Joules/kg]	40,000	69.9	509	1,006	676	4,580	1,191	5,871

**24 Volt Motors, Continued**

Year		1989-92	1994	1995-97	1998	1999
Manufacturer		HP/ Buhler	HP/ Buhler	HP/ Mabuchi	HP/ Mabuchi	HP/ Mabuchi
Type		DC/PM	DC/PM	DC/PM	DC/PM	DC/PM
Model Number		Brush	Brush	Brush	Brush	Brush
		3140-0812/ 1.13.041.006	1645-60170/ 1.13.043.230	C2162-60006/ DN505728	RS-555SB -19160	RS-385SH -16120
No Load Current	[Amps]	0.04	0.07	0.15	0.10	0.085
Start Up Voltage	[Volts]	1.5	1.5	2.0	3.0	1.5
Resistance	[Ohms]	15.2	9.6	8.2	11.6	6.3
Elect. Time Const	[msec]	0.5	1.2		0.9	
Mech. Time Const	[msec]	14.0	7.1		16.0	
Motor Constant	[N-cm/ $\sqrt{\text{Watt}}$ ]	1.2	3.0	1.8	1.78	0.75
Torque Constant	[N-cm/Amp]	4.87	9.3	4.8	6.08	1.9
Voltage Constant	[V/Krpm]	5.1	0.1		6.4	2.0
Inertia	[g-cm <sup>2</sup> ]	16.0	67.8	45.0	50	8.0
Shaft Diameter	[mm]	3.0	3.96	3.1	3.32	2.3
Shaft Diameter	[in]	0.118	0.156	0.123	0.131	0.091
Shaft Length	[mm]			85.0	85.0	13.8
Motor Diameter	[mm]	30.0	40.0	37.0	37.5	27.7
Motor Length	[mm]	56.5	77.0	64.0	66.0	57.0

### 12 Volt Motors

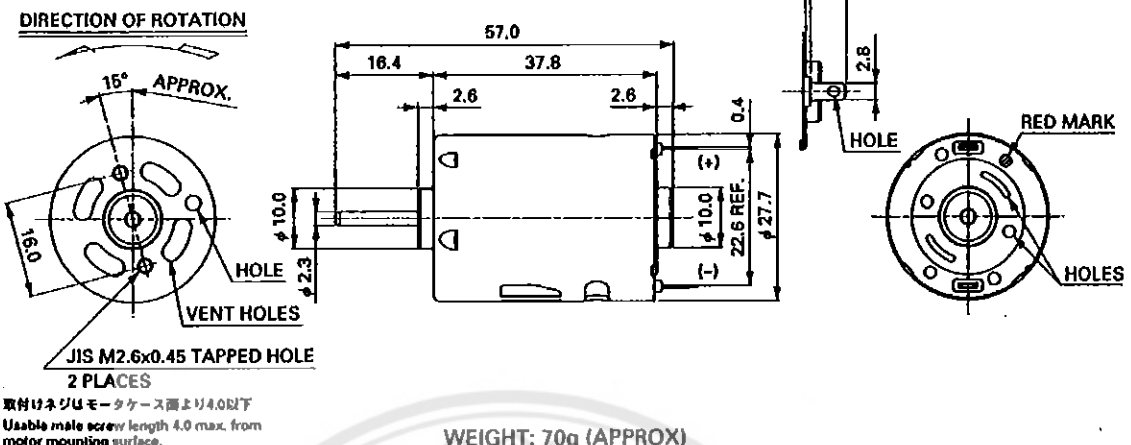
Year		1994-95,98	1994-99
Manufacturer		GM/ITT	GM/ITT
Type		Clutch DC/PM Brush	No Clutch DC/PM Brush
Model Number			
Rating	[volts]	12	12
Stall Current	[amps]		
Stall Torque	[N-cm]	1,196	1,227
Stall Torque	[in-oz]	1.69	1.73
Max. Speed	[rpm]	4,250	4,050
Max. Speed	[rad/sec]	445.1	424.1
Max. Power	[Watts]	1.33	1.30
Max. Power	[milli-hp]	1.78	1.74
Duration	[sec]	30.0	30.0
Energy	[Joules]	39.9	39.0
Weight	[grams]	45.4	41.0
Weight	[oz]	1.6	1.4
Power/Weight	[Watts/kg]	29.3	31.7
Energy/Weight	[Joules/kg]	878.9	951.2

## Mabuchi RS-385SH-16120

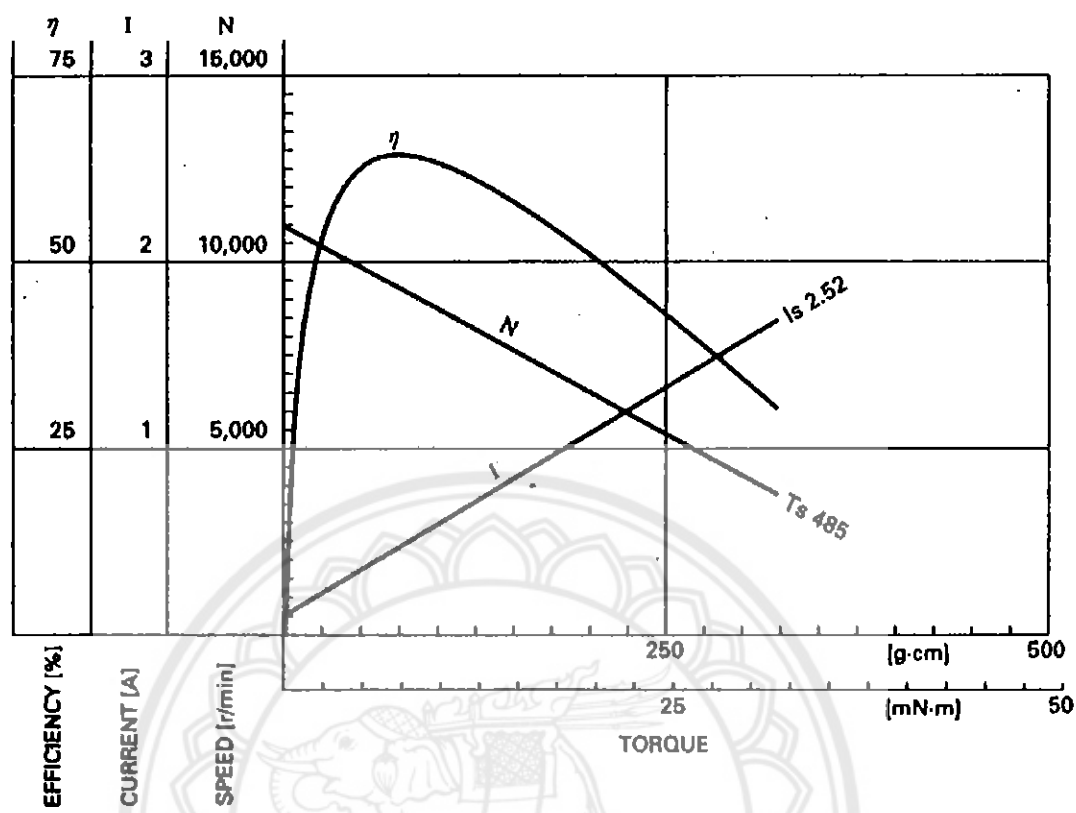
両回転または逆回転をご使用の場合は、端子の位置が異なります。(9ページ参照)  
The terminal position against the lapped holes varies depending on CW/NEUTRAL. (Refer to Pg)

UNIT: MILLIMETERS

CCW(+)



Mabuchi RS-385SH-16120, Operating at 24.0 Volts



ภาคผนวก จ

ข้อมูลจากการทดลองวัดค่าความเร็วรอบ  
เที่ยงกันแรงดันป้อนข้าของมอเตอร์

มหาวิทยาลัยราชภัฏวไลยอลงกรณ์

ตารางแสดงความเร็วรอบและแรงดันของมอเตอร์ตัวที่ใช้เป็นมอเตอร์

แรงดัน (V)	ความเร็วรอบ (rpm)	
	มอเตอร์ 1	มอเตอร์ 2
1	88.7	79.12
2	238.18	127.06
3	395.1	196.6
4	557.6	512.88
5	735.14	614.82
6	874.72	740.14
7	1017	848.5
8	1165.2	919.6
9	1308.2	1020.62
10	1438.2	1159.6
11	1588.6	1314.8
12	1728.8	1595.2
13	1886	1716.6
14	2039.6	1878.2
15	2172.5	2037
16	2315.2	2217.4
17	2475.8	2366.8
18	2615.4	2515.8
19	2768.7	2632.6
20	2908.8	2847.6

ภาคผนวก ๙

## ข้อมูลจากวัดค่าความเร็วอนในการทดลองแบบต่างๆ

ผลการทดลองที่ 1 ดึง 3

ค่า R1 คือ ค่าความต้านทานปรับค่าได้จากวงจร TLA94CN

ค่า R2 คือ ค่าความต้านทานปรับค่าได้จากวงจร LM324N

ขนาดโหลดที่ใช้คือ 125 กรัม

เวลา (วินาที)	R1 มิตสูตร R2 เปิด		R1 เปิด R2 มิตสูตร		R1 มิตสูตร R2 มิตสูตร	
	$V_{in} = 20$		$V_{in} = 8.46$		$V_{in} = 20.26$	
	แรงดันตอน ใส่ load (V)	แรงดัน ตอนปลด load (V)	แรงดัน ตอนใส่ load (V)	แรงดันตอน ปลด load (V)	แรงดันตอน ใส่ load (V)	แรงดันตอน ปลด load (V)
10	16.35	17.46	5.26	6.21	16.43	17.52
15	16.42	17.40	5.27	6.18	16.57	17.48
30	16.50	17.38	5.30	6.16	16.65	17.43
45	16.52	17.33	5.32	6.11	16.69	17.37
60	16.55	17.27	5.33	6.07	16.72	17.33
75	16.56	17.22	5.36	6.04	16.77	17.28
90	16.59	17.17	5.38	6.02	16.83	17.25
105	16.62	17.12	5.41	5.99	16.87	17.21
120	16.63	17.09	5.44	5.96	16.92	17.23
135	16.67	17.04	5.47	5.91	16.98	17.20
150	16.69	16.98	5.49	5.88	17.03	
165	16.71	16.93	5.52	5.85	17.08	
180	16.74	16.88	5.56	5.81	17.13	
195	16.78	16.84	5.58	5.83	17.18	
210	16.81	16.81	5.61		17.21	
225	16.83	16.82	5.64		17.20	
240	16.82		5.67		17.23	
255	16.79		5.69		17.19	

## ผลการทดลองที่ 1 ถึง 3 (ต่อ)

เวลา (วินาที)	R1 บิดสุด R2 เปิด		R1 เปิด R2 บิดสุด		R1 บิดสุด R2 บิดสุด	
	$V_{in} = 20 \text{ V}$		$V_{in} = 8.46 \text{ V}$		$V_{in} = 20.26 \text{ V}$	
	แรงดันตอน ใส่ load (V)	แรงดันตอนปิด load (V)	แรงดันตอนใส่ load (V)	แรงดันตอนปิด load (V)	แรงดันตอนใส่ load (V)	แรงดันตอนปิด load (V)
255	16.80		5.72			
270	16.82		5.75			
285	16.81		5.77			
300			5.80			
315			5.83			
330			5.81			

## ผลการทดลองที่ 4

ค่า R1 คือ ค่าความต้านทานปรับค่าได้จากวงจร TL494CN

ค่า R2 คือ ค่าความต้านทานปรับค่าได้จากวงจร LM324N

ขนาดโหลดที่ใช้คือ 250 กรัม

วัดขนาดแรงดันขาเข้าวัดที่มอเตอร์ได้ 20 V

วัดขนาดแรงดันขาออกวัดที่มอเตอร์ได้ 17.02 V

เวลา (วินาที)	แรงดันที่วัดได้จากการวัดความเร็ว (V)
10	14.92
15	15.28
30	15.35
45	15.43
60	15.48
75	15.54

เวลา (วินาที)	แรงดันที่วัดได้จากนาฬิตรวัดความเร็ว (V)
90	15.59
105	15.61
120	15.68
135	15.74
150	15.82
165	15.89
180	15.97
195	16.03
210	16.1
225	16.16
240	16.23
255	16.27
270	16.32
285	16.38
300	16.43
315	16.47
330	16.51
345	16.56
360	16.61
375	16.73
390	16.78
405	16.82
420	16.87
435	16.91
450	16.97
465	17.01
480	17.04
495	17.02
510	17.03
525	17.02

เวลา (วินาที)	แรงดันที่วัดได้จากมาตรฐานเร็ว (V)
540	17.75
555	17.68
570	17.61
585	17.56
600	17.49
615	17.43
630	17.38
645	17.32
660	17.27
675	17.21
690	17.19
705	17.14
720	17.1
735	17.07
750	17.04
765	16.98
780	17.03
795	17.01

## ประวัติผู้เขียนโครงการ



ชื่อ-นามสกุล: นายเอกพงศ์ กิริมยวงศ์  
 วันเกิด: 27 มิถุนายน 2529  
 ภูมิลำเนา: 192 หมู่ 9 ต. แม่ໄส อ. เมือง จ. พะเยา 56000  
**ประวัติการศึกษา**  
 ประถมศึกษา: โรงเรียนชุมชนบ้านแม่ໄส จ. พะเยา  
 มัธยมศึกษา: โรงเรียนฟากกวัณวิทยาคม จ. พะเยา  
 Email: ee.nu\_gift@hotmail.com



ชื่อ-นามสกุล: นายปีรุส อินสุวรรณ  
 วันเกิด: 26 กันยายน 2529  
 ภูมิลำเนา: 18 หมู่ 7 ต. ห้วยลาน อ. คอกคำใต้ จ. พะเยา 56120  
**ประวัติการศึกษา**  
 ประถมศึกษา: โรงเรียนบ้านทุ่งดันครี จ. พะเยา  
 มัธยมศึกษา: โรงเรียนคอกคำใต้วิทยาคม พะเยา จ. พะเยา  
 Email: pushirokung@hotmail.com